

# ПромМашТест



RA.RU.21BC05



**ОБЩЕСТВО С ОГРАНИЧЕННОЙ ОТВЕТСТВЕННОСТЬЮ «ПРОММАШ ТЕСТ»**  
**Испытательный центр**

Уникальный номер записи об аккредитации в реестре аккредитованных лиц: RA.RU.21BC05

119530, город Москва, Очаковское шоссе, дом 34, помещение VII, комната 6.

*адрес места нахождения юридического лица*

**Испытательная лаборатория физико-химических показателей**

142300 Московская область, Чеховский район, г. Чехов, Симферопольское шоссе, д. 2

*адрес места осуществления деятельности в области аккредитации*



УТВЕРЖДАЮ  
РУКОВОДИТЕЛЬ ИЛФХП  
ИЦ ООО «ПРОММАШ ТЕСТ»

Ментуз С.В.  
28.06.2021 г.

## **ПРОТОКОЛ ИСПЫТАНИЙ** **№ 1076ИЛФХП от 28.06.2021 г.**

Частичное копирование и распространение протокола без письменного разрешения  
ИЦ ООО «ПРОММАШ ТЕСТ» не допускается.  
Результаты испытаний, зафиксированные в этом протоколе, распространяются только на образцы,  
подвергнутые испытаниям.  
Полученные результаты относятся к предоставленному заказчиком образцу.

## 1. Общие сведения

Таблица 1.

|   |   |
|---|---|
| <b>Наименование продукции:</b>                        | Светильник стационарный промышленного назначения, серия L-industry Extreme, модель: L-industry Extreme 150  |
| <b>Заказчик:</b>                                      | Общество с ограниченной ответственностью "ЛЕДЕЛ"  |
| <b>Адрес заказчика и контактные данные:</b>           | Место нахождения: 420095, Россия, Республика Татарстан, город Казань, улица Шамиля Усманова, дом 31а<br>Адрес места осуществления деятельности: 420006, Россия, Республика Татарстан, город Казань, улица Рахимова, дом 8, помещение 1001<br>Телефон: 78435642070<br>Адрес электронной почты: info@ledel.ru |
| <b>Изготовитель:</b>                                  | Общество с ограниченной ответственностью "ЛЕДЕЛ"  |
| <b>Адрес изготовителя:</b>                            | Адрес места нахождения (адрес юридического лица): 420095, Россия, Республика Татарстан, город Казань, улица Шамиля Усманова, дом 31а<br>Адрес места осуществления деятельности по изготовлению продукции: 420006, Россия, Республика Татарстан, город Казань, улица Рахимова, дом 8, помещение 1001         |
| <b>Дата отбора образца:</b>                           | Для обеспечения достоверности и применения результатов не требуется   |
| <b>План и метод отбора образцов:</b>                  | Для обеспечения достоверности и применения результатов не требуется   |
| <b>Дата поступления образца:</b>                      | 03.06.2021 г.   |
| <b>Даты начала и окончания испытаний:</b>             | 03.06.2021 г. - 28.06.2021 г.   |
| <b>Основание для проведения испытаний:</b>            | Направление № 917910 от 25.05.2021 г.   |
| <b>Цель проведения испытаний:</b>                     | Подтверждение соответствия продукции в форме декларирования   |
| <b>Требования к объекту испытаний:</b>                | Соответствие требованиям Приложений № 2, № 3 ТР ЕАЭС 037/2016 "Об ограничении применения опасных веществ в изделиях электротехники и радиоэлектроники"  |
| <b>Место проведения испытаний:</b>                    | 142300 Московская область, Чеховский район, г. Чехов, Симферопольское шоссе, д. 2   |
| <b>Результаты, полученные от внешних поставщиков:</b> | Отсутствуют   |

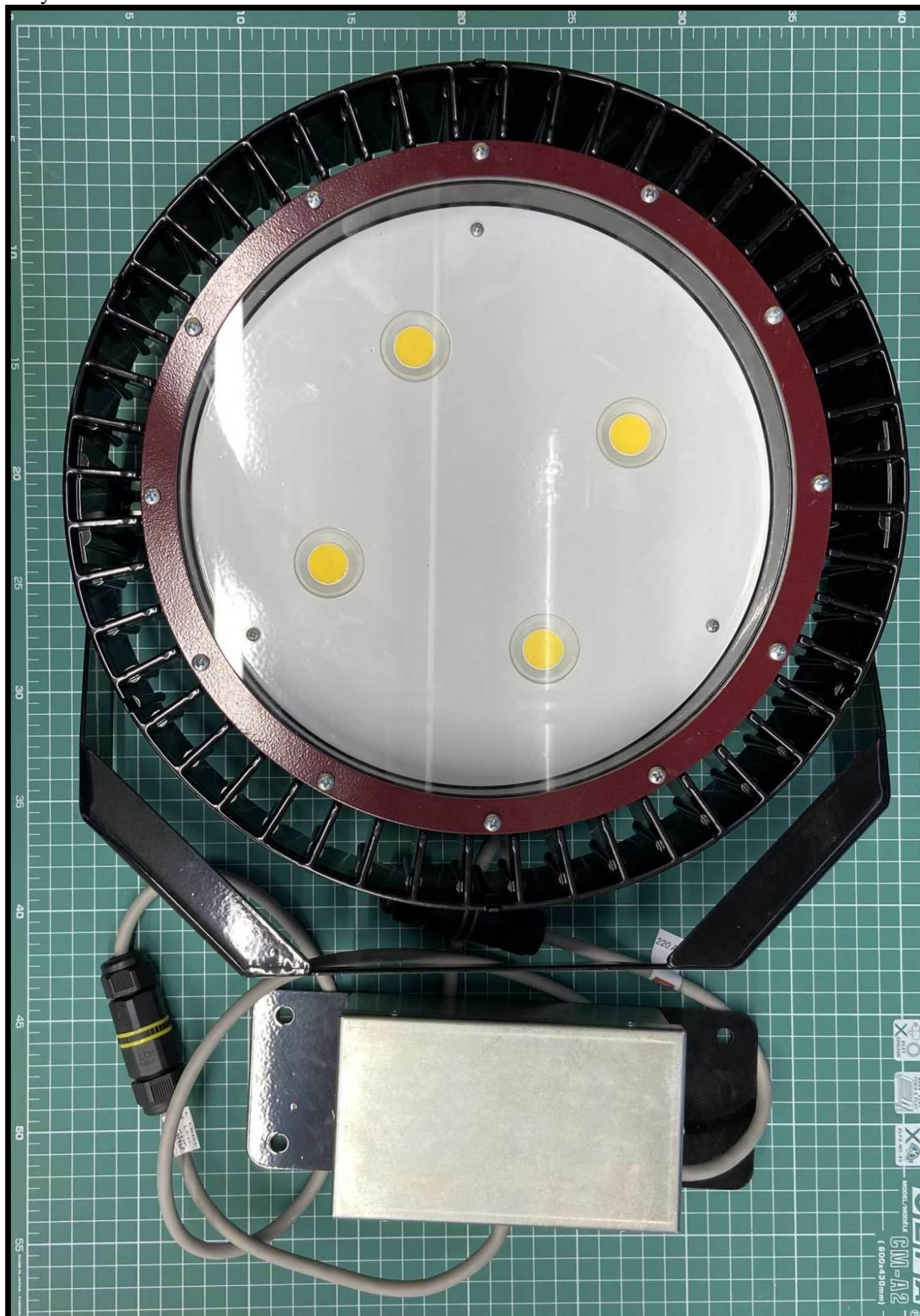
## 2. Описание, состояние и идентификация образца

Таблица 2.

|  |   |
|--|---|
| <b>Идентификация, описание образца (ов), его характеристики:</b> | Код образца: 0206/ИЛФХП/1-1-1<br>Светильник стационарный промышленного назначения, серия L-industry Extreme, модель: L-industry Extreme 150<br>Количество образцов: 1 шт. |
| <b>Состояние образца (ов):</b>                                   | удовлетворительное  |
| <b>Представленные документы:</b>                                 | не требуются  |

**Фотография образца:**

Рисунок 1.



### 3. Результаты испытаний

Таблица 3.

| № фрагмента | Наименование фрагмента образца | Наименование химического элемента | Дата       | Время    | Результат рентгено-флуоресцентной спектрометрии ГОСТ ИЕС 62321-3-1-2016 |           | Вывод | Норма по ТР ЕАЭС 037/2016 % весовых |
|-------------|--------------------------------|-----------------------------------|------------|----------|---|-----------|-------|-------------------------------------|
|             |                                |                                   |            |          | мг/кг (ppm)   | % весовых |       |                                     |
| 1.          | Черный металлический корпус    | Cd                                | 23.06.2021 | 16:04:25 | < 3   | < 0,0003  | BL    | не более 0,01                       |
|             |                                | Hg                                | 23.06.2021 | 16:04:25 | < 4   | < 0,0004  | BL    | не более 0,1                        |
|             |                                | Pb                                | 23.06.2021 | 16:04:25 | < 14  | < 0,0014  | BL    | не более 0,1                        |
|             |                                | Cr(общий)                         | 23.06.2021 | 16:04:25 | < 16  | < 0,0016  | BL    | не более 0,1                        |
|             |                                | Br(общий)                         | 23.06.2021 | 16:04:25 | < 25  | < 0,0025  | BL    | не более 0,1                        |
| 2.          | Белый полимерный компаунд      | Cd                                | 23.06.2021 | 16:05:15 | < 3   | < 0,0003  | BL    | не более 0,01                       |
|             |                                | Hg                                | 23.06.2021 | 16:05:15 | < 4   | < 0,0004  | BL    | не более 0,1                        |
|             |                                | Pb                                | 23.06.2021 | 16:05:15 | < 14  | < 0,0014  | BL    | не более 0,1                        |
|             |                                | Cr(общий)                         | 23.06.2021 | 16:05:15 | < 16  | < 0,0016  | BL    | не более 0,1                        |
|             |                                | Br(общий)                         | 23.06.2021 | 16:05:15 | < 25  | < 0,0025  | BL    | не более 0,1                        |
| 3.          | Черная металлическая пластина  | Cd                                | 23.06.2021 | 16:05:55 | < 3   | < 0,0003  | BL    | не более 0,01                       |
|             |                                | Hg                                | 23.06.2021 | 16:05:55 | < 4   | < 0,0004  | BL    | не более 0,1                        |
|             |                                | Pb                                | 23.06.2021 | 16:05:55 | < 14  | < 0,0014  | BL    | не более 0,1                        |
|             |                                | Cr(общий)                         | 23.06.2021 | 16:05:55 | < 16  | < 0,0016  | BL    | не более 0,1                        |
|             |                                | Br(общий)                         | 23.06.2021 | 16:05:55 | < 25  | < 0,0025  | BL    | не более 0,1                        |
| 4.          | Черная металлическая ручка     | Cd                                | 23.06.2021 | 16:06:24 | < 3   | < 0,0003  | BL    | не более 0,01                       |
|             |                                | Hg                                | 23.06.2021 | 16:06:24 | < 4   | < 0,0004  | BL    | не более 0,1                        |
|             |                                | Pb                                | 23.06.2021 | 16:06:24 | < 14  | < 0,0014  | BL    | не более 0,1                        |
|             |                                | Cr(общий)                         | 23.06.2021 | 16:06:24 | < 16  | < 0,0016  | BL    | не более 0,1                        |
|             |                                | Br(общий)                         | 23.06.2021 | 16:06:24 | < 25  | < 0,0025  | BL    | не более 0,1                        |
| 5.          | Белая металлическая подложка   | Cd                                | 23.06.2021 | 16:06:56 | < 3   | < 0,0003  | BL    | не более 0,01                       |
|             |                                | Hg                                | 23.06.2021 | 16:06:56 | < 4   | < 0,0004  | BL    | не более 0,1                        |
|             |                                | Pb                                | 23.06.2021 | 16:06:56 | < 14  | < 0,0014  | BL    | не более 0,1                        |
|             |                                | Cr(общий)                         | 23.06.2021 | 16:06:56 | < 16  | < 0,0016  | BL    | не более 0,1                        |
|             |                                | Br(общий)                         | 23.06.2021 | 16:06:56 | < 25  | < 0,0025  | BL    | не более 0,1                        |

| № фрагмента | Наименование фрагмента образца                  | Наименование химического элемента | Дата       | Время    | Результат рентгено-флуоресцентной спектрометрии ГОСТ ИЕС 62321-3-1-2016 |                 | Вывод | Норма по ТР ЕАЭС 037/2016 % весовых |
|-------------|---|-----------------------------------|------------|----------|---|-----------------|-------|-------------------------------------|
|             |   |                                   |            |          | мг/кг (ppm)   | % весовых       |       |                                     |
| 6.          | Прозрачное стекло                               | Cd                                | 23.06.2021 | 16:07:50 | 21 ± 2  | 0,0021 ± 0,0002 | BL    | не более 0,01                       |
|             |   | Hg                                | 23.06.2021 | 16:07:50 | < 4   | < 0,0004        | BL    | не более 0,1                        |
|             |   | Pb                                | 23.06.2021 | 16:07:50 | < 14  | < 0,0014        | BL    | не более 0,1                        |
|             |   | Cr(общий)                         | 23.06.2021 | 16:07:50 | 180 ± 59  | 0,0180 ± 0,0059 | BL    | не более 0,1                        |
|             |   | Br(общий)                         | 23.06.2021 | 16:07:50 | < 25  | < 0,0025        | BL    | не более 0,1                        |
| 7.          | Бурая металлическая окантовка                   | Cd                                | 23.06.2021 | 16:08:29 | 47 ± 12   | 0,0047 ± 0,0012 | BL    | не более 0,01                       |
|             |   | Hg                                | 23.06.2021 | 16:08:29 | < 4   | < 0,0004        | BL    | не более 0,1                        |
|             |   | Pb                                | 23.06.2021 | 16:08:29 | < 14  | < 0,0014        | BL    | не более 0,1                        |
|             |   | Cr(общий)                         | 23.06.2021 | 16:08:29 | < 16  | < 0,0016        | BL    | не более 0,1                        |
|             |   | Br(общий)                         | 23.06.2021 | 16:08:29 | < 25  | < 0,0025        | BL    | не более 0,1                        |
| 8.          | Белая полимерная прокладка                      | Cd                                | 23.06.2021 | 16:09:13 | 32 ± 5  | 0,0032 ± 0,0005 | BL    | не более 0,01                       |
|             |   | Hg                                | 23.06.2021 | 16:09:13 | < 4   | < 0,0004        | BL    | не более 0,1                        |
|             |   | Pb                                | 23.06.2021 | 16:09:13 | 63 ± 9  | 0,0063 ± 0,0009 | BL    | не более 0,1                        |
|             |   | Cr(общий)                         | 23.06.2021 | 16:09:13 | < 16  | < 0,0016        | BL    | не более 0,1                        |
|             |   | Br(общий)                         | 23.06.2021 | 16:09:13 | < 25  | < 0,0025        | BL    | не более 0,1                        |
| 9.          | Синий полимерный корпус пленочного конденсатора | Cd                                | 23.06.2021 | 16:09:49 | < 3   | < 0,0003        | BL    | не более 0,01                       |
|             |   | Hg                                | 23.06.2021 | 16:09:49 | < 4   | < 0,0004        | BL    | не более 0,1                        |
|             |   | Pb                                | 23.06.2021 | 16:09:49 | 26 ± 6  | 0,0026 ± 0,0006 | BL    | не более 0,1                        |
|             |   | Cr(общий)                         | 23.06.2021 | 16:09:49 | < 16  | < 0,0016        | BL    | не более 0,1                        |
|             |   | Br(общий)                         | 23.06.2021 | 16:09:49 | 321 ± 32  | 0,0321 ± 0,0032 | BL    | не более 0,1                        |
| 10.         | Прозрачная полимерная пленка                    | Cd                                | 23.06.2021 | 16:10:28 | < 3   | < 0,0003        | BL    | не более 0,01                       |
|             |   | Hg                                | 23.06.2021 | 16:10:28 | < 4   | < 0,0004        | BL    | не более 0,1                        |
|             |   | Pb                                | 23.06.2021 | 16:10:28 | < 14  | < 0,0014        | BL    | не более 0,1                        |
|             |   | Cr(общий)                         | 23.06.2021 | 16:10:28 | < 16  | < 0,0016        | BL    | не более 0,1                        |
|             |   | Br(общий)                         | 23.06.2021 | 16:10:28 | < 25  | < 0,0025        | BL    | не более 0,1                        |
| 11.         | Серебристая металлическая пленка                | Cd                                | 23.06.2021 | 16:11:04 | < 3   | < 0,0003        | BL    | не более 0,01                       |
|             |   | Hg                                | 23.06.2021 | 16:11:04 | < 4   | < 0,0004        | BL    | не более 0,1                        |
|             |   | Pb                                | 23.06.2021 | 16:11:04 | < 14  | < 0,0014        | BL    | не более 0,1                        |
|             |   | Cr(общий)                         | 23.06.2021 | 16:11:04 | < 16  | < 0,0016        | BL    | не более 0,1                        |
|             |   | Br(общий)                         | 23.06.2021 | 16:11:04 | < 25  | < 0,0025        | BL    | не более 0,1                        |



| № фрагмента | Наименование фрагмента образца                  | Наименование химического элемента | Дата       | Время    | Результат рентгено-флуоресцентной спектрометрии ГОСТ ИЕС 62321-3-1-2016 |                 | Вывод            | Норма по ТР ЕАЭС 037/2016 % весовых |
|-------------|---|-----------------------------------|------------|----------|---|-----------------|------------------|-------------------------------------|
|             |   |                                   |            |          | мг/кг (ppm)   | % весовых       |                  |                                     |
| 12.         | Серебристый металлический вывод                 | Cd                                | 23.06.2021 | 16:12:12 | > 183   | > 0,0183        | OL <sup>10</sup> | не более 0,01                       |
|             |   | Hg                                | 23.06.2021 | 16:12:12 | 272 ± 63  | 0,0272 ± 0,0063 | BL               | не более 0,1                        |
|             |   | Pb                                | 23.06.2021 | 16:12:12 | 2218 ± 335  | 0,2218 ± 0,0335 | OL <sup>8</sup>  | не более 0,1                        |
|             |   | Cr(общий)                         | 23.06.2021 | 16:12:12 | < 16  | < 0,0016        | BL               | не более 0,1                        |
|             |   | Br(общий)                         | 23.06.2021 | 16:12:12 | < 25  | < 0,0025        | BL               | не более 0,1                        |
| 13.         | Белая полимерный компаунд                       | Cd                                | 23.06.2021 | 16:13:11 | 42 ± 9  | 0,0042 ± 0,0009 | BL               | не более 0,01                       |
|             |   | Hg                                | 23.06.2021 | 16:13:11 | < 4   | < 0,0004        | BL               | не более 0,1                        |
|             |   | Pb                                | 23.06.2021 | 16:13:11 | < 14  | < 0,0014        | BL               | не более 0,1                        |
|             |   | Cr(общий)                         | 23.06.2021 | 16:13:11 | < 16  | < 0,0016        | BL               | не более 0,1                        |
|             |   | Br(общий)                         | 23.06.2021 | 16:13:11 | < 25  | < 0,0025        | BL               | не более 0,1                        |
| 14.         | Бело зеленый керамический корпус газоразрядника | Cd                                | 23.06.2021 | 16:13:47 | < 3   | < 0,0003        | BL               | не более 0,01                       |
|             |   | Hg                                | 23.06.2021 | 16:13:47 | < 4   | < 0,0004        | BL               | не более 0,1                        |
|             |   | Pb                                | 23.06.2021 | 16:13:47 | < 14  | < 0,0014        | BL               | не более 0,1                        |
|             |   | Cr(общий)                         | 23.06.2021 | 16:13:47 | < 16  | < 0,0016        | BL               | не более 0,1                        |
|             |   | Br(общий)                         | 23.06.2021 | 16:13:47 | < 25  | < 0,0025        | BL               | не более 0,1                        |
| 15.         | Серебристая металлическая боковая пластина      | Cd                                | 23.06.2021 | 16:14:29 | < 3   | < 0,0003        | BL               | не более 0,01                       |
|             |   | Hg                                | 23.06.2021 | 16:14:29 | < 4   | < 0,0004        | BL               | не более 0,1                        |
|             |   | Pb                                | 23.06.2021 | 16:14:29 | < 14  | < 0,0014        | BL               | не более 0,1                        |
|             |   | Cr(общий)                         | 23.06.2021 | 16:14:29 | < 16  | < 0,0016        | BL               | не более 0,1                        |
|             |   | Br(общий)                         | 23.06.2021 | 16:14:29 | < 25  | < 0,0025        | BL               | не более 0,1                        |
| 16.         | Серебристый металлический вывод                 | Cd                                | 23.06.2021 | 16:15:16 | < 3   | < 0,0003        | BL               | не более 0,01                       |
|             |   | Hg                                | 23.06.2021 | 16:15:16 | < 4   | < 0,0004        | BL               | не более 0,1                        |
|             |   | Pb                                | 23.06.2021 | 16:15:16 | < 14  | < 0,0014        | BL               | не более 0,1                        |
|             |   | Cr(общий)                         | 23.06.2021 | 16:15:16 | < 16  | < 0,0016        | BL               | не более 0,1                        |
|             |   | Br(общий)                         | 23.06.2021 | 16:15:16 | < 25  | < 0,0025        | BL               | не более 0,1                        |
| 17.         | Черный ферритовый корпус                        | Cd                                | 23.06.2021 | 16:16:01 | 29 ± 2  | 0,0029 ± 0,0002 | BL               | не более 0,01                       |
|             |   | Hg                                | 23.06.2021 | 16:16:01 | < 4   | < 0,0004        | BL               | не более 0,1                        |
|             |   | Pb                                | 23.06.2021 | 16:16:01 | < 14  | < 0,0014        | BL               | не более 0,1                        |
|             |   | Cr(общий)                         | 23.06.2021 | 16:16:01 | 314 ± 66  | 0,0314 ± 0,0066 | BL               | не более 0,1                        |
|             |   | Br(общий)                         | 23.06.2021 | 16:16:01 | < 25  | < 0,0025        | BL               | не более 0,1                        |

| № фрагмента | Наименование фрагмента образца                  | Наименование химического элемента | Дата       | Время    | Результат рентгено-флуоресцентной спектрометрии ГОСТ ИЕС 62321-3-1-2016 |                 | Вывод | Норма по ТР ЕАЭС 037/2016 % весовых |
|-------------|---|-----------------------------------|------------|----------|---|-----------------|-------|-------------------------------------|
|             |   |                                   |            |          | мг/кг (ppm)   | % весовых       |       |                                     |
| 18.         | Серебристый металлический проводник             | Cd                                | 23.06.2021 | 16:16:55 | < 3   | < 0,0003        | BL    | не более 0,01                       |
|             |   | Hg                                | 23.06.2021 | 16:16:55 | < 4   | < 0,0004        | BL    | не более 0,1                        |
|             |   | Pb                                | 23.06.2021 | 16:16:55 | < 14  | < 0,0014        | BL    | не более 0,1                        |
|             |   | Cr(общий)                         | 23.06.2021 | 16:16:55 | < 16  | < 0,0016        | BL    | не более 0,1                        |
|             |   | Br(общий)                         | 23.06.2021 | 16:16:55 | < 25  | < 0,0025        | BL    | не более 0,1                        |
| 19.         | Бело синий керамический корпус газоразрядника   | Cd                                | 23.06.2021 | 16:17:42 | < 3   | < 0,0003        | BL    | не более 0,01                       |
|             |   | Hg                                | 23.06.2021 | 16:17:42 | < 4   | < 0,0004        | BL    | не более 0,1                        |
|             |   | Pb                                | 23.06.2021 | 16:17:42 | < 14  | < 0,0014        | BL    | не более 0,1                        |
|             |   | Cr(общий)                         | 23.06.2021 | 16:17:42 | 53 ± 11   | 0,0053 ± 0,0011 | BL    | не более 0,1                        |
|             |   | Br(общий)                         | 23.06.2021 | 16:17:42 | < 25  | < 0,0025        | BL    | не более 0,1                        |
| 20.         | Серебристая металлическая боковая пластина      | Cd                                | 23.06.2021 | 16:18:17 | < 3   | < 0,0003        | BL    | не более 0,01                       |
|             |   | Hg                                | 23.06.2021 | 16:18:17 | < 4   | < 0,0004        | BL    | не более 0,1                        |
|             |   | Pb                                | 23.06.2021 | 16:18:17 | < 14  | < 0,0014        | BL    | не более 0,1                        |
|             |   | Cr(общий)                         | 23.06.2021 | 16:18:17 | < 16  | < 0,0016        | BL    | не более 0,1                        |
|             |   | Br(общий)                         | 23.06.2021 | 16:18:17 | < 25  | < 0,0025        | BL    | не более 0,1                        |
| 21.         | Серебристый металлический вывод                 | Cd                                | 23.06.2021 | 16:19:02 | < 3   | < 0,0003        | BL    | не более 0,01                       |
|             |   | Hg                                | 23.06.2021 | 16:19:02 | < 4   | < 0,0004        | BL    | не более 0,1                        |
|             |   | Pb                                | 23.06.2021 | 16:19:02 | < 14  | < 0,0014        | BL    | не более 0,1                        |
|             |   | Cr(общий)                         | 23.06.2021 | 16:19:02 | < 16  | < 0,0016        | BL    | не более 0,1                        |
|             |   | Br(общий)                         | 23.06.2021 | 16:19:02 | < 25  | < 0,0025        | BL    | не более 0,1                        |
| 22.         | Бело зеленый керамический корпус газоразрядника | Cd                                | 23.06.2021 | 16:19:50 | < 3   | < 0,0003        | BL    | не более 0,01                       |
|             |   | Hg                                | 23.06.2021 | 16:19:50 | < 4   | < 0,0004        | BL    | не более 0,1                        |
|             |   | Pb                                | 23.06.2021 | 16:19:50 | < 14  | < 0,0014        | BL    | не более 0,1                        |
|             |   | Cr(общий)                         | 23.06.2021 | 16:19:50 | < 16  | < 0,0016        | BL    | не более 0,1                        |
|             |   | Br(общий)                         | 23.06.2021 | 16:19:50 | < 25  | < 0,0025        | BL    | не более 0,1                        |
| 23.         | Серебристая металлическая боковая пластина      | Cd                                | 23.06.2021 | 16:20:27 | < 3   | < 0,0003        | BL    | не более 0,01                       |
|             |   | Hg                                | 23.06.2021 | 16:20:27 | < 4   | < 0,0004        | BL    | не более 0,1                        |
|             |   | Pb                                | 23.06.2021 | 16:20:27 | < 14  | < 0,0014        | BL    | не более 0,1                        |
|             |   | Cr(общий)                         | 23.06.2021 | 16:20:27 | 283 ± 79  | 0,0283 ± 0,0079 | BL    | не более 0,1                        |
|             |   | Br(общий)                         | 23.06.2021 | 16:20:27 | < 25  | < 0,0025        | BL    | не более 0,1                        |

| № фрагмента | Наименование фрагмента образца                                    | Наименование химического элемента | Дата       | Время    | Результат рентгено-флуоресцентной спектрометрии ГОСТ ИЕС 62321-3-1-2016 |                 | Вывод | Норма по ТР ЕАЭС 037/2016 % весовых |
|-------------|---|-----------------------------------|------------|----------|---|-----------------|-------|-------------------------------------|
|             |   |                                   |            |          | мг/кг (ppm)   | % весовых       |       |                                     |
| 24.         | Серебристый металлический вывод                                   | Cd                                | 23.06.2021 | 16:22:40 | < 3   | < 0,0003        | BL    | не более 0,01                       |
|             |   | Hg                                | 23.06.2021 | 16:22:40 | < 4   | < 0,0004        | BL    | не более 0,1                        |
|             |   | Pb                                | 23.06.2021 | 16:22:40 | < 14  | < 0,0014        | BL    | не более 0,1                        |
|             |   | Cr(общий)                         | 23.06.2021 | 16:22:40 | < 16  | < 0,0016        | BL    | не более 0,1                        |
|             |   | Br(общий)                         | 23.06.2021 | 16:22:40 | < 25  | < 0,0025        | BL    | не более 0,1                        |
| 25.         | Желтый керамический корпус конденсатора 14K821                    | Cd                                | 23.06.2021 | 16:23:25 | < 3   | < 0,0003        | BL    | не более 0,01                       |
|             |   | Hg                                | 23.06.2021 | 16:23:25 | < 4   | < 0,0004        | BL    | не более 0,1                        |
|             |   | Pb                                | 23.06.2021 | 16:23:25 | < 14  | < 0,0014        | BL    | не более 0,1                        |
|             |   | Cr(общий)                         | 23.06.2021 | 16:23:25 | < 16  | < 0,0016        | BL    | не более 0,1                        |
|             |   | Br(общий)                         | 23.06.2021 | 16:23:25 | < 25  | < 0,0025        | BL    | не более 0,1                        |
| 26.         | Серебристый металлический вывод конденсатора 14K821               | Cd                                | 23.06.2021 | 16:23:59 | < 3   | < 0,0003        | BL    | не более 0,01                       |
|             |   | Hg                                | 23.06.2021 | 16:23:59 | < 4   | < 0,0004        | BL    | не более 0,1                        |
|             |   | Pb                                | 23.06.2021 | 16:23:59 | < 14  | < 0,0014        | BL    | не более 0,1                        |
|             |   | Cr(общий)                         | 23.06.2021 | 16:23:59 | < 16  | < 0,0016        | BL    | не более 0,1                        |
|             |   | Br(общий)                         | 23.06.2021 | 16:23:59 | < 25  | < 0,0025        | BL    | не более 0,1                        |
| 27.         | Желтый керамический корпус конденсатора JK250                     | Cd                                | 23.06.2021 | 16:24:54 | < 3   | < 0,0003        | BL    | не более 0,01                       |
|             |   | Hg                                | 23.06.2021 | 16:24:54 | < 4   | < 0,0004        | BL    | не более 0,1                        |
|             |   | Pb                                | 23.06.2021 | 16:24:54 | 110 ± 12  | 0,0110 ± 0,0012 | BL    | не более 0,1                        |
|             |   | Cr(общий)                         | 23.06.2021 | 16:24:54 | < 16  | < 0,0016        | BL    | не более 0,1                        |
|             |   | Br(общий)                         | 23.06.2021 | 16:24:54 | 867 ± 17  | 0,0867 ± 0,0017 | BL    | не более 0,1                        |
| 28.         | Серебристый металлический вывод конденсатора JK250                | Cd                                | 23.06.2021 | 16:25:29 | < 3   | < 0,0003        | BL    | не более 0,01                       |
|             |   | Hg                                | 23.06.2021 | 16:25:29 | < 4   | < 0,0004        | BL    | не более 0,1                        |
|             |   | Pb                                | 23.06.2021 | 16:25:29 | < 14  | < 0,0014        | BL    | не более 0,1                        |
|             |   | Cr(общий)                         | 23.06.2021 | 16:25:29 | < 16  | < 0,0016        | BL    | не более 0,1                        |
|             |   | Br(общий)                         | 23.06.2021 | 16:25:29 | < 25  | < 0,0025        | BL    | не более 0,1                        |
| 29.         | Черная полимерная оболочка конденсатора электролитического 100 µF | Cd                                | 23.06.2021 | 16:26:12 | < 3   | < 0,0003        | BL    | не более 0,01                       |
|             |   | Hg                                | 23.06.2021 | 16:26:12 | < 4   | < 0,0004        | BL    | не более 0,1                        |
|             |   | Pb                                | 23.06.2021 | 16:26:12 | < 14  | < 0,0014        | BL    | не более 0,1                        |
|             |   | Cr(общий)                         | 23.06.2021 | 16:26:12 | < 16  | < 0,0016        | BL    | не более 0,1                        |
|             |   | Br(общий)                         | 23.06.2021 | 16:26:12 | < 25  | < 0,0025        | BL    | не более 0,1                        |



| № фрагмента | Наименование фрагмента образца  | Наименование химического элемента | Дата       | Время    | Результат рентгено-флуоресцентной спектрометрии ГОСТ ИЕС 62321-3-1-2016 |                 | Вывод | Норма по ТР ЕАЭС 037/2016 % весовых |
|-------------|---|-----------------------------------|------------|----------|---|-----------------|-------|-------------------------------------|
|             |   |                                   |            |          | мг/кг (ppm)   | % весовых       |       |                                     |
| 30.         | Серебристый металлический корпус конденсатора электролитического 100 µF | Cd                                | 23.06.2021 | 16:26:59 | < 3   | < 0,0003        | BL    | не более 0,01                       |
|             |   | Hg                                | 23.06.2021 | 16:26:59 | 10 ± 3  | 0,0010 ± 0,0003 | BL    | не более 0,1                        |
|             |   | Pb                                | 23.06.2021 | 16:26:59 | < 14  | < 0,0014        | BL    | не более 0,1                        |
|             |   | Cr(общий)                         | 23.06.2021 | 16:26:59 | < 16  | < 0,0016        | BL    | не более 0,1                        |
|             |   | Br(общий)                         | 23.06.2021 | 16:26:59 | < 25  | < 0,0025        | BL    | не более 0,1                        |
| 31.         | Серая металлическая пластина конденсатора электролитического 100 µF     | Cd                                | 23.06.2021 | 16:27:29 | < 3   | < 0,0003        | BL    | не более 0,01                       |
|             |   | Hg                                | 23.06.2021 | 16:27:29 | < 4   | < 0,0004        | BL    | не более 0,1                        |
|             |   | Pb                                | 23.06.2021 | 16:27:29 | 17 ± 4  | 0,0017 ± 0,0004 | BL    | не более 0,1                        |
|             |   | Cr(общий)                         | 23.06.2021 | 16:27:29 | < 16  | < 0,0016        | BL    | не более 0,1                        |
|             |   | Br(общий)                         | 23.06.2021 | 16:27:29 | < 25  | < 0,0025        | BL    | не более 0,1                        |
| 32.         | Серебристая металлическая фольга конденсатора электролитического 100 µF | Cd                                | 23.06.2021 | 16:27:57 | 46 ± 6  | 0,0046 ± 0,0006 | BL    | не более 0,01                       |
|             |   | Hg                                | 23.06.2021 | 16:27:57 | < 4   | < 0,0004        | BL    | не более 0,1                        |
|             |   | Pb                                | 23.06.2021 | 16:27:57 | < 14  | < 0,0014        | BL    | не более 0,1                        |
|             |   | Cr(общий)                         | 23.06.2021 | 16:27:57 | 79 ± 19   | 0,0079 ± 0,0019 | BL    | не более 0,1                        |
|             |   | Br(общий)                         | 23.06.2021 | 16:27:57 | < 25  | < 0,0025        | BL    | не более 0,1                        |
| 33.         | Коричневая изолирующая бумага конденсатора электролитического 100 µF    | Cd                                | 23.06.2021 | 16:28:32 | 25 ± 8  | 0,0025 ± 0,0008 | BL    | не более 0,01                       |
|             |   | Hg                                | 23.06.2021 | 16:28:32 | < 4   | < 0,0004        | BL    | не более 0,1                        |
|             |   | Pb                                | 23.06.2021 | 16:28:32 | < 14  | < 0,0014        | BL    | не более 0,1                        |
|             |   | Cr(общий)                         | 23.06.2021 | 16:28:32 | < 16  | < 0,0016        | BL    | не более 0,1                        |
|             |   | Br(общий)                         | 23.06.2021 | 16:28:32 | 25 ± 1  | 0,0025 ± 0,0001 | BL    | не более 0,1                        |
| 34.         | Черная полимерная крышка конденсатора электролитического 100 µF         | Cd                                | 23.06.2021 | 16:29:27 | < 3   | < 0,0003        | BL    | не более 0,01                       |
|             |   | Hg                                | 23.06.2021 | 16:29:27 | < 4   | < 0,0004        | BL    | не более 0,1                        |
|             |   | Pb                                | 23.06.2021 | 16:29:27 | < 14  | < 0,0014        | BL    | не более 0,1                        |
|             |   | Cr(общий)                         | 23.06.2021 | 16:29:27 | < 16  | < 0,0016        | BL    | не более 0,1                        |
|             |   | Br(общий)                         | 23.06.2021 | 16:29:27 | < 25  | < 0,0025        | BL    | не более 0,1                        |
| 35.         | Серебристый металлический вывод конденсатора электролитического 100 µF  | Cd                                | 23.06.2021 | 16:30:01 | < 3   | < 0,0003        | BL    | не более 0,01                       |
|             |   | Hg                                | 23.06.2021 | 16:30:01 | < 4   | < 0,0004        | BL    | не более 0,1                        |
|             |   | Pb                                | 23.06.2021 | 16:30:01 | < 14  | < 0,0014        | BL    | не более 0,1                        |
|             |   | Cr(общий)                         | 23.06.2021 | 16:30:01 | < 16  | < 0,0016        | BL    | не более 0,1                        |
|             |   | Br(общий)                         | 23.06.2021 | 16:30:01 | < 25  | < 0,0025        | BL    | не более 0,1                        |

| № фрагмента | Наименование фрагмента образца        | Наименование химического элемента | Дата       | Время    | Результат рентгено-флуоресцентной спектрометрии ГОСТ ИЕС 62321-3-1-2016 |                 | Вывод | Норма по ТР ЕАЭС 037/2016 % весовых |
|-------------|---------------------------------------|-----------------------------------|------------|----------|---|-----------------|-------|-------------------------------------|
|             |                                       |                                   |            |          | мг/кг (ppm)   | % весовых       |       |                                     |
| 36.         | Черная полимерная оболочка            | Cd                                | 23.06.2021 | 16:30:45 | < 3   | < 0,0003        | BL    | не более 0,01                       |
|             |                                       | Hg                                | 23.06.2021 | 16:30:45 | < 4   | < 0,0004        | BL    | не более 0,1                        |
|             |                                       | Pb                                | 23.06.2021 | 16:30:45 | < 14  | < 0,0014        | BL    | не более 0,1                        |
|             |                                       | Cr(общий)                         | 23.06.2021 | 16:30:45 | < 16  | < 0,0016        | BL    | не более 0,1                        |
|             |                                       | Br(общий)                         | 23.06.2021 | 16:30:45 | < 25  | < 0,0025        | BL    | не более 0,1                        |
| 37.         | Черный ферритовый корпус              | Cd                                | 23.06.2021 | 16:31:19 | < 3   | < 0,0003        | BL    | не более 0,01                       |
|             |                                       | Hg                                | 23.06.2021 | 16:31:19 | < 4   | < 0,0004        | BL    | не более 0,1                        |
|             |                                       | Pb                                | 23.06.2021 | 16:31:19 | 288 ± 62  | 0,0288 ± 0,0062 | BL    | не более 0,1                        |
|             |                                       | Cr(общий)                         | 23.06.2021 | 16:31:19 | 368 ± 67  | 0,0368 ± 0,0067 | BL    | не более 0,1                        |
|             |                                       | Br(общий)                         | 23.06.2021 | 16:31:19 | < 25  | < 0,0025        | BL    | не более 0,1                        |
| 38.         | Золотистый металлический проводник    | Cd                                | 23.06.2021 | 16:32:03 | < 3   | < 0,0003        | BL    | не более 0,01                       |
|             |                                       | Hg                                | 23.06.2021 | 16:32:03 | < 4   | < 0,0004        | BL    | не более 0,1                        |
|             |                                       | Pb                                | 23.06.2021 | 16:32:03 | < 14  | < 0,0014        | BL    | не более 0,1                        |
|             |                                       | Cr(общий)                         | 23.06.2021 | 16:32:03 | < 16  | < 0,0016        | BL    | не более 0,1                        |
|             |                                       | Br(общий)                         | 23.06.2021 | 16:32:03 | < 25  | < 0,0025        | BL    | не более 0,1                        |
| 39.         | Серебристый металлический вывод       | Cd                                | 23.06.2021 | 16:32:46 | < 3   | < 0,0003        | BL    | не более 0,01                       |
|             |                                       | Hg                                | 23.06.2021 | 16:32:46 | < 4   | < 0,0004        | BL    | не более 0,1                        |
|             |                                       | Pb                                | 23.06.2021 | 16:32:46 | < 14  | < 0,0014        | BL    | не более 0,1                        |
|             |                                       | Cr(общий)                         | 23.06.2021 | 16:32:46 | < 16  | < 0,0016        | BL    | не более 0,1                        |
|             |                                       | Br(общий)                         | 23.06.2021 | 16:32:46 | < 25  | < 0,0025        | BL    | не более 0,1                        |
| 40.         | Черный диод                           | Cd                                | 23.06.2021 | 16:33:32 | < 3   | < 0,0003        | BL    | не более 0,01                       |
|             |                                       | Hg                                | 23.06.2021 | 16:33:32 | 87 ± 18   | 0,0087 ± 0,0018 | BL    | не более 0,1                        |
|             |                                       | Pb                                | 23.06.2021 | 16:33:32 | 93 ± 16   | 0,0093 ± 0,0016 | BL    | не более 0,1                        |
|             |                                       | Cr(общий)                         | 23.06.2021 | 16:33:32 | 736 ± 190   | 0,0736 ± 0,0190 | BL    | не более 0,1                        |
|             |                                       | Br(общий)                         | 23.06.2021 | 16:33:32 | < 25  | < 0,0025        | BL    | не более 0,1                        |
| 41.         | Серебристый металлический вывод диода | Cd                                | 23.06.2021 | 16:33:54 | < 3   | < 0,0003        | BL    | не более 0,01                       |
|             |                                       | Hg                                | 23.06.2021 | 16:33:54 | < 4   | < 0,0004        | BL    | не более 0,1                        |
|             |                                       | Pb                                | 23.06.2021 | 16:33:54 | < 14  | < 0,0014        | BL    | не более 0,1                        |
|             |                                       | Cr(общий)                         | 23.06.2021 | 16:33:54 | < 16  | < 0,0016        | BL    | не более 0,1                        |
|             |                                       | Br(общий)                         | 23.06.2021 | 16:33:54 | < 25  | < 0,0025        | BL    | не более 0,1                        |

| № фрагмента | Наименование фрагмента образца                    | Наименование химического элемента | Дата       | Время    | Результат рентгено-флуоресцентной спектрометрии ГОСТ ИЕС 62321-3-1-2016 |                 | Вывод | Норма по ТР ЕАЭС 037/2016 % весовых |
|-------------|---|-----------------------------------|------------|----------|---|-----------------|-------|-------------------------------------|
|             |   |                                   |            |          | мг/кг (ppm)   | % весовых       |       |                                     |
| 42.         | Черный полимерный корпус катушки                  | Cd                                | 23.06.2021 | 16:34:58 | < 3   | < 0,0003        | BL    | не более 0,01                       |
|             |   | Hg                                | 23.06.2021 | 16:34:58 | < 4   | < 0,0004        | BL    | не более 0,1                        |
|             |   | Pb                                | 23.06.2021 | 16:34:58 | < 14  | < 0,0014        | BL    | не более 0,1                        |
|             |   | Cr(общий)                         | 23.06.2021 | 16:34:58 | < 16  | < 0,0016        | BL    | не более 0,1                        |
|             |   | Br(общий)                         | 23.06.2021 | 16:34:58 | 159 ± 3   | 0,0159 ± 0,0003 | BL    | не более 0,1                        |
| 43.         | Синий ферритовый сердечник                        | Cd                                | 23.06.2021 | 16:35:30 | < 3   | < 0,0003        | BL    | не более 0,01                       |
|             |   | Hg                                | 23.06.2021 | 16:35:30 | < 4   | < 0,0004        | BL    | не более 0,1                        |
|             |   | Pb                                | 23.06.2021 | 16:35:30 | < 14  | < 0,0014        | BL    | не более 0,1                        |
|             |   | Cr(общий)                         | 23.06.2021 | 16:35:30 | 103 ± 78  | 0,0103 ± 0,0078 | BL    | не более 0,1                        |
|             |   | Br(общий)                         | 23.06.2021 | 16:35:30 | < 25  | < 0,0025        | BL    | не более 0,1                        |
| 44.         | Золотистый металлический проводник                | Cd                                | 23.06.2021 | 16:36:14 | < 3   | < 0,0003        | BL    | не более 0,01                       |
|             |   | Hg                                | 23.06.2021 | 16:36:14 | < 4   | < 0,0004        | BL    | не более 0,1                        |
|             |   | Pb                                | 23.06.2021 | 16:36:14 | < 14  | < 0,0014        | BL    | не более 0,1                        |
|             |   | Cr(общий)                         | 23.06.2021 | 16:36:14 | < 16  | < 0,0016        | BL    | не более 0,1                        |
|             |   | Br(общий)                         | 23.06.2021 | 16:36:14 | < 25  | < 0,0025        | BL    | не более 0,1                        |
| 45.         | Серебристый металлический вывод                   | Cd                                | 23.06.2021 | 16:36:59 | < 3   | < 0,0003        | BL    | не более 0,01                       |
|             |   | Hg                                | 23.06.2021 | 16:36:59 | < 4   | < 0,0004        | BL    | не более 0,1                        |
|             |   | Pb                                | 23.06.2021 | 16:36:59 | < 14  | < 0,0014        | BL    | не более 0,1                        |
|             |   | Cr(общий)                         | 23.06.2021 | 16:36:59 | < 16  | < 0,0016        | BL    | не более 0,1                        |
|             |   | Br(общий)                         | 23.06.2021 | 16:36:59 | < 25  | < 0,0025        | BL    | не более 0,1                        |
| 46.         | Синий керамический конденсатор 472M               | Cd                                | 23.06.2021 | 16:37:41 | 25 ± 9  | 0,0025 ± 0,0009 | BL    | не более 0,01                       |
|             |   | Hg                                | 23.06.2021 | 16:37:41 | < 4   | < 0,0004        | BL    | не более 0,1                        |
|             |   | Pb                                | 23.06.2021 | 16:37:41 | < 14  | < 0,0014        | BL    | не более 0,1                        |
|             |   | Cr(общий)                         | 23.06.2021 | 16:37:41 | < 16  | < 0,0016        | BL    | не более 0,1                        |
|             |   | Br(общий)                         | 23.06.2021 | 16:37:41 | 129 ± 25  | 0,0129 ± 0,0025 | BL    | не более 0,1                        |
| 47.         | Серебристый металлический вывод конденсатора 472M | Cd                                | 23.06.2021 | 16:38:15 | < 3   | < 0,0003        | BL    | не более 0,01                       |
|             |   | Hg                                | 23.06.2021 | 16:38:15 | < 4   | < 0,0004        | BL    | не более 0,1                        |
|             |   | Pb                                | 23.06.2021 | 16:38:15 | < 14  | < 0,0014        | BL    | не более 0,1                        |
|             |   | Cr(общий)                         | 23.06.2021 | 16:38:15 | < 16  | < 0,0016        | BL    | не более 0,1                        |
|             |   | Br(общий)                         | 23.06.2021 | 16:38:15 | < 25  | < 0,0025        | BL    | не более 0,1                        |

| № фрагмента | Наименование фрагмента образца                      | Наименование химического элемента | Дата       | Время    | Результат рентгено-флуоресцентной спектрометрии ГОСТ ИЕС 62321-3-1-2016 |                 | Вывод            | Норма по ТР ЕАЭС 037/2016 % весовых |
|-------------|---|-----------------------------------|------------|----------|---|-----------------|------------------|-------------------------------------|
|             |   |                                   |            |          | мг/кг (ppm)   | % весовых       |                  |                                     |
| 48.         | Черный полимерный корпус катушки                    | Cd                                | 23.06.2021 | 16:39:05 | < 3   | < 0,0003        | BL               | не более 0,01                       |
|             |   | Hg                                | 23.06.2021 | 16:39:05 | < 4   | < 0,0004        | BL               | не более 0,1                        |
|             |   | Pb                                | 23.06.2021 | 16:39:05 | 19 ± 6  | 0,0019 ± 0,0006 | BL               | не более 0,1                        |
|             |   | Cr(общий)                         | 23.06.2021 | 16:39:05 | < 16  | < 0,0016        | BL               | не более 0,1                        |
|             |   | Br(общий)                         | 23.06.2021 | 16:39:05 | 546 ± 62  | 0,0546 ± 0,0062 | BL               | не более 0,1                        |
| 49.         | Серебристый металлический сердечник                 | Cd                                | 23.06.2021 | 16:39:53 | < 3   | < 0,0003        | BL               | не более 0,01                       |
|             |   | Hg                                | 23.06.2021 | 16:39:53 | < 4   | < 0,0004        | BL               | не более 0,1                        |
|             |   | Pb                                | 23.06.2021 | 16:39:53 | < 14  | < 0,0014        | BL               | не более 0,1                        |
|             |   | Cr(общий)                         | 23.06.2021 | 16:39:53 | < 16  | < 0,0016        | BL               | не более 0,1                        |
|             |   | Br(общий)                         | 23.06.2021 | 16:39:53 | < 25  | < 0,0025        | BL               | не более 0,1                        |
| 50.         | Золотистый металлический проводник                  | Cd                                | 23.06.2021 | 16:40:38 | < 3   | < 0,0003        | BL               | не более 0,01                       |
|             |   | Hg                                | 23.06.2021 | 16:40:38 | < 4   | < 0,0004        | BL               | не более 0,1                        |
|             |   | Pb                                | 23.06.2021 | 16:40:38 | < 14  | < 0,0014        | BL               | не более 0,1                        |
|             |   | Cr(общий)                         | 23.06.2021 | 16:40:38 | < 16  | < 0,0016        | BL               | не более 0,1                        |
|             |   | Br(общий)                         | 23.06.2021 | 16:40:38 | < 25  | < 0,0025        | BL               | не более 0,1                        |
| 51.         | Серебристый металлический вывод                     | Cd                                | 23.06.2021 | 16:41:21 | > 183   | > 0,0183        | OL <sup>10</sup> | не более 0,01                       |
|             |   | Hg                                | 23.06.2021 | 16:41:21 | < 4   | < 0,0004        | BL               | не более 0,1                        |
|             |   | Pb                                | 23.06.2021 | 16:41:21 | < 14  | < 0,0014        | BL               | не более 0,1                        |
|             |   | Cr(общий)                         | 23.06.2021 | 16:41:21 | < 16  | < 0,0016        | BL               | не более 0,1                        |
|             |   | Br(общий)                         | 23.06.2021 | 16:41:21 | < 25  | < 0,0025        | BL               | не более 0,1                        |
| 52.         | Желтый керамический конденсатор 14K681              | Cd                                | 23.06.2021 | 16:42:21 | 35 ± 17   | 0,0035 ± 0,0017 | BL               | не более 0,01                       |
|             |   | Hg                                | 23.06.2021 | 16:42:21 | < 4   | < 0,0004        | BL               | не более 0,1                        |
|             |   | Pb                                | 23.06.2021 | 16:42:21 | < 14  | < 0,0014        | BL               | не более 0,1                        |
|             |   | Cr(общий)                         | 23.06.2021 | 16:42:21 | < 16  | < 0,0016        | BL               | не более 0,1                        |
|             |   | Br(общий)                         | 23.06.2021 | 16:42:21 | 828 ± 11  | 0,0828 ± 0,0011 | BL               | не более 0,1                        |
| 53.         | Серебристый металлический вывод конденсатора 14K681 | Cd                                | 23.06.2021 | 16:42:55 | < 3   | < 0,0003        | BL               | не более 0,01                       |
|             |   | Hg                                | 23.06.2021 | 16:42:55 | < 4   | < 0,0004        | BL               | не более 0,1                        |
|             |   | Pb                                | 23.06.2021 | 16:42:55 | < 14  | < 0,0014        | BL               | не более 0,1                        |
|             |   | Cr(общий)                         | 23.06.2021 | 16:42:55 | < 16  | < 0,0016        | BL               | не более 0,1                        |
|             |   | Br(общий)                         | 23.06.2021 | 16:42:55 | < 25  | < 0,0025        | BL               | не более 0,1                        |

| № фрагмента | Наименование фрагмента образца                          | Наименование химического элемента | Дата       | Время    | Результат рентгено-флуоресцентной спектрометрии ГОСТ ИЕС 62321-3-1-2016 |                 | Вывод            | Норма по ТР ЕАЭС 037/2016 % весовых |
|-------------|---|-----------------------------------|------------|----------|---|-----------------|------------------|-------------------------------------|
|             |   |                                   |            |          | мг/кг (ppm)   | % весовых       |                  |                                     |
| 54.         | Желтый керамический конденсатор 14K561                  | Cd                                | 23.06.2021 | 16:43:49 | < 3   | < 0,0003        | BL               | не более 0,01                       |
|             |   | Hg                                | 23.06.2021 | 16:43:49 | < 4   | < 0,0004        | BL               | не более 0,1                        |
|             |   | Pb                                | 23.06.2021 | 16:43:49 | 58 ± 10   | 0,0058 ± 0,0010 | BL               | не более 0,1                        |
|             |   | Cr(общий)                         | 23.06.2021 | 16:43:49 | < 16  | < 0,0016        | BL               | не более 0,1                        |
|             |   | Br(общий)                         | 23.06.2021 | 16:43:49 | 423 ± 36  | 0,0423 ± 0,0036 | BL               | не более 0,1                        |
| 55.         | Серебристый металлический вывод конденсатора 14K561     | Cd                                | 23.06.2021 | 16:44:43 | > 183   | > 0,0183        | OL <sup>10</sup> | не более 0,01                       |
|             |   | Hg                                | 23.06.2021 | 16:44:43 | < 4   | < 0,0004        | BL               | не более 0,1                        |
|             |   | Pb                                | 23.06.2021 | 16:44:43 | < 14  | < 0,0014        | BL               | не более 0,1                        |
|             |   | Cr(общий)                         | 23.06.2021 | 16:44:43 | < 16  | < 0,0016        | BL               | не более 0,1                        |
|             |   | Br(общий)                         | 23.06.2021 | 16:44:43 | < 25  | < 0,0025        | BL               | не более 0,1                        |
| 56.         | Черный керамический варистор                            | Cd                                | 23.06.2021 | 16:45:31 | < 3   | < 0,0003        | BL               | не более 0,01                       |
|             |   | Hg                                | 23.06.2021 | 16:45:31 | < 4   | < 0,0004        | BL               | не более 0,1                        |
|             |   | Pb                                | 23.06.2021 | 16:45:31 | 29 ± 8  | 0,0029 ± 0,0008 | BL               | не более 0,1                        |
|             |   | Cr(общий)                         | 23.06.2021 | 16:45:31 | < 16  | < 0,0016        | BL               | не более 0,1                        |
|             |   | Br(общий)                         | 23.06.2021 | 16:45:31 | < 25  | < 0,0025        | BL               | не более 0,1                        |
| 57.         | Серебристый металлический вывод керамического варистора | Cd                                | 23.06.2021 | 16:46:15 | < 3   | < 0,0003        | BL               | не более 0,01                       |
|             |   | Hg                                | 23.06.2021 | 16:46:15 | < 4   | < 0,0004        | BL               | не более 0,1                        |
|             |   | Pb                                | 23.06.2021 | 16:46:15 | < 14  | < 0,0014        | BL               | не более 0,1                        |
|             |   | Cr(общий)                         | 23.06.2021 | 16:46:15 | < 16  | < 0,0016        | BL               | не более 0,1                        |
|             |   | Br(общий)                         | 23.06.2021 | 16:46:15 | < 25  | < 0,0025        | BL               | не более 0,1                        |
| 58.         | Бурая полимерная оболочка пленочного конденсатора       | Cd                                | 23.06.2021 | 16:47:18 | < 3   | < 0,0003        | BL               | не более 0,01                       |
|             |   | Hg                                | 23.06.2021 | 16:47:18 | < 4   | < 0,0004        | BL               | не более 0,1                        |
|             |   | Pb                                | 23.06.2021 | 16:47:18 | 52 ± 7  | 0,0052 ± 0,0007 | BL               | не более 0,1                        |
|             |   | Cr(общий)                         | 23.06.2021 | 16:47:18 | < 16  | < 0,0016        | BL               | не более 0,1                        |
|             |   | Br(общий)                         | 23.06.2021 | 16:47:18 | 494 ± 72  | 0,0494 ± 0,0072 | BL               | не более 0,1                        |
| 59.         | Прозрачная полимерная пленка                            | Cd                                | 23.06.2021 | 16:47:54 | < 3   | < 0,0003        | BL               | не более 0,01                       |
|             |   | Hg                                | 23.06.2021 | 16:47:54 | < 4   | < 0,0004        | BL               | не более 0,1                        |
|             |   | Pb                                | 23.06.2021 | 16:47:54 | < 14  | < 0,0014        | BL               | не более 0,1                        |
|             |   | Cr(общий)                         | 23.06.2021 | 16:47:54 | < 16  | < 0,0016        | BL               | не более 0,1                        |
|             |   | Br(общий)                         | 23.06.2021 | 16:47:54 | < 25  | < 0,0025        | BL               | не более 0,1                        |

| № фрагмента | Наименование фрагмента образца   | Наименование химического элемента | Дата       | Время    | Результат рентгено-флуоресцентной спектрометрии ГОСТ ИЕС 62321-3-1-2016 |                 | Вывод | Норма по ТР ЕАЭС 037/2016 % весовых |
|-------------|--|-----------------------------------|------------|----------|---|-----------------|-------|-------------------------------------|
|             |  |                                   |            |          | мг/кг (ppm)   | % весовых       |       |                                     |
| 60.         | Серебристая металлизированная пленка                                   | Cd                                | 23.06.2021 | 16:48:26 | < 3   | < 0,0003        | BL    | не более 0,01                       |
|             |  | Hg                                | 23.06.2021 | 16:48:26 | < 4   | < 0,0004        | BL    | не более 0,1                        |
|             |  | Pb                                | 23.06.2021 | 16:48:26 | < 14  | < 0,0014        | BL    | не более 0,1                        |
|             |  | Cr(общий)                         | 23.06.2021 | 16:48:26 | < 16  | < 0,0016        | BL    | не более 0,1                        |
|             |  | Br(общий)                         | 23.06.2021 | 16:48:26 | < 25  | < 0,0025        | BL    | не более 0,1                        |
| 61.         | Серебристый металлический вывод  | Cd                                | 24.06.2021 | 8:00:23  | < 3   | < 0,0003        | BL    | не более 0,01                       |
|             |  | Hg                                | 24.06.2021 | 8:00:23  | < 4   | < 0,0004        | BL    | не более 0,1                        |
|             |  | Pb                                | 24.06.2021 | 8:00:23  | < 14  | < 0,0014        | BL    | не более 0,1                        |
|             |  | Cr(общий)                         | 24.06.2021 | 8:00:23  | < 16  | < 0,0016        | BL    | не более 0,1                        |
|             |  | Br(общий)                         | 24.06.2021 | 8:00:23  | < 25  | < 0,0025        | BL    | не более 0,1                        |
| 62.         | Коричневая полимерная оболочка конденсатора электролитического 22 µF   | Cd                                | 24.06.2021 | 8:01:12  | < 3   | < 0,0003        | BL    | не более 0,01                       |
|             |  | Hg                                | 24.06.2021 | 8:01:12  | < 4   | < 0,0004        | BL    | не более 0,1                        |
|             |  | Pb                                | 24.06.2021 | 8:01:12  | < 14  | < 0,0014        | BL    | не более 0,1                        |
|             |  | Cr(общий)                         | 24.06.2021 | 8:01:12  | < 16  | < 0,0016        | BL    | не более 0,1                        |
|             |  | Br(общий)                         | 24.06.2021 | 8:01:12  | 28 ± 4  | 0,0028 ± 0,0004 | BL    | не более 0,1                        |
| 63.         | Серебристый металлический корпус конденсатора электролитического 22 µF | Cd                                | 24.06.2021 | 8:01:35  | < 3   | < 0,0003        | BL    | не более 0,01                       |
|             |  | Hg                                | 24.06.2021 | 8:01:35  | 14 ± 3  | 0,0014 ± 0,0003 | BL    | не более 0,1                        |
|             |  | Pb                                | 24.06.2021 | 8:01:35  | < 14  | < 0,0014        | BL    | не более 0,1                        |
|             |  | Cr(общий)                         | 24.06.2021 | 8:01:35  | 61 ± 17   | 0,0061 ± 0,0017 | BL    | не более 0,1                        |
|             |  | Br(общий)                         | 24.06.2021 | 8:01:35  | < 25  | < 0,0025        | BL    | не более 0,1                        |
| 64.         | Серая металлическая пластина конденсатора электролитического 22 µF     | Cd                                | 24.06.2021 | 8:02:11  | 63 ± 8  | 0,0063 ± 0,0008 | BL    | не более 0,01                       |
|             |  | Hg                                | 24.06.2021 | 8:02:11  | < 4   | < 0,0004        | BL    | не более 0,1                        |
|             |  | Pb                                | 24.06.2021 | 8:02:11  | < 14  | < 0,0014        | BL    | не более 0,1                        |
|             |  | Cr(общий)                         | 24.06.2021 | 8:02:11  | < 16  | < 0,0016        | BL    | не более 0,1                        |
|             |  | Br(общий)                         | 24.06.2021 | 8:02:11  | < 25  | < 0,0025        | BL    | не более 0,1                        |
| 65.         | Серебристая металлическая фольга конденсатора электролитического 22 µF | Cd                                | 24.06.2021 | 8:03:39  | < 3   | < 0,0003        | BL    | не более 0,01                       |
|             |  | Hg                                | 24.06.2021 | 8:03:39  | < 4   | < 0,0004        | BL    | не более 0,1                        |
|             |  | Pb                                | 24.06.2021 | 8:03:39  | 78 ± 15   | 0,0078 ± 0,0015 | BL    | не более 0,1                        |
|             |  | Cr(общий)                         | 24.06.2021 | 8:03:39  | 226 ± 26  | 0,0226 ± 0,0026 | BL    | не более 0,1                        |
|             |  | Br(общий)                         | 24.06.2021 | 8:03:39  | 24 ± 4  | 0,0024 ± 0,0004 | BL    | не более 0,1                        |



| № фрагмента | Наименование фрагмента образца  | Наименование химического элемента | Дата       | Время   | Результат рентгено-флуоресцентной спектрометрии ГОСТ ИЕС 62321-3-1-2016 |                 | Вывод            | Норма по ТР ЕАЭС 037/2016 % весовых |
|-------------|---|-----------------------------------|------------|---------|---|-----------------|------------------|-------------------------------------|
|             |   |                                   |            |         | мг/кг (ppm)   | % весовых       |                  |                                     |
| 66.         | Коричневая изолирующая бумага конденсатора электролитического 22 µF   | Cd                                | 24.06.2021 | 8:04:23 | 28 ± 6  | 0,0028 ± 0,0006 | BL               | не более 0,01                       |
|             |   | Hg                                | 24.06.2021 | 8:04:23 | < 4   | < 0,0004        | BL               | не более 0,1                        |
|             |   | Pb                                | 24.06.2021 | 8:04:23 | < 14  | < 0,0014        | BL               | не более 0,1                        |
|             |   | Cr(общий)                         | 24.06.2021 | 8:04:23 | < 16  | < 0,0016        | BL               | не более 0,1                        |
|             |   | Br(общий)                         | 24.06.2021 | 8:04:23 | < 25  | < 0,0025        | BL               | не более 0,1                        |
| 67.         | Черная полимерная крышка конденсатора электролитического 22 µF        | Cd                                | 24.06.2021 | 8:04:59 | < 3   | < 0,0003        | BL               | не более 0,01                       |
|             |   | Hg                                | 24.06.2021 | 8:04:59 | < 4   | < 0,0004        | BL               | не более 0,1                        |
|             |   | Pb                                | 24.06.2021 | 8:04:59 | < 14  | < 0,0014        | BL               | не более 0,1                        |
|             |   | Cr(общий)                         | 24.06.2021 | 8:04:59 | < 16  | < 0,0016        | BL               | не более 0,1                        |
|             |   | Br(общий)                         | 24.06.2021 | 8:04:59 | < 25  | < 0,0025        | BL               | не более 0,1                        |
| 68.         | Серебристый металлический вывод конденсатора электролитического 22 µF | Cd                                | 24.06.2021 | 8:05:47 | > 183   | > 0,0183        | OL <sup>10</sup> | не более 0,01                       |
|             |   | Hg                                | 24.06.2021 | 8:05:47 | < 4   | < 0,0004        | BL               | не более 0,1                        |
|             |   | Pb                                | 24.06.2021 | 8:05:47 | < 14  | < 0,0014        | BL               | не более 0,1                        |
|             |   | Cr(общий)                         | 24.06.2021 | 8:05:47 | < 16  | < 0,0016        | BL               | не более 0,1                        |
|             |   | Br(общий)                         | 24.06.2021 | 8:05:47 | < 25  | < 0,0025        | BL               | не более 0,1                        |
| 69.         | Черный многокомпонентный элемент                                      | Cd                                | 24.06.2021 | 8:07:12 | < 3   | < 0,0003        | BL               | не более 0,01                       |
|             |   | Hg                                | 24.06.2021 | 8:07:12 | < 4   | < 0,0004        | BL               | не более 0,1                        |
|             |   | Pb                                | 24.06.2021 | 8:07:12 | 39 ± 12   | 0,0039 ± 0,0012 | BL               | не более 0,1                        |
|             |   | Cr(общий)                         | 24.06.2021 | 8:07:12 | < 16  | < 0,0016        | BL               | не более 0,1                        |
|             |   | Br(общий)                         | 24.06.2021 | 8:07:12 | 47 ± 8  | 0,0047 ± 0,0008 | BL               | не более 0,1                        |
| 70.         | Серебристый металлический вывод многокомпонентного элемента           | Cd                                | 24.06.2021 | 8:07:38 | < 3   | < 0,0003        | BL               | не более 0,01                       |
|             |   | Hg                                | 24.06.2021 | 8:07:38 | < 4   | < 0,0004        | BL               | не более 0,1                        |
|             |   | Pb                                | 24.06.2021 | 8:07:38 | < 14  | < 0,0014        | BL               | не более 0,1                        |
|             |   | Cr(общий)                         | 24.06.2021 | 8:07:38 | < 16  | < 0,0016        | BL               | не более 0,1                        |
|             |   | Br(общий)                         | 24.06.2021 | 8:07:38 | < 25  | < 0,0025        | BL               | не более 0,1                        |
| 71.         | Серый полимерный компаунд   | Cd                                | 24.06.2021 | 8:08:55 | < 3   | < 0,0003        | BL               | не более 0,01                       |
|             |   | Hg                                | 24.06.2021 | 8:08:55 | < 4   | < 0,0004        | BL               | не более 0,1                        |
|             |   | Pb                                | 24.06.2021 | 8:08:55 | < 14  | < 0,0014        | BL               | не более 0,1                        |
|             |   | Cr(общий)                         | 24.06.2021 | 8:08:55 | < 16  | < 0,0016        | BL               | не более 0,1                        |
|             |   | Br(общий)                         | 24.06.2021 | 8:08:55 | < 25  | < 0,0025        | BL               | не более 0,1                        |

| № фрагмента | Наименование фрагмента образца         | Наименование химического элемента | Дата       | Время   | Результат рентгено-флуоресцентной спектрометрии ГОСТ ИЕС 62321-3-1-2016 |                 | Вывод | Норма по ТР ЕАЭС 037/2016 % весовых |
|-------------|--|-----------------------------------|------------|---------|---|-----------------|-------|-------------------------------------|
|             |  |                                   |            |         | мг/кг (ppm)   | % весовых       |       |                                     |
| 72.         | Красный полимерный самоклеящийся скотч | Cd                                | 24.06.2021 | 8:09:27 | < 3   | < 0,0003        | BL    | не более 0,01                       |
|             |  | Hg                                | 24.06.2021 | 8:09:27 | < 4   | < 0,0004        | BL    | не более 0,1                        |
|             |  | Pb                                | 24.06.2021 | 8:09:27 | < 14  | < 0,0014        | BL    | не более 0,1                        |
|             |  | Cr(общий)                         | 24.06.2021 | 8:09:27 | < 16  | < 0,0016        | BL    | не более 0,1                        |
|             |  | Br(общий)                         | 24.06.2021 | 8:09:27 | < 25  | < 0,0025        | BL    | не более 0,1                        |
| 73.         | Черный ферритовый сердечник            | Cd                                | 24.06.2021 | 8:10:02 | < 3   | < 0,0003        | BL    | не более 0,01                       |
|             |  | Hg                                | 24.06.2021 | 8:10:02 | < 4   | < 0,0004        | BL    | не более 0,1                        |
|             |  | Pb                                | 24.06.2021 | 8:10:02 | < 14  | < 0,0014        | BL    | не более 0,1                        |
|             |  | Cr(общий)                         | 24.06.2021 | 8:10:02 | 545 ± 70  | 0,0545 ± 0,0070 | BL    | не более 0,1                        |
|             |  | Br(общий)                         | 24.06.2021 | 8:10:02 | < 25  | < 0,0025        | BL    | не более 0,1                        |
| 74.         | Черный полимерный корпус               | Cd                                | 24.06.2021 | 8:10:43 | < 3   | < 0,0003        | BL    | не более 0,01                       |
|             |  | Hg                                | 24.06.2021 | 8:10:43 | < 4   | < 0,0004        | BL    | не более 0,1                        |
|             |  | Pb                                | 24.06.2021 | 8:10:43 | < 14  | < 0,0014        | BL    | не более 0,1                        |
|             |  | Cr(общий)                         | 24.06.2021 | 8:10:43 | < 16  | < 0,0016        | BL    | не более 0,1                        |
|             |  | Br(общий)                         | 24.06.2021 | 8:10:43 | 138 ± 8   | 0,0138 ± 0,0008 | BL    | не более 0,1                        |
| 75.         | Зеленый полимерный самоклеящийся скотч | Cd                                | 24.06.2021 | 8:11:04 | < 3   | < 0,0003        | BL    | не более 0,01                       |
|             |  | Hg                                | 24.06.2021 | 8:11:04 | < 4   | < 0,0004        | BL    | не более 0,1                        |
|             |  | Pb                                | 24.06.2021 | 8:11:04 | < 14  | < 0,0014        | BL    | не более 0,1                        |
|             |  | Cr(общий)                         | 24.06.2021 | 8:11:04 | < 16  | < 0,0016        | BL    | не более 0,1                        |
|             |  | Br(общий)                         | 24.06.2021 | 8:11:04 | < 25  | < 0,0025        | BL    | не более 0,1                        |
| 76.         | Золотистый металлический проводник     | Cd                                | 24.06.2021 | 8:11:38 | < 3   | < 0,0003        | BL    | не более 0,01                       |
|             |  | Hg                                | 24.06.2021 | 8:11:38 | < 4   | < 0,0004        | BL    | не более 0,1                        |
|             |  | Pb                                | 24.06.2021 | 8:11:38 | < 14  | < 0,0014        | BL    | не более 0,1                        |
|             |  | Cr(общий)                         | 24.06.2021 | 8:11:38 | < 16  | < 0,0016        | BL    | не более 0,1                        |
|             |  | Br(общий)                         | 24.06.2021 | 8:11:38 | < 25  | < 0,0025        | BL    | не более 0,1                        |
| 77.         | Серебристый металлический вывод        | Cd                                | 24.06.2021 | 8:12:24 | < 3   | < 0,0003        | BL    | не более 0,01                       |
|             |  | Hg                                | 24.06.2021 | 8:12:24 | < 4   | < 0,0004        | BL    | не более 0,1                        |
|             |  | Pb                                | 24.06.2021 | 8:12:24 | < 14  | < 0,0014        | BL    | не более 0,1                        |
|             |  | Cr(общий)                         | 24.06.2021 | 8:12:24 | < 16  | < 0,0016        | BL    | не более 0,1                        |
|             |  | Br(общий)                         | 24.06.2021 | 8:12:24 | < 25  | < 0,0025        | BL    | не более 0,1                        |

| № фрагмента | Наименование фрагмента образца             | Наименование химического элемента | Дата       | Время   | Результат рентгено-флуоресцентной спектрометрии ГОСТ ИЕС 62321-3-1-2016 |                 | Вывод            | Норма по ТР ЕАЭС 037/2016 % весовых |
|-------------|--|-----------------------------------|------------|---------|---|-----------------|------------------|-------------------------------------|
|             |  |                                   |            |         | мг/кг (ppm)   | % весовых       |                  |                                     |
| 78.         | Красный светодиод                          | Cd                                | 24.06.2021 | 8:13:14 | < 3   | < 0,0003        | BL               | не более 0,01                       |
|             |  | Hg                                | 24.06.2021 | 8:13:14 | < 4   | < 0,0004        | BL               | не более 0,1                        |
|             |  | Pb                                | 24.06.2021 | 8:13:14 | < 14  | < 0,0014        | BL               | не более 0,1                        |
|             |  | Cr(общий)                         | 24.06.2021 | 8:13:14 | < 16  | < 0,0016        | BL               | не более 0,1                        |
|             |  | Br(общий)                         | 24.06.2021 | 8:13:14 | < 25  | < 0,0025        | BL               | не более 0,1                        |
| 79.         | Серебристый металлический вывод светодиода | Cd                                | 24.06.2021 | 8:14:11 | > 183   | > 0,0183        | OL <sup>10</sup> | не более 0,01                       |
|             |  | Hg                                | 24.06.2021 | 8:14:11 | < 4   | < 0,0004        | BL               | не более 0,1                        |
|             |  | Pb                                | 24.06.2021 | 8:14:11 | < 14  | < 0,0014        | BL               | не более 0,1                        |
|             |  | Cr(общий)                         | 24.06.2021 | 8:14:11 | < 16  | < 0,0016        | BL               | не более 0,1                        |
|             |  | Br(общий)                         | 24.06.2021 | 8:14:11 | < 25  | < 0,0025        | BL               | не более 0,1                        |
| 80.         | Белый полимерный самоклеящийся скотч       | Cd                                | 24.06.2021 | 8:14:54 | < 3   | < 0,0003        | BL               | не более 0,01                       |
|             |  | Hg                                | 24.06.2021 | 8:14:54 | < 4   | < 0,0004        | BL               | не более 0,1                        |
|             |  | Pb                                | 24.06.2021 | 8:14:54 | < 14  | < 0,0014        | BL               | не более 0,1                        |
|             |  | Cr(общий)                         | 24.06.2021 | 8:14:54 | < 16  | < 0,0016        | BL               | не более 0,1                        |
|             |  | Br(общий)                         | 24.06.2021 | 8:14:54 | < 25  | < 0,0025        | BL               | не более 0,1                        |
| 81.         | Черный ферритовый сердечник                | Cd                                | 24.06.2021 | 8:15:30 | < 3   | < 0,0003        | BL               | не более 0,01                       |
|             |  | Hg                                | 24.06.2021 | 8:15:30 | < 4   | < 0,0004        | BL               | не более 0,1                        |
|             |  | Pb                                | 24.06.2021 | 8:15:30 | < 14  | < 0,0014        | BL               | не более 0,1                        |
|             |  | Cr(общий)                         | 24.06.2021 | 8:15:30 | 419 ± 68  | 0,0419 ± 0,0068 | BL               | не более 0,1                        |
|             |  | Br(общий)                         | 24.06.2021 | 8:15:30 | < 25  | < 0,0025        | BL               | не более 0,1                        |
| 82.         | Черный полимерный корпус                   | Cd                                | 24.06.2021 | 8:16:18 | < 3   | < 0,0003        | BL               | не более 0,01                       |
|             |  | Hg                                | 24.06.2021 | 8:16:18 | < 4   | < 0,0004        | BL               | не более 0,1                        |
|             |  | Pb                                | 24.06.2021 | 8:16:18 | < 14  | < 0,0014        | BL               | не более 0,1                        |
|             |  | Cr(общий)                         | 24.06.2021 | 8:16:18 | < 16  | < 0,0016        | BL               | не более 0,1                        |
|             |  | Br(общий)                         | 24.06.2021 | 8:16:18 | 448 ± 82  | 0,0448 ± 0,0082 | BL               | не более 0,1                        |
| 83.         | Золотистый металлический проводник         | Cd                                | 24.06.2021 | 8:16:51 | < 3   | < 0,0003        | BL               | не более 0,01                       |
|             |  | Hg                                | 24.06.2021 | 8:16:51 | < 4   | < 0,0004        | BL               | не более 0,1                        |
|             |  | Pb                                | 24.06.2021 | 8:16:51 | < 14  | < 0,0014        | BL               | не более 0,1                        |
|             |  | Cr(общий)                         | 24.06.2021 | 8:16:51 | < 16  | < 0,0016        | BL               | не более 0,1                        |
|             |  | Br(общий)                         | 24.06.2021 | 8:16:51 | < 25  | < 0,0025        | BL               | не более 0,1                        |

| № фрагмента | Наименование фрагмента образца                                 | Наименование химического элемента | Дата       | Время   | Результат рентгено-флуоресцентной спектрометрии ГОСТ ИЕС 62321-3-1-2016 |                 | Вывод            | Норма по ТР ЕАЭС 037/2016 % весовых |
|-------------|--|-----------------------------------|------------|---------|---|-----------------|------------------|-------------------------------------|
|             |  |                                   |            |         | мг/кг (ppm)   | % весовых       |                  |                                     |
| 84.         | Белый полимерный самоклеящийся скотч                           | Cd                                | 24.06.2021 | 8:17:39 | < 3   | < 0,0003        | BL               | не более 0,01                       |
|             |  | Hg                                | 24.06.2021 | 8:17:39 | < 4   | < 0,0004        | BL               | не более 0,1                        |
|             |  | Pb                                | 24.06.2021 | 8:17:39 | < 14  | < 0,0014        | BL               | не более 0,1                        |
|             |  | Cr(общий)                         | 24.06.2021 | 8:17:39 | < 16  | < 0,0016        | BL               | не более 0,1                        |
|             |  | Br(общий)                         | 24.06.2021 | 8:17:39 | < 25  | < 0,0025        | BL               | не более 0,1                        |
| 85.         | Серебристый металлический вывод                                | Cd                                | 24.06.2021 | 8:18:16 | > 183   | > 0,0183        | OL <sup>10</sup> | не более 0,01                       |
|             |  | Hg                                | 24.06.2021 | 8:18:16 | < 4   | < 0,0004        | BL               | не более 0,1                        |
|             |  | Pb                                | 24.06.2021 | 8:18:16 | < 14  | < 0,0014        | BL               | не более 0,1                        |
|             |  | Cr(общий)                         | 24.06.2021 | 8:18:16 | < 16  | < 0,0016        | BL               | не более 0,1                        |
|             |  | Br(общий)                         | 24.06.2021 | 8:18:16 | < 25  | < 0,0025        | BL               | не более 0,1                        |
| 86.         | Серебристый металлический радиатор                             | Cd                                | 24.06.2021 | 8:19:18 | 22 ± 4  | 0,0022 ± 0,0004 | BL               | не более 0,01                       |
|             |  | Hg                                | 24.06.2021 | 8:19:18 | < 4   | < 0,0004        | BL               | не более 0,1                        |
|             |  | Pb                                | 24.06.2021 | 8:19:18 | < 14  | < 0,0014        | BL               | не более 0,1                        |
|             |  | Cr(общий)                         | 24.06.2021 | 8:19:18 | 65 ± 16   | 0,0065 ± 0,0016 | BL               | не более 0,1                        |
|             |  | Br(общий)                         | 24.06.2021 | 8:19:18 | < 25  | < 0,0025        | BL               | не более 0,1                        |
| 87.         | Серебристый металлический винт с полукруглой головкой, шлиц PH | Cd                                | 24.06.2021 | 8:19:54 | 22 ± 4  | 0,0022 ± 0,0004 | BL               | не более 0,01                       |
|             |  | Hg                                | 24.06.2021 | 8:19:54 | < 4   | < 0,0004        | BL               | не более 0,1                        |
|             |  | Pb                                | 24.06.2021 | 8:19:54 | < 14  | < 0,0014        | BL               | не более 0,1                        |
|             |  | Cr(общий)                         | 24.06.2021 | 8:19:54 | 65 ± 16   | 0,0065 ± 0,0016 | BL               | не более 0,1                        |
|             |  | Br(общий)                         | 24.06.2021 | 8:19:54 | < 25  | < 0,0025        | BL               | не более 0,1                        |
| 88.         | Серебристая металлическая шайба                                | Cd                                | 24.06.2021 | 8:20:13 | < 3   | < 0,0003        | BL               | не более 0,01                       |
|             |  | Hg                                | 24.06.2021 | 8:20:13 | < 4   | < 0,0004        | BL               | не более 0,1                        |
|             |  | Pb                                | 24.06.2021 | 8:20:13 | < 14  | < 0,0014        | BL               | не более 0,1                        |
|             |  | Cr(общий)                         | 24.06.2021 | 8:20:13 | < 16  | < 0,0016        | BL               | не более 0,1                        |
|             |  | Br(общий)                         | 24.06.2021 | 8:20:13 | < 25  | < 0,0025        | BL               | не более 0,1                        |
| 89.         | Черная микросхема GK1W0  | Cd                                | 24.06.2021 | 8:21:10 | 28 ± 9  | 0,0028 ± 0,0009 | BL               | не более 0,01                       |
|             |  | Hg                                | 24.06.2021 | 8:21:10 | < 4   | < 0,0004        | BL               | не более 0,1                        |
|             |  | Pb                                | 24.06.2021 | 8:21:10 | < 14  | < 0,0014        | BL               | не более 0,1                        |
|             |  | Cr(общий)                         | 24.06.2021 | 8:21:10 | < 16  | < 0,0016        | BL               | не более 0,1                        |
|             |  | Br(общий)                         | 24.06.2021 | 8:21:10 | < 25  | < 0,0025        | BL               | не более 0,1                        |

| № фрагмента | Наименование фрагмента образца                                 | Наименование химического элемента | Дата       | Время   | Результат рентгено-флуоресцентной спектрометрии ГОСТ ИЕС 62321-3-1-2016 |                 | Вывод | Норма по ТР ЕАЭС 037/2016 % весовых |
|-------------|--|-----------------------------------|------------|---------|---|-----------------|-------|-------------------------------------|
|             |  |                                   |            |         | мг/кг (ppm)   | % весовых       |       |                                     |
| 90.         | Серебристый металлический вывод микросхемы GK1W0               | Cd                                | 24.06.2021 | 8:21:48 | < 3   | < 0,0003        | BL    | не более 0,01                       |
|             |  | Hg                                | 24.06.2021 | 8:21:48 | < 4   | < 0,0004        | BL    | не более 0,1                        |
|             |  | Pb                                | 24.06.2021 | 8:21:48 | 123 ± 35  | 0,0123 ± 0,0035 | BL    | не более 0,1                        |
|             |  | Cr(общий)                         | 24.06.2021 | 8:21:48 | < 16  | < 0,0016        | BL    | не более 0,1                        |
|             |  | Br(общий)                         | 24.06.2021 | 8:21:48 | < 25  | < 0,0025        | BL    | не более 0,1                        |
| 91.         | Черная микросхема SPL20G                                       | Cd                                | 24.06.2021 | 8:22:47 | < 3   | < 0,0003        | BL    | не более 0,01                       |
|             |  | Hg                                | 24.06.2021 | 8:22:47 | < 4   | < 0,0004        | BL    | не более 0,1                        |
|             |  | Pb                                | 24.06.2021 | 8:22:47 | < 14  | < 0,0014        | BL    | не более 0,1                        |
|             |  | Cr(общий)                         | 24.06.2021 | 8:22:47 | < 16  | < 0,0016        | BL    | не более 0,1                        |
|             |  | Br(общий)                         | 24.06.2021 | 8:22:47 | < 25  | < 0,0025        | BL    | не более 0,1                        |
| 92.         | Серебристый металлический вывод микросхемы SPL20G              | Cd                                | 24.06.2021 | 8:23:30 | < 3   | < 0,0003        | BL    | не более 0,01                       |
|             |  | Hg                                | 24.06.2021 | 8:23:30 | < 4   | < 0,0004        | BL    | не более 0,1                        |
|             |  | Pb                                | 24.06.2021 | 8:23:30 | < 14  | < 0,0014        | BL    | не более 0,1                        |
|             |  | Cr(общий)                         | 24.06.2021 | 8:23:30 | < 16  | < 0,0016        | BL    | не более 0,1                        |
|             |  | Br(общий)                         | 24.06.2021 | 8:23:30 | < 25  | < 0,0025        | BL    | не более 0,1                        |
| 93.         | Черный многокомпонентный элемент А6                            | Cd                                | 24.06.2021 | 8:24:19 | < 3   | < 0,0003        | BL    | не более 0,01                       |
|             |  | Hg                                | 24.06.2021 | 8:24:19 | 15 ± 3  | 0,0015 ± 0,0003 | BL    | не более 0,1                        |
|             |  | Pb                                | 24.06.2021 | 8:24:19 | < 14  | < 0,0014        | BL    | не более 0,1                        |
|             |  | Cr(общий)                         | 24.06.2021 | 8:24:19 | < 16  | < 0,0016        | BL    | не более 0,1                        |
|             |  | Br(общий)                         | 24.06.2021 | 8:24:19 | < 25  | < 0,0025        | BL    | не более 0,1                        |
| 94.         | Серебристый металлический вывод многокомпонентного элемента А6 | Cd                                | 24.06.2021 | 8:24:53 | < 3   | < 0,0003        | BL    | не более 0,01                       |
|             |  | Hg                                | 24.06.2021 | 8:24:53 | < 4   | < 0,0004        | BL    | не более 0,1                        |
|             |  | Pb                                | 24.06.2021 | 8:24:53 | < 14  | < 0,0014        | BL    | не более 0,1                        |
|             |  | Cr(общий)                         | 24.06.2021 | 8:24:53 | < 16  | < 0,0016        | BL    | не более 0,1                        |
|             |  | Br(общий)                         | 24.06.2021 | 8:24:53 | < 25  | < 0,0025        | BL    | не более 0,1                        |
| 95.         | Черный многокомпонентный элемент J50                           | Cd                                | 24.06.2021 | 8:25:41 | < 3   | < 0,0003        | BL    | не более 0,01                       |
|             |  | Hg                                | 24.06.2021 | 8:25:41 | 17 ± 5  | 0,0017 ± 0,0005 | BL    | не более 0,1                        |
|             |  | Pb                                | 24.06.2021 | 8:25:41 | < 14  | < 0,0014        | BL    | не более 0,1                        |
|             |  | Cr(общий)                         | 24.06.2021 | 8:25:41 | < 16  | < 0,0016        | BL    | не более 0,1                        |
|             |  | Br(общий)                         | 24.06.2021 | 8:25:41 | < 25  | < 0,0025        | BL    | не более 0,1                        |

| № фрагмента | Наименование фрагмента образца                                  | Наименование химического элемента | Дата       | Время   | Результат рентгено-флуоресцентной спектрометрии ГОСТ ИЕС 62321-3-1-2016 |                 | Вывод            | Норма по ТР ЕАЭС 037/2016 % весовых |
|-------------|---|-----------------------------------|------------|---------|---|-----------------|------------------|-------------------------------------|
|             |   |                                   |            |         | мг/кг (ppm)   | % весовых       |                  |                                     |
| 96.         | Серебристый металлический вывод многокомпонентного элемента J50 | Cd                                | 24.06.2021 | 8:26:53 | > 183   | > 0,0183        | OL <sup>10</sup> | не более 0,01                       |
|             |   | Hg                                | 24.06.2021 | 8:26:53 | < 4   | < 0,0004        | BL               | не более 0,1                        |
|             |   | Pb                                | 24.06.2021 | 8:26:53 | < 14  | < 0,0014        | BL               | не более 0,1                        |
|             |   | Cr(общий)                         | 24.06.2021 | 8:26:53 | < 16  | < 0,0016        | BL               | не более 0,1                        |
|             |   | Br(общий)                         | 24.06.2021 | 8:26:53 | < 25  | < 0,0025        | BL               | не более 0,1                        |
| 97.         | Черный многокомпонентный элемент                                | Cd                                | 24.06.2021 | 8:28:04 | < 3   | < 0,0003        | BL               | не более 0,01                       |
|             |   | Hg                                | 24.06.2021 | 8:28:04 | < 4   | < 0,0004        | BL               | не более 0,1                        |
|             |   | Pb                                | 24.06.2021 | 8:28:04 | < 14  | < 0,0014        | BL               | не более 0,1                        |
|             |   | Cr(общий)                         | 24.06.2021 | 8:28:04 | < 16  | < 0,0016        | BL               | не более 0,1                        |
|             |   | Br(общий)                         | 24.06.2021 | 8:28:04 | < 25  | < 0,0025        | BL               | не более 0,1                        |
| 98.         | Серебристый металлический вывод многокомпонентного элемента     | Cd                                | 24.06.2021 | 8:28:55 | > 183   | > 0,0183        | OL <sup>10</sup> | не более 0,01                       |
|             |   | Hg                                | 24.06.2021 | 8:28:55 | < 4   | < 0,0004        | BL               | не более 0,1                        |
|             |   | Pb                                | 24.06.2021 | 8:28:55 | < 14  | < 0,0014        | BL               | не более 0,1                        |
|             |   | Cr(общий)                         | 24.06.2021 | 8:28:55 | < 16  | < 0,0016        | BL               | не более 0,1                        |
|             |   | Br(общий)                         | 24.06.2021 | 8:28:55 | < 25  | < 0,0025        | BL               | не более 0,1                        |
| 99.         | Черный многокомпонентный элемент 1AM                            | Cd                                | 24.06.2021 | 8:29:46 | < 3   | < 0,0003        | BL               | не более 0,01                       |
|             |   | Hg                                | 24.06.2021 | 8:29:46 | 7 ± 2   | 0,0007 ± 0,0002 | BL               | не более 0,1                        |
|             |   | Pb                                | 24.06.2021 | 8:29:46 | < 14  | < 0,0014        | BL               | не более 0,1                        |
|             |   | Cr(общий)                         | 24.06.2021 | 8:29:46 | < 16  | < 0,0016        | BL               | не более 0,1                        |
|             |   | Br(общий)                         | 24.06.2021 | 8:29:46 | < 25  | < 0,0025        | BL               | не более 0,1                        |
| 100.        | Серебристый металлический вывод многокомпонентного элемента 1AM | Cd                                | 24.06.2021 | 8:30:21 | < 3   | < 0,0003        | BL               | не более 0,01                       |
|             |   | Hg                                | 24.06.2021 | 8:30:21 | < 4   | < 0,0004        | BL               | не более 0,1                        |
|             |   | Pb                                | 24.06.2021 | 8:30:21 | < 14  | < 0,0014        | BL               | не более 0,1                        |
|             |   | Cr(общий)                         | 24.06.2021 | 8:30:21 | < 16  | < 0,0016        | BL               | не более 0,1                        |
|             |   | Br(общий)                         | 24.06.2021 | 8:30:21 | < 25  | < 0,0025        | BL               | не более 0,1                        |
| 101.        | Черный многокомпонентный элемент US                             | Cd                                | 24.06.2021 | 8:31:08 | < 3   | < 0,0003        | BL               | не более 0,01                       |
|             |   | Hg                                | 24.06.2021 | 8:31:08 | < 4   | < 0,0004        | BL               | не более 0,1                        |
|             |   | Pb                                | 24.06.2021 | 8:31:08 | < 14  | < 0,0014        | BL               | не более 0,1                        |
|             |   | Cr(общий)                         | 24.06.2021 | 8:31:08 | < 16  | < 0,0016        | BL               | не более 0,1                        |
|             |   | Br(общий)                         | 24.06.2021 | 8:31:08 | < 25  | < 0,0025        | BL               | не более 0,1                        |



| № фрагмента | Наименование фрагмента образца                                    | Наименование химического элемента | Дата       | Время   | Результат рентгено-флуоресцентной спектрометрии ГОСТ ИЕС 62321-3-1-2016 |                 | Вывод            | Норма по ТР ЕАЭС 037/2016 % весовых |
|-------------|---|-----------------------------------|------------|---------|---|-----------------|------------------|-------------------------------------|
|             |   |                                   |            |         | мг/кг (ppm)   | % весовых       |                  |                                     |
| 102.        | Серебристый металлический вывод многокомпонентного элемента US    | Cd                                | 24.06.2021 | 8:31:51 | < 3   | < 0,0003        | BL               | не более 0,01                       |
|             |   | Hg                                | 24.06.2021 | 8:31:51 | < 4   | < 0,0004        | BL               | не более 0,1                        |
|             |   | Pb                                | 24.06.2021 | 8:31:51 | < 14  | < 0,0014        | BL               | не более 0,1                        |
|             |   | Cr(общий)                         | 24.06.2021 | 8:31:51 | < 16  | < 0,0016        | BL               | не более 0,1                        |
|             |   | Br(общий)                         | 24.06.2021 | 8:31:51 | < 25  | < 0,0025        | BL               | не более 0,1                        |
| 103.        | Черный многокомпонентный элемент                                  | Cd                                | 24.06.2021 | 8:32:36 | < 3   | < 0,0003        | BL               | не более 0,01                       |
|             |   | Hg                                | 24.06.2021 | 8:32:36 | 50 ± 16   | 0,0050 ± 0,0016 | BL               | не более 0,1                        |
|             |   | Pb                                | 24.06.2021 | 8:32:36 | < 14  | < 0,0014        | BL               | не более 0,1                        |
|             |   | Cr(общий)                         | 24.06.2021 | 8:32:36 | 676 ± 175   | 0,0676 ± 0,0175 | BL               | не более 0,1                        |
|             |   | Br(общий)                         | 24.06.2021 | 8:32:36 | < 25  | < 0,0025        | BL               | не более 0,1                        |
| 104.        | Серебристый металлический вывод многокомпонентного элемента       | Cd                                | 24.06.2021 | 8:32:58 | > 183   | > 0,0183        | OL <sup>10</sup> | не более 0,01                       |
|             |   | Hg                                | 24.06.2021 | 8:32:58 | < 4   | < 0,0004        | BL               | не более 0,1                        |
|             |   | Pb                                | 24.06.2021 | 8:32:58 | < 14  | < 0,0014        | BL               | не более 0,1                        |
|             |   | Cr(общий)                         | 24.06.2021 | 8:32:58 | < 16  | < 0,0016        | BL               | не более 0,1                        |
|             |   | Br(общий)                         | 24.06.2021 | 8:32:58 | < 25  | < 0,0025        | BL               | не более 0,1                        |
| 105.        | Черный многокомпонентный элемент F1700                            | Cd                                | 24.06.2021 | 8:33:44 | < 3   | < 0,0003        | BL               | не более 0,01                       |
|             |   | Hg                                | 24.06.2021 | 8:33:44 | < 4   | < 0,0004        | BL               | не более 0,1                        |
|             |   | Pb                                | 24.06.2021 | 8:33:44 | < 14  | < 0,0014        | BL               | не более 0,1                        |
|             |   | Cr(общий)                         | 24.06.2021 | 8:33:44 | < 16  | < 0,0016        | BL               | не более 0,1                        |
|             |   | Br(общий)                         | 24.06.2021 | 8:33:44 | < 25  | < 0,0025        | BL               | не более 0,1                        |
| 106.        | Серебристый металлический вывод многокомпонентного элемента F1700 | Cd                                | 24.06.2021 | 8:34:19 | > 183   | > 0,0183        | OL <sup>10</sup> | не более 0,01                       |
|             |   | Hg                                | 24.06.2021 | 8:34:19 | < 4   | < 0,0004        | BL               | не более 0,1                        |
|             |   | Pb                                | 24.06.2021 | 8:34:19 | < 14  | < 0,0014        | BL               | не более 0,1                        |
|             |   | Cr(общий)                         | 24.06.2021 | 8:34:19 | < 16  | < 0,0016        | BL               | не более 0,1                        |
|             |   | Br(общий)                         | 24.06.2021 | 8:34:19 | < 25  | < 0,0025        | BL               | не более 0,1                        |
| 107.        | Черный многокомпонентный элемент L25                              | Cd                                | 24.06.2021 | 8:35:07 | < 3   | < 0,0003        | BL               | не более 0,01                       |
|             |   | Hg                                | 24.06.2021 | 8:35:07 | < 4   | < 0,0004        | BL               | не более 0,1                        |
|             |   | Pb                                | 24.06.2021 | 8:35:07 | < 14  | < 0,0014        | BL               | не более 0,1                        |
|             |   | Cr(общий)                         | 24.06.2021 | 8:35:07 | < 16  | < 0,0016        | BL               | не более 0,1                        |
|             |   | Br(общий)                         | 24.06.2021 | 8:35:07 | < 25  | < 0,0025        | BL               | не более 0,1                        |

| № фрагмента | Наименование фрагмента образца                                  | Наименование химического элемента | Дата       | Время   | Результат рентгено-флуоресцентной спектрометрии ГОСТ ИЕС 62321-3-1-2016 |                 | Вывод            | Норма по ТР ЕАЭС 037/2016 % весовых |
|-------------|---|-----------------------------------|------------|---------|---|-----------------|------------------|-------------------------------------|
|             |   |                                   |            |         | мг/кг (ppm)   | % весовых       |                  |                                     |
| 108.        | Серебристый металлический вывод многокомпонентного элемента L25 | Cd                                | 24.06.2021 | 8:35:39 | < 3   | < 0,0003        | BL               | не более 0,01                       |
|             |   | Hg                                | 24.06.2021 | 8:35:39 | < 4   | < 0,0004        | BL               | не более 0,1                        |
|             |   | Pb                                | 24.06.2021 | 8:35:39 | < 14  | < 0,0014        | BL               | не более 0,1                        |
|             |   | Cr(общий)                         | 24.06.2021 | 8:35:39 | < 16  | < 0,0016        | BL               | не более 0,1                        |
|             |   | Br(общий)                         | 24.06.2021 | 8:35:39 | < 25  | < 0,0025        | BL               | не более 0,1                        |
| 109.        | Черный многокомпонентный элемент 560                            | Cd                                | 24.06.2021 | 8:36:28 | < 3   | < 0,0003        | BL               | не более 0,01                       |
|             |   | Hg                                | 24.06.2021 | 8:36:28 | < 4   | < 0,0004        | BL               | не более 0,1                        |
|             |   | Pb                                | 24.06.2021 | 8:36:28 | < 14  | < 0,0014        | BL               | не более 0,1                        |
|             |   | Cr(общий)                         | 24.06.2021 | 8:36:28 | < 16  | < 0,0016        | BL               | не более 0,1                        |
|             |   | Br(общий)                         | 24.06.2021 | 8:36:28 | < 25  | < 0,0025        | BL               | не более 0,1                        |
| 110.        | Серебристый металлический вывод многокомпонентного элемента 560 | Cd                                | 24.06.2021 | 8:37:03 | > 183   | > 0,0183        | OL <sup>10</sup> | не более 0,01                       |
|             |   | Hg                                | 24.06.2021 | 8:37:03 | < 4   | < 0,0004        | BL               | не более 0,1                        |
|             |   | Pb                                | 24.06.2021 | 8:37:03 | < 14  | < 0,0014        | BL               | не более 0,1                        |
|             |   | Cr(общий)                         | 24.06.2021 | 8:37:03 | < 16  | < 0,0016        | BL               | не более 0,1                        |
|             |   | Br(общий)                         | 24.06.2021 | 8:37:03 | < 25  | < 0,0025        | BL               | не более 0,1                        |
| 111.        | Черный многокомпонентный элемент 1M                             | Cd                                | 24.06.2021 | 8:37:51 | < 3   | < 0,0003        | BL               | не более 0,01                       |
|             |   | Hg                                | 24.06.2021 | 8:37:51 | < 4   | < 0,0004        | BL               | не более 0,1                        |
|             |   | Pb                                | 24.06.2021 | 8:37:51 | < 14  | < 0,0014        | BL               | не более 0,1                        |
|             |   | Cr(общий)                         | 24.06.2021 | 8:37:51 | < 16  | < 0,0016        | BL               | не более 0,1                        |
|             |   | Br(общий)                         | 24.06.2021 | 8:37:51 | < 25  | < 0,0025        | BL               | не более 0,1                        |
| 112.        | Серебристый металлический вывод многокомпонентного элемента 1M  | Cd                                | 24.06.2021 | 8:38:12 | < 3   | < 0,0003        | BL               | не более 0,01                       |
|             |   | Hg                                | 24.06.2021 | 8:38:12 | < 4   | < 0,0004        | BL               | не более 0,1                        |
|             |   | Pb                                | 24.06.2021 | 8:38:12 | < 14  | < 0,0014        | BL               | не более 0,1                        |
|             |   | Cr(общий)                         | 24.06.2021 | 8:38:12 | < 16  | < 0,0016        | BL               | не более 0,1                        |
|             |   | Br(общий)                         | 24.06.2021 | 8:38:12 | < 25  | < 0,0025        | BL               | не более 0,1                        |
| 113.        | Черный многокомпонентный элемент А63А                           | Cd                                | 24.06.2021 | 8:38:58 | < 3   | < 0,0003        | BL               | не более 0,01                       |
|             |   | Hg                                | 24.06.2021 | 8:38:58 | < 4   | < 0,0004        | BL               | не более 0,1                        |
|             |   | Pb                                | 24.06.2021 | 8:38:58 | < 14  | < 0,0014        | BL               | не более 0,1                        |
|             |   | Cr(общий)                         | 24.06.2021 | 8:38:58 | 102 ± 23  | 0,0102 ± 0,0023 | BL               | не более 0,1                        |
|             |   | Br(общий)                         | 24.06.2021 | 8:38:58 | < 25  | < 0,0025        | BL               | не более 0,1                        |

| № фрагмента | Наименование фрагмента образца                                   | Наименование химического элемента | Дата       | Время   | Результат рентгено-флуоресцентной спектрометрии ГОСТ ИЕС 62321-3-1-2016 |                 | Вывод            | Норма по ТР ЕАЭС 037/2016 % весовых |
|-------------|--|-----------------------------------|------------|---------|---|-----------------|------------------|-------------------------------------|
|             |  |                                   |            |         | мг/кг (ppm)   | % весовых       |                  |                                     |
| 114.        | Серебристый металлический вывод многокомпонентного элемента А63А | Cd                                | 24.06.2021 | 8:39:25 | < 3   | < 0,0003        | BL               | не более 0,01                       |
|             |  | Hg                                | 24.06.2021 | 8:39:25 | < 4   | < 0,0004        | BL               | не более 0,1                        |
|             |  | Pb                                | 24.06.2021 | 8:39:25 | < 14  | < 0,0014        | BL               | не более 0,1                        |
|             |  | Cr(общий)                         | 24.06.2021 | 8:39:25 | < 16  | < 0,0016        | BL               | не более 0,1                        |
|             |  | Br(общий)                         | 24.06.2021 | 8:39:25 | < 25  | < 0,0025        | BL               | не более 0,1                        |
| 115.        | Бежевый SMD конденсатор 0603                                     | Cd                                | 24.06.2021 | 8:40:13 | < 3   | < 0,0003        | BL               | не более 0,01                       |
|             |  | Hg                                | 24.06.2021 | 8:40:13 | < 4   | < 0,0004        | BL               | не более 0,1                        |
|             |  | Pb                                | 24.06.2021 | 8:40:13 | < 14  | < 0,0014        | BL               | не более 0,1                        |
|             |  | Cr(общий)                         | 24.06.2021 | 8:40:13 | < 16  | < 0,0016        | BL               | не более 0,1                        |
|             |  | Br(общий)                         | 24.06.2021 | 8:40:13 | < 25  | < 0,0025        | BL               | не более 0,1                        |
| 116.        | Серебристый металлический вывод SMD конденсатора 0603            | Cd                                | 24.06.2021 | 8:40:51 | < 3   | < 0,0003        | BL               | не более 0,01                       |
|             |  | Hg                                | 24.06.2021 | 8:40:51 | < 4   | < 0,0004        | BL               | не более 0,1                        |
|             |  | Pb                                | 24.06.2021 | 8:40:51 | < 14  | < 0,0014        | BL               | не более 0,1                        |
|             |  | Cr(общий)                         | 24.06.2021 | 8:40:51 | < 16  | < 0,0016        | BL               | не более 0,1                        |
|             |  | Br(общий)                         | 24.06.2021 | 8:40:51 | < 25  | < 0,0025        | BL               | не более 0,1                        |
| 117.        | Черный многокомпонентный элемент FG                              | Cd                                | 24.06.2021 | 8:41:41 | < 3   | < 0,0003        | BL               | не более 0,01                       |
|             |  | Hg                                | 24.06.2021 | 8:41:41 | 38 ± 5  | 0,0038 ± 0,0005 | BL               | не более 0,1                        |
|             |  | Pb                                | 24.06.2021 | 8:41:41 | < 14  | < 0,0014        | BL               | не более 0,1                        |
|             |  | Cr(общий)                         | 24.06.2021 | 8:41:41 | < 16  | < 0,0016        | BL               | не более 0,1                        |
|             |  | Br(общий)                         | 24.06.2021 | 8:41:41 | < 25  | < 0,0025        | BL               | не более 0,1                        |
| 118.        | Серебристый металлический вывод многокомпонентного элемента FG   | Cd                                | 24.06.2021 | 8:42:18 | > 183   | > 0,0183        | OL <sup>10</sup> | не более 0,01                       |
|             |  | Hg                                | 24.06.2021 | 8:42:18 | < 4   | < 0,0004        | BL               | не более 0,1                        |
|             |  | Pb                                | 24.06.2021 | 8:42:18 | < 14  | < 0,0014        | BL               | не более 0,1                        |
|             |  | Cr(общий)                         | 24.06.2021 | 8:42:18 | < 16  | < 0,0016        | BL               | не более 0,1                        |
|             |  | Br(общий)                         | 24.06.2021 | 8:42:18 | < 25  | < 0,0025        | BL               | не более 0,1                        |
| 119.        | Белый SMD конденсатор 0603                                       | Cd                                | 24.06.2021 | 8:43:03 | 63 ± 8  | 0,0063 ± 0,0008 | BL               | не более 0,01                       |
|             |  | Hg                                | 24.06.2021 | 8:43:03 | < 4   | < 0,0004        | BL               | не более 0,1                        |
|             |  | Pb                                | 24.06.2021 | 8:43:03 | < 14  | < 0,0014        | BL               | не более 0,1                        |
|             |  | Cr(общий)                         | 24.06.2021 | 8:43:03 | < 16  | < 0,0016        | BL               | не более 0,1                        |
|             |  | Br(общий)                         | 24.06.2021 | 8:43:03 | < 25  | < 0,0025        | BL               | не более 0,1                        |

| № фрагмента | Наименование фрагмента образца                                  | Наименование химического элемента | Дата       | Время   | Результат рентгено-флуоресцентной спектрометрии ГОСТ ИЕС 62321-3-1-2016 |                 | Вывод | Норма по ТР ЕАЭС 037/2016 % весовых |
|-------------|---|-----------------------------------|------------|---------|---|-----------------|-------|-------------------------------------|
|             |   |                                   |            |         | мг/кг (ppm)   | % весовых       |       |                                     |
| 120.        | Серебристый металлический вывод SMD конденсатора 0603           | Cd                                | 24.06.2021 | 8:43:49 | < 3   | < 0,0003        | BL    | не более 0,01                       |
|             |   | Hg                                | 24.06.2021 | 8:43:49 | < 4   | < 0,0004        | BL    | не более 0,1                        |
|             |   | Pb                                | 24.06.2021 | 8:43:49 | < 14  | < 0,0014        | BL    | не более 0,1                        |
|             |   | Cr(общий)                         | 24.06.2021 | 8:43:49 | < 16  | < 0,0016        | BL    | не более 0,1                        |
|             |   | Br(общий)                         | 24.06.2021 | 8:43:49 | 30 ± 7  | 0,0030 ± 0,0007 | BL    | не более 0,1                        |
| 121.        | Черный многокомпонентный элемент 9СА                            | Cd                                | 24.06.2021 | 8:44:24 | < 3   | < 0,0003        | BL    | не более 0,01                       |
|             |   | Hg                                | 24.06.2021 | 8:44:24 | < 4   | < 0,0004        | BL    | не более 0,1                        |
|             |   | Pb                                | 24.06.2021 | 8:44:24 | < 14  | < 0,0014        | BL    | не более 0,1                        |
|             |   | Cr(общий)                         | 24.06.2021 | 8:44:24 | < 16  | < 0,0016        | BL    | не более 0,1                        |
|             |   | Br(общий)                         | 24.06.2021 | 8:44:24 | < 25  | < 0,0025        | BL    | не более 0,1                        |
| 122.        | Серебристый металлический вывод многокомпонентного элемента 9СА | Cd                                | 24.06.2021 | 8:44:59 | < 3   | < 0,0003        | BL    | не более 0,01                       |
|             |   | Hg                                | 24.06.2021 | 8:44:59 | < 4   | < 0,0004        | BL    | не более 0,1                        |
|             |   | Pb                                | 24.06.2021 | 8:44:59 | < 14  | < 0,0014        | BL    | не более 0,1                        |
|             |   | Cr(общий)                         | 24.06.2021 | 8:44:59 | < 16  | < 0,0016        | BL    | не более 0,1                        |
|             |   | Br(общий)                         | 24.06.2021 | 8:44:59 | < 25  | < 0,0025        | BL    | не более 0,1                        |
| 123.        | Черный SMD катушка индуктивности                                | Cd                                | 24.06.2021 | 8:45:48 | < 3   | < 0,0003        | BL    | не более 0,01                       |
|             |   | Hg                                | 24.06.2021 | 8:45:48 | < 4   | < 0,0004        | BL    | не более 0,1                        |
|             |   | Pb                                | 24.06.2021 | 8:45:48 | < 14  | < 0,0014        | BL    | не более 0,1                        |
|             |   | Cr(общий)                         | 24.06.2021 | 8:45:48 | 440 ± 283   | 0,0440 ± 0,0283 | BL    | не более 0,1                        |
|             |   | Br(общий)                         | 24.06.2021 | 8:45:48 | < 25  | < 0,0025        | BL    | не более 0,1                        |
| 124.        | Серебристый металлический вывод SMD катушки индуктивности       | Cd                                | 24.06.2021 | 8:46:36 | < 3   | < 0,0003        | BL    | не более 0,01                       |
|             |   | Hg                                | 24.06.2021 | 8:46:36 | < 4   | < 0,0004        | BL    | не более 0,1                        |
|             |   | Pb                                | 24.06.2021 | 8:46:36 | < 14  | < 0,0014        | BL    | не более 0,1                        |
|             |   | Cr(общий)                         | 24.06.2021 | 8:46:36 | < 16  | < 0,0016        | BL    | не более 0,1                        |
|             |   | Br(общий)                         | 24.06.2021 | 8:46:36 | < 25  | < 0,0025        | BL    | не более 0,1                        |
| 125.        | Черный SMD резистор 1R00  | Cd                                | 24.06.2021 | 8:47:23 | < 3   | < 0,0003        | BL    | не более 0,01                       |
|             |   | Hg                                | 24.06.2021 | 8:47:23 | < 4   | < 0,0004        | BL    | не более 0,1                        |
|             |   | Pb                                | 24.06.2021 | 8:47:23 | < 14  | < 0,0014        | BL    | не более 0,1                        |
|             |   | Cr(общий)                         | 24.06.2021 | 8:47:23 | 207 ± 65  | 0,0207 ± 0,0065 | BL    | не более 0,1                        |
|             |   | Br(общий)                         | 24.06.2021 | 8:47:23 | < 25  | < 0,0025        | BL    | не более 0,1                        |

| № фрагмента | Наименование фрагмента образца                        | Наименование химического элемента | Дата       | Время   | Результат рентгено-флуоресцентной спектрометрии ГОСТ ИЕС 62321-3-1-2016 |                 | Вывод            | Норма по ТР ЕАЭС 037/2016 % весовых |
|-------------|---|-----------------------------------|------------|---------|---|-----------------|------------------|-------------------------------------|
|             |   |                                   |            |         | мг/кг (ppm)   | % весовых       |                  |                                     |
| 126.        | Серебристый металлический вывод SMD резистора 1R00    | Cd                                | 24.06.2021 | 8:48:13 | > 183   | > 0,0183        | OL <sup>10</sup> | не более 0,01                       |
|             |   | Hg                                | 24.06.2021 | 8:48:13 | < 4   | < 0,0004        | BL               | не более 0,1                        |
|             |   | Pb                                | 24.06.2021 | 8:48:13 | < 14  | < 0,0014        | BL               | не более 0,1                        |
|             |   | Cr(общий)                         | 24.06.2021 | 8:48:13 | < 16  | < 0,0016        | BL               | не более 0,1                        |
|             |   | Br(общий)                         | 24.06.2021 | 8:48:13 | < 25  | < 0,0025        | BL               | не более 0,1                        |
| 127.        | Черный SMD резистор 1102                              | Cd                                | 24.06.2021 | 8:49:10 | < 3   | < 0,0003        | BL               | не более 0,01                       |
|             |   | Hg                                | 24.06.2021 | 8:49:10 | < 4   | < 0,0004        | BL               | не более 0,1                        |
|             |   | Pb                                | 24.06.2021 | 8:49:10 | 7126 ± 419  | 0,7126 ± 0,0419 | OL <sup>9</sup>  | не более 0,1                        |
|             |   | Cr(общий)                         | 24.06.2021 | 8:49:10 | 156 ± 111   | 0,0156 ± 0,0111 | BL               | не более 0,1                        |
|             |   | Br(общий)                         | 24.06.2021 | 8:49:10 | < 25  | < 0,0025        | BL               | не более 0,1                        |
| 128.        | Серебристый металлический вывод SMD резистора 1102    | Cd                                | 24.06.2021 | 8:49:39 | > 183   | > 0,0183        | OL <sup>10</sup> | не более 0,01                       |
|             |   | Hg                                | 24.06.2021 | 8:49:39 | < 4   | < 0,0004        | BL               | не более 0,1                        |
|             |   | Pb                                | 24.06.2021 | 8:49:39 | < 14  | < 0,0014        | BL               | не более 0,1                        |
|             |   | Cr(общий)                         | 24.06.2021 | 8:49:39 | < 16  | < 0,0016        | BL               | не более 0,1                        |
|             |   | Br(общий)                         | 24.06.2021 | 8:49:39 | < 25  | < 0,0025        | BL               | не более 0,1                        |
| 129.        | Бежевый SMD конденсатор 1206                          | Cd                                | 24.06.2021 | 8:50:32 | < 3   | < 0,0003        | BL               | не более 0,01                       |
|             |   | Hg                                | 24.06.2021 | 8:50:32 | < 4   | < 0,0004        | BL               | не более 0,1                        |
|             |   | Pb                                | 24.06.2021 | 8:50:32 | < 14  | < 0,0014        | BL               | не более 0,1                        |
|             |   | Cr(общий)                         | 24.06.2021 | 8:50:32 | < 16  | < 0,0016        | BL               | не более 0,1                        |
|             |   | Br(общий)                         | 24.06.2021 | 8:50:32 | < 25  | < 0,0025        | BL               | не более 0,1                        |
| 130.        | Серебристый металлический вывод SMD конденсатора 1206 | Cd                                | 24.06.2021 | 8:51:05 | < 3   | < 0,0003        | BL               | не более 0,01                       |
|             |   | Hg                                | 24.06.2021 | 8:51:05 | < 4   | < 0,0004        | BL               | не более 0,1                        |
|             |   | Pb                                | 24.06.2021 | 8:51:05 | < 14  | < 0,0014        | BL               | не более 0,1                        |
|             |   | Cr(общий)                         | 24.06.2021 | 8:51:05 | < 16  | < 0,0016        | BL               | не более 0,1                        |
|             |   | Br(общий)                         | 24.06.2021 | 8:51:05 | < 25  | < 0,0025        | BL               | не более 0,1                        |
| 131.        | Черный SMD резистор 2402                              | Cd                                | 24.06.2021 | 8:52:06 | < 3   | < 0,0003        | BL               | не более 0,01                       |
|             |   | Hg                                | 24.06.2021 | 8:52:06 | < 4   | < 0,0004        | BL               | не более 0,1                        |
|             |   | Pb                                | 24.06.2021 | 8:52:06 | < 14  | < 0,0014        | BL               | не более 0,1                        |
|             |   | Cr(общий)                         | 24.06.2021 | 8:52:06 | 132 ± 23  | 0,0132 ± 0,0023 | BL               | не более 0,1                        |
|             |   | Br(общий)                         | 24.06.2021 | 8:52:06 | < 25  | < 0,0025        | BL               | не более 0,1                        |

| № фрагмента | Наименование фрагмента образца                     | Наименование химического элемента | Дата       | Время   | Результат рентгено-флуоресцентной спектрометрии ГОСТ ИЕС 62321-3-1-2016 |                 | Вывод            | Норма по ТР ЕАЭС 037/2016 % весовых |
|-------------|--|-----------------------------------|------------|---------|---|-----------------|------------------|-------------------------------------|
|             |  |                                   |            |         | мг/кг (ppm)   | % весовых       |                  |                                     |
| 132.        | Серебристый металлический вывод SMD резистора 2402 | Cd                                | 24.06.2021 | 8:52:47 | < 3   | < 0,0003        | BL               | не более 0,01                       |
|             |  | Hg                                | 24.06.2021 | 8:52:47 | < 4   | < 0,0004        | BL               | не более 0,1                        |
|             |  | Pb                                | 24.06.2021 | 8:52:47 | < 14  | < 0,0014        | BL               | не более 0,1                        |
|             |  | Cr(общий)                         | 24.06.2021 | 8:52:47 | < 16  | < 0,0016        | BL               | не более 0,1                        |
|             |  | Br(общий)                         | 24.06.2021 | 8:52:47 | < 25  | < 0,0025        | BL               | не более 0,1                        |
| 133.        | Черный SMD резистор 104                            | Cd                                | 24.06.2021 | 8:53:51 | < 3   | < 0,0003        | BL               | не более 0,01                       |
|             |  | Hg                                | 24.06.2021 | 8:53:51 | < 4   | < 0,0004        | BL               | не более 0,1                        |
|             |  | Pb                                | 24.06.2021 | 8:53:51 | 511 ± 29  | 0,0511 ± 0,0029 | BL               | не более 0,1                        |
|             |  | Cr(общий)                         | 24.06.2021 | 8:53:51 | 482 ± 67  | 0,0482 ± 0,0067 | BL               | не более 0,1                        |
|             |  | Br(общий)                         | 24.06.2021 | 8:53:51 | 21 ± 4  | 0,0021 ± 0,0004 | BL               | не более 0,1                        |
| 134.        | Серебристый металлический вывод SMD резистора 104  | Cd                                | 24.06.2021 | 8:54:28 | > 183   | > 0,0183        | OL <sup>10</sup> | не более 0,01                       |
|             |  | Hg                                | 24.06.2021 | 8:54:28 | < 4   | < 0,0004        | BL               | не более 0,1                        |
|             |  | Pb                                | 24.06.2021 | 8:54:28 | < 14  | < 0,0014        | BL               | не более 0,1                        |
|             |  | Cr(общий)                         | 24.06.2021 | 8:54:28 | < 16  | < 0,0016        | BL               | не более 0,1                        |
|             |  | Br(общий)                         | 24.06.2021 | 8:54:28 | < 25  | < 0,0025        | BL               | не более 0,1                        |
| 135.        | Черный SMD резистор 1002                           | Cd                                | 24.06.2021 | 8:55:14 | < 3   | < 0,0003        | BL               | не более 0,01                       |
|             |  | Hg                                | 24.06.2021 | 8:55:14 | < 4   | < 0,0004        | BL               | не более 0,1                        |
|             |  | Pb                                | 24.06.2021 | 8:55:14 | 4915 ± 560  | 0,4915 ± 0,0560 | OL <sup>9</sup>  | не более 0,1                        |
|             |  | Cr(общий)                         | 24.06.2021 | 8:55:14 | 229 ± 94  | 0,0229 ± 0,0094 | BL               | не более 0,1                        |
|             |  | Br(общий)                         | 24.06.2021 | 8:55:14 | 170 ± 51  | 0,0170 ± 0,0051 | BL               | не более 0,1                        |
| 136.        | Серебристый металлический вывод SMD резистора 1002 | Cd                                | 24.06.2021 | 8:55:38 | > 183   | > 0,0183        | OL <sup>10</sup> | не более 0,01                       |
|             |  | Hg                                | 24.06.2021 | 8:55:38 | < 4   | < 0,0004        | BL               | не более 0,1                        |
|             |  | Pb                                | 24.06.2021 | 8:55:38 | < 14  | < 0,0014        | BL               | не более 0,1                        |
|             |  | Cr(общий)                         | 24.06.2021 | 8:55:38 | < 16  | < 0,0016        | BL               | не более 0,1                        |
|             |  | Br(общий)                         | 24.06.2021 | 8:55:38 | < 25  | < 0,0025        | BL               | не более 0,1                        |
| 137.        | Черный SMD резистор 0                              | Cd                                | 24.06.2021 | 8:56:25 | < 3   | < 0,0003        | BL               | не более 0,01                       |
|             |  | Hg                                | 24.06.2021 | 8:56:25 | 66 ± 21   | 0,0066 ± 0,0021 | BL               | не более 0,1                        |
|             |  | Pb                                | 24.06.2021 | 8:56:25 | < 14  | < 0,0014        | BL               | не более 0,1                        |
|             |  | Cr(общий)                         | 24.06.2021 | 8:56:25 | 541 ± 22  | 0,0541 ± 0,0022 | BL               | не более 0,1                        |
|             |  | Br(общий)                         | 24.06.2021 | 8:56:25 | < 25  | < 0,0025        | BL               | не более 0,1                        |



| № фрагмента | Наименование фрагмента образца                     | Наименование химического элемента | Дата       | Время   | Результат рентгено-флуоресцентной спектрометрии ГОСТ ИЕС 62321-3-1-2016 |                 | Вывод            | Норма по ТР ЕАЭС 037/2016 % весовых |
|-------------|--|-----------------------------------|------------|---------|---|-----------------|------------------|-------------------------------------|
|             |  |                                   |            |         | мг/кг (ppm)   | % весовых       |                  |                                     |
| 138.        | Серебристый металлический вывод SMD резистора 0    | Cd                                | 24.06.2021 | 8:57:03 | < 3   | < 0,0003        | BL               | не более 0,01                       |
|             |  | Hg                                | 24.06.2021 | 8:57:03 | < 4   | < 0,0004        | BL               | не более 0,1                        |
|             |  | Pb                                | 24.06.2021 | 8:57:03 | < 14  | < 0,0014        | BL               | не более 0,1                        |
|             |  | Cr(общий)                         | 24.06.2021 | 8:57:03 | < 16  | < 0,0016        | BL               | не более 0,1                        |
|             |  | Br(общий)                         | 24.06.2021 | 8:57:03 | < 25  | < 0,0025        | BL               | не более 0,1                        |
| 139.        | Черный SMD резистор 4R70                           | Cd                                | 24.06.2021 | 8:57:52 | < 3   | < 0,0003        | BL               | не более 0,01                       |
|             |  | Hg                                | 24.06.2021 | 8:57:52 | < 4   | < 0,0004        | BL               | не более 0,1                        |
|             |  | Pb                                | 24.06.2021 | 8:57:52 | < 14  | < 0,0014        | BL               | не более 0,1                        |
|             |  | Cr(общий)                         | 24.06.2021 | 8:57:52 | < 16  | < 0,0016        | BL               | не более 0,1                        |
|             |  | Br(общий)                         | 24.06.2021 | 8:57:52 | < 25  | < 0,0025        | BL               | не более 0,1                        |
| 140.        | Серебристый металлический вывод SMD резистора 4R70 | Cd                                | 24.06.2021 | 8:58:27 | > 183   | > 0,0183        | OL <sup>10</sup> | не более 0,01                       |
|             |  | Hg                                | 24.06.2021 | 8:58:27 | < 4   | < 0,0004        | BL               | не более 0,1                        |
|             |  | Pb                                | 24.06.2021 | 8:58:27 | < 14  | < 0,0014        | BL               | не более 0,1                        |
|             |  | Cr(общий)                         | 24.06.2021 | 8:58:27 | < 16  | < 0,0016        | BL               | не более 0,1                        |
|             |  | Br(общий)                         | 24.06.2021 | 8:58:27 | < 25  | < 0,0025        | BL               | не более 0,1                        |
| 141.        | Черный SMD резистор 100                            | Cd                                | 24.06.2021 | 8:59:20 | < 3   | < 0,0003        | BL               | не более 0,01                       |
|             |  | Hg                                | 24.06.2021 | 8:59:20 | < 4   | < 0,0004        | BL               | не более 0,1                        |
|             |  | Pb                                | 24.06.2021 | 8:59:20 | 6741 ± 278  | 0,6741 ± 0,0278 | OL <sup>9</sup>  | не более 0,1                        |
|             |  | Cr(общий)                         | 24.06.2021 | 8:59:20 | 165 ± 89  | 0,0165 ± 0,0089 | BL               | не более 0,1                        |
|             |  | Br(общий)                         | 24.06.2021 | 8:59:20 | < 25  | < 0,0025        | BL               | не более 0,1                        |
| 142.        | Серебристый металлический вывод SMD резистора 100  | Cd                                | 24.06.2021 | 8:59:56 | > 183   | > 0,0183        | OL <sup>10</sup> | не более 0,01                       |
|             |  | Hg                                | 24.06.2021 | 8:59:56 | < 4   | < 0,0004        | BL               | не более 0,1                        |
|             |  | Pb                                | 24.06.2021 | 8:59:56 | < 14  | < 0,0014        | BL               | не более 0,1                        |
|             |  | Cr(общий)                         | 24.06.2021 | 8:59:56 | < 16  | < 0,0016        | BL               | не более 0,1                        |
|             |  | Br(общий)                         | 24.06.2021 | 8:59:56 | < 25  | < 0,0025        | BL               | не более 0,1                        |
| 143.        | Черный SMD резистор 2512                           | Cd                                | 24.06.2021 | 9:01:08 | < 3   | < 0,0003        | BL               | не более 0,01                       |
|             |  | Hg                                | 24.06.2021 | 9:01:08 | < 4   | < 0,0004        | BL               | не более 0,1                        |
|             |  | Pb                                | 24.06.2021 | 9:01:08 | 9663 ± 248  | 0,9663 ± 0,0248 | OL <sup>9</sup>  | не более 0,1                        |
|             |  | Cr(общий)                         | 24.06.2021 | 9:01:08 | 248 ± 77  | 0,0248 ± 0,0077 | BL               | не более 0,1                        |
|             |  | Br(общий)                         | 24.06.2021 | 9:01:08 | < 25  | < 0,0025        | BL               | не более 0,1                        |

| № фрагмента | Наименование фрагмента образца                     | Наименование химического элемента | Дата       | Время   | Результат рентгено-флуоресцентной спектрометрии ГОСТ ИЕС 62321-3-1-2016 |                 | Вывод           | Норма по ТР ЕАЭС 037/2016 % весовых |
|-------------|--|-----------------------------------|------------|---------|---|-----------------|-----------------|-------------------------------------|
|             |  |                                   |            |         | мг/кг (ppm)   | % весовых       |                 |                                     |
| 144.        | Серебристый металлический вывод SMD резистора 2512 | Cd                                | 24.06.2021 | 9:01:59 | < 3   | < 0,0003        | BL              | не более 0,01                       |
|             |  | Hg                                | 24.06.2021 | 9:01:59 | < 4   | < 0,0004        | BL              | не более 0,1                        |
|             |  | Pb                                | 24.06.2021 | 9:01:59 | < 14  | < 0,0014        | BL              | не более 0,1                        |
|             |  | Cr(общий)                         | 24.06.2021 | 9:01:59 | < 16  | < 0,0016        | BL              | не более 0,1                        |
|             |  | Br(общий)                         | 24.06.2021 | 9:01:59 | < 25  | < 0,0025        | BL              | не более 0,1                        |
| 145.        | Черный SMD резистор 5603                           | Cd                                | 24.06.2021 | 9:05:15 | < 3   | < 0,0003        | BL              | не более 0,01                       |
|             |  | Hg                                | 24.06.2021 | 9:05:15 | < 4   | < 0,0004        | BL              | не более 0,1                        |
|             |  | Pb                                | 24.06.2021 | 9:05:15 | < 14  | < 0,0014        | BL              | не более 0,1                        |
|             |  | Cr(общий)                         | 24.06.2021 | 9:05:15 | 346 ± 92  | 0,0346 ± 0,0092 | BL              | не более 0,1                        |
|             |  | Br(общий)                         | 24.06.2021 | 9:05:15 | < 25  | < 0,0025        | BL              | не более 0,1                        |
| 146.        | Серебристый металлический вывод SMD резистора 5603 | Cd                                | 24.06.2021 | 9:05:51 | < 3   | < 0,0003        | BL              | не более 0,01                       |
|             |  | Hg                                | 24.06.2021 | 9:05:51 | < 4   | < 0,0004        | BL              | не более 0,1                        |
|             |  | Pb                                | 24.06.2021 | 9:05:51 | < 14  | < 0,0014        | BL              | не более 0,1                        |
|             |  | Cr(общий)                         | 24.06.2021 | 9:05:51 | < 16  | < 0,0016        | BL              | не более 0,1                        |
|             |  | Br(общий)                         | 24.06.2021 | 9:05:51 | < 25  | < 0,0025        | BL              | не более 0,1                        |
| 147.        | Черный SMD резистор 2203                           | Cd                                | 24.06.2021 | 9:06:49 | < 3   | < 0,0003        | BL              | не более 0,01                       |
|             |  | Hg                                | 24.06.2021 | 9:06:49 | < 4   | < 0,0004        | BL              | не более 0,1                        |
|             |  | Pb                                | 24.06.2021 | 9:06:49 | 5680 ± 1032   | 0,5680 ± 0,1032 | OL <sup>9</sup> | не более 0,1                        |
|             |  | Cr(общий)                         | 24.06.2021 | 9:06:49 | 156 ± 59  | 0,0156 ± 0,0059 | BL              | не более 0,1                        |
|             |  | Br(общий)                         | 24.06.2021 | 9:06:49 | < 25  | < 0,0025        | BL              | не более 0,1                        |
| 148.        | Серебристый металлический вывод SMD резистора 2203 | Cd                                | 24.06.2021 | 9:07:22 | < 3   | < 0,0003        | BL              | не более 0,01                       |
|             |  | Hg                                | 24.06.2021 | 9:07:22 | < 4   | < 0,0004        | BL              | не более 0,1                        |
|             |  | Pb                                | 24.06.2021 | 9:07:22 | < 14  | < 0,0014        | BL              | не более 0,1                        |
|             |  | Cr(общий)                         | 24.06.2021 | 9:07:22 | < 16  | < 0,0016        | BL              | не более 0,1                        |
|             |  | Br(общий)                         | 24.06.2021 | 9:07:22 | < 25  | < 0,0025        | BL              | не более 0,1                        |
| 149.        | Черный SMD резистор 4701                           | Cd                                | 24.06.2021 | 9:08:11 | < 3   | < 0,0003        | BL              | не более 0,01                       |
|             |  | Hg                                | 24.06.2021 | 9:08:11 | < 4   | < 0,0004        | BL              | не более 0,1                        |
|             |  | Pb                                | 24.06.2021 | 9:08:11 | < 14  | < 0,0014        | BL              | не более 0,1                        |
|             |  | Cr(общий)                         | 24.06.2021 | 9:08:11 | < 16  | < 0,0016        | BL              | не более 0,1                        |
|             |  | Br(общий)                         | 24.06.2021 | 9:08:11 | < 25  | < 0,0025        | BL              | не более 0,1                        |

| № фрагмента | Наименование фрагмента образца                     | Наименование химического элемента | Дата       | Время   | Результат рентгено-флуоресцентной спектрометрии ГОСТ ИЕС 62321-3-1-2016 |                 | Вывод            | Норма по ТР ЕАЭС 037/2016 % весовых |
|-------------|--|-----------------------------------|------------|---------|---|-----------------|------------------|-------------------------------------|
|             |  |                                   |            |         | мг/кг (ppm)   | % весовых       |                  |                                     |
| 150.        | Серебристый металлический вывод SMD резистора 4701 | Cd                                | 24.06.2021 | 9:08:53 | > 183   | > 0,0183        | OL <sup>10</sup> | не более 0,01                       |
|             |  | Hg                                | 24.06.2021 | 9:08:53 | < 4   | < 0,0004        | BL               | не более 0,1                        |
|             |  | Pb                                | 24.06.2021 | 9:08:53 | < 14  | < 0,0014        | BL               | не более 0,1                        |
|             |  | Cr(общий)                         | 24.06.2021 | 9:08:53 | < 16  | < 0,0016        | BL               | не более 0,1                        |
|             |  | Br(общий)                         | 24.06.2021 | 9:08:53 | < 25  | < 0,0025        | BL               | не более 0,1                        |
| 151.        | Черный SMD резистор 3300                           | Cd                                | 24.06.2021 | 9:09:34 | < 3   | < 0,0003        | BL               | не более 0,01                       |
|             |  | Hg                                | 24.06.2021 | 9:09:34 | < 4   | < 0,0004        | BL               | не более 0,1                        |
|             |  | Pb                                | 24.06.2021 | 9:09:34 | < 14  | < 0,0014        | BL               | не более 0,1                        |
|             |  | Cr(общий)                         | 24.06.2021 | 9:09:34 | 917 ± 23  | 0,0917 ± 0,0023 | BL               | не более 0,1                        |
|             |  | Br(общий)                         | 24.06.2021 | 9:09:34 | < 25  | < 0,0025        | BL               | не более 0,1                        |
| 152.        | Серебристый металлический вывод SMD резистора 3300 | Cd                                | 24.06.2021 | 9:10:19 | < 3   | < 0,0003        | BL               | не более 0,01                       |
|             |  | Hg                                | 24.06.2021 | 9:10:19 | < 4   | < 0,0004        | BL               | не более 0,1                        |
|             |  | Pb                                | 24.06.2021 | 9:10:19 | < 14  | < 0,0014        | BL               | не более 0,1                        |
|             |  | Cr(общий)                         | 24.06.2021 | 9:10:19 | < 16  | < 0,0016        | BL               | не более 0,1                        |
|             |  | Br(общий)                         | 24.06.2021 | 9:10:19 | < 25  | < 0,0025        | BL               | не более 0,1                        |
| 153.        | Черный SMD резистор 1089                           | Cd                                | 24.06.2021 | 9:10:54 | < 3   | < 0,0003        | BL               | не более 0,01                       |
|             |  | Hg                                | 24.06.2021 | 9:10:54 | < 4   | < 0,0004        | BL               | не более 0,1                        |
|             |  | Pb                                | 24.06.2021 | 9:10:54 | < 14  | < 0,0014        | BL               | не более 0,1                        |
|             |  | Cr(общий)                         | 24.06.2021 | 9:10:54 | 152 ± 30  | 0,0152 ± 0,0030 | BL               | не более 0,1                        |
|             |  | Br(общий)                         | 24.06.2021 | 9:10:54 | < 25  | < 0,0025        | BL               | не более 0,1                        |
| 154.        | Серебристый металлический вывод SMD резистора 1089 | Cd                                | 24.06.2021 | 9:11:36 | < 3   | < 0,0003        | BL               | не более 0,01                       |
|             |  | Hg                                | 24.06.2021 | 9:11:36 | < 4   | < 0,0004        | BL               | не более 0,1                        |
|             |  | Pb                                | 24.06.2021 | 9:11:36 | < 14  | < 0,0014        | BL               | не более 0,1                        |
|             |  | Cr(общий)                         | 24.06.2021 | 9:11:36 | < 16  | < 0,0016        | BL               | не более 0,1                        |
|             |  | Br(общий)                         | 24.06.2021 | 9:11:36 | < 25  | < 0,0025        | BL               | не более 0,1                        |
| 155.        | Черный SMD резистор 6201                           | Cd                                | 24.06.2021 | 9:12:19 | < 3   | < 0,0003        | BL               | не более 0,01                       |
|             |  | Hg                                | 24.06.2021 | 9:12:19 | < 4   | < 0,0004        | BL               | не более 0,1                        |
|             |  | Pb                                | 24.06.2021 | 9:12:19 | 206 ± 44  | 0,0206 ± 0,0044 | BL               | не более 0,1                        |
|             |  | Cr(общий)                         | 24.06.2021 | 9:12:19 | 382 ± 94  | 0,0382 ± 0,0094 | BL               | не более 0,1                        |
|             |  | Br(общий)                         | 24.06.2021 | 9:12:19 | < 25  | < 0,0025        | BL               | не более 0,1                        |

| № фрагмента | Наименование фрагмента образца                     | Наименование химического элемента | Дата       | Время   | Результат рентгено-флуоресцентной спектрометрии ГОСТ ИЕС 62321-3-1-2016 |                 | Вывод           | Норма по ТР ЕАЭС 037/2016 % весовых |
|-------------|--|-----------------------------------|------------|---------|---|-----------------|-----------------|-------------------------------------|
|             |  |                                   |            |         | мг/кг (ppm)   | % весовых       |                 |                                     |
| 156.        | Серебристый металлический вывод SMD резистора 6201 | Cd                                | 24.06.2021 | 9:13:10 | < 3   | < 0,0003        | BL              | не более 0,01                       |
|             |  | Hg                                | 24.06.2021 | 9:13:10 | < 4   | < 0,0004        | BL              | не более 0,1                        |
|             |  | Pb                                | 24.06.2021 | 9:13:10 | < 14  | < 0,0014        | BL              | не более 0,1                        |
|             |  | Cr(общий)                         | 24.06.2021 | 9:13:10 | < 16  | < 0,0016        | BL              | не более 0,1                        |
|             |  | Br(общий)                         | 24.06.2021 | 9:13:10 | < 25  | < 0,0025        | BL              | не более 0,1                        |
| 157.        | Черный SMD резистор 1028                           | Cd                                | 24.06.2021 | 9:13:54 | < 3   | < 0,0003        | BL              | не более 0,01                       |
|             |  | Hg                                | 24.06.2021 | 9:13:54 | < 4   | < 0,0004        | BL              | не более 0,1                        |
|             |  | Pb                                | 24.06.2021 | 9:13:54 | < 14  | < 0,0014        | BL              | не более 0,1                        |
|             |  | Cr(общий)                         | 24.06.2021 | 9:13:54 | 75 ± 21   | 0,0075 ± 0,0021 | BL              | не более 0,1                        |
|             |  | Br(общий)                         | 24.06.2021 | 9:13:54 | < 25  | < 0,0025        | BL              | не более 0,1                        |
| 158.        | Серебристый металлический вывод SMD резистора 1028 | Cd                                | 24.06.2021 | 9:14:28 | < 3   | < 0,0003        | BL              | не более 0,01                       |
|             |  | Hg                                | 24.06.2021 | 9:14:28 | < 4   | < 0,0004        | BL              | не более 0,1                        |
|             |  | Pb                                | 24.06.2021 | 9:14:28 | < 14  | < 0,0014        | BL              | не более 0,1                        |
|             |  | Cr(общий)                         | 24.06.2021 | 9:14:28 | < 16  | < 0,0016        | BL              | не более 0,1                        |
|             |  | Br(общий)                         | 24.06.2021 | 9:14:28 | < 25  | < 0,0025        | BL              | не более 0,1                        |
| 159.        | Черный SMD резистор 332                            | Cd                                | 24.06.2021 | 9:15:21 | 15 ± 8  | 0,0015 ± 0,0008 | BL              | не более 0,01                       |
|             |  | Hg                                | 24.06.2021 | 9:15:21 | < 4   | < 0,0004        | BL              | не более 0,1                        |
|             |  | Pb                                | 24.06.2021 | 9:15:21 | 1346 ± 29   | 0,1346 ± 0,0029 | OL <sup>9</sup> | не более 0,1                        |
|             |  | Cr(общий)                         | 24.06.2021 | 9:15:21 | < 16  | < 0,0016        | BL              | не более 0,1                        |
|             |  | Br(общий)                         | 24.06.2021 | 9:15:21 | < 25  | < 0,0025        | BL              | не более 0,1                        |
| 160.        | Серебристый металлический вывод SMD резистора 332  | Cd                                | 24.06.2021 | 9:15:56 | < 3   | < 0,0003        | BL              | не более 0,01                       |
|             |  | Hg                                | 24.06.2021 | 9:15:56 | < 4   | < 0,0004        | BL              | не более 0,1                        |
|             |  | Pb                                | 24.06.2021 | 9:15:56 | < 14  | < 0,0014        | BL              | не более 0,1                        |
|             |  | Cr(общий)                         | 24.06.2021 | 9:15:56 | < 16  | < 0,0016        | BL              | не более 0,1                        |
|             |  | Br(общий)                         | 24.06.2021 | 9:15:56 | < 25  | < 0,0025        | BL              | не более 0,1                        |
| 161.        | Черный SMD резистор 1004                           | Cd                                | 24.06.2021 | 9:19:58 | < 3   | < 0,0003        | BL              | не более 0,01                       |
|             |  | Hg                                | 24.06.2021 | 9:19:58 | < 4   | < 0,0004        | BL              | не более 0,1                        |
|             |  | Pb                                | 24.06.2021 | 9:19:58 | < 14  | < 0,0014        | BL              | не более 0,1                        |
|             |  | Cr(общий)                         | 24.06.2021 | 9:19:58 | 129 ± 98  | 0,0129 ± 0,0098 | BL              | не более 0,1                        |
|             |  | Br(общий)                         | 24.06.2021 | 9:19:58 | < 25  | < 0,0025        | BL              | не более 0,1                        |

| № фрагмента | Наименование фрагмента образца                     | Наименование химического элемента | Дата       | Время   | Результат рентгено-флуоресцентной спектрометрии ГОСТ ИЕС 62321-3-1-2016 |                 | Вывод           | Норма по ТР ЕАЭС 037/2016 % весовых |
|-------------|--|-----------------------------------|------------|---------|---|-----------------|-----------------|-------------------------------------|
|             |  |                                   |            |         | мг/кг (ppm)   | % весовых       |                 |                                     |
| 162.        | Серебристый металлический вывод SMD резистора 1004 | Cd                                | 24.06.2021 | 9:20:46 | < 3   | < 0,0003        | BL              | не более 0,01                       |
|             |  | Hg                                | 24.06.2021 | 9:20:46 | < 4   | < 0,0004        | BL              | не более 0,1                        |
|             |  | Pb                                | 24.06.2021 | 9:20:46 | < 14  | < 0,0014        | BL              | не более 0,1                        |
|             |  | Cr(общий)                         | 24.06.2021 | 9:20:46 | 37 ± 8  | 0,0037 ± 0,0008 | BL              | не более 0,1                        |
|             |  | Br(общий)                         | 24.06.2021 | 9:20:46 | < 25  | < 0,0025        | BL              | не более 0,1                        |
| 163.        | Черный SMD резистор 3003                           | Cd                                | 24.06.2021 | 9:21:14 | < 3   | < 0,0003        | BL              | не более 0,01                       |
|             |  | Hg                                | 24.06.2021 | 9:21:14 | < 4   | < 0,0004        | BL              | не более 0,1                        |
|             |  | Pb                                | 24.06.2021 | 9:21:14 | < 14  | < 0,0014        | BL              | не более 0,1                        |
|             |  | Cr(общий)                         | 24.06.2021 | 9:21:14 | 671 ± 91  | 0,0671 ± 0,0091 | BL              | не более 0,1                        |
|             |  | Br(общий)                         | 24.06.2021 | 9:21:14 | < 25  | < 0,0025        | BL              | не более 0,1                        |
| 164.        | Серебристый металлический вывод SMD резистора 3003 | Cd                                | 24.06.2021 | 9:21:58 | < 3   | < 0,0003        | BL              | не более 0,01                       |
|             |  | Hg                                | 24.06.2021 | 9:21:58 | < 4   | < 0,0004        | BL              | не более 0,1                        |
|             |  | Pb                                | 24.06.2021 | 9:21:58 | < 14  | < 0,0014        | BL              | не более 0,1                        |
|             |  | Cr(общий)                         | 24.06.2021 | 9:21:58 | < 16  | < 0,0016        | BL              | не более 0,1                        |
|             |  | Br(общий)                         | 24.06.2021 | 9:21:58 | < 25  | < 0,0025        | BL              | не более 0,1                        |
| 165.        | Черный SMD резистор 24R0                           | Cd                                | 24.06.2021 | 9:22:44 | < 3   | < 0,0003        | BL              | не более 0,01                       |
|             |  | Hg                                | 24.06.2021 | 9:22:44 | < 4   | < 0,0004        | BL              | не более 0,1                        |
|             |  | Pb                                | 24.06.2021 | 9:22:44 | 7827 ± 317  | 0,7827 ± 0,0317 | OL <sup>9</sup> | не более 0,1                        |
|             |  | Cr(общий)                         | 24.06.2021 | 9:22:44 | 198 ± 93  | 0,0198 ± 0,0093 | BL              | не более 0,1                        |
|             |  | Br(общий)                         | 24.06.2021 | 9:22:44 | < 25  | < 0,0025        | BL              | не более 0,1                        |
| 166.        | Серебристый металлический вывод SMD резистора 24R0 | Cd                                | 24.06.2021 | 9:23:22 | < 3   | < 0,0003        | BL              | не более 0,01                       |
|             |  | Hg                                | 24.06.2021 | 9:23:22 | < 4   | < 0,0004        | BL              | не более 0,1                        |
|             |  | Pb                                | 24.06.2021 | 9:23:22 | < 14  | < 0,0014        | BL              | не более 0,1                        |
|             |  | Cr(общий)                         | 24.06.2021 | 9:23:22 | < 16  | < 0,0016        | BL              | не более 0,1                        |
|             |  | Br(общий)                         | 24.06.2021 | 9:23:22 | < 25  | < 0,0025        | BL              | не более 0,1                        |
| 167.        | Черный SMD резистор 3R0                            | Cd                                | 24.06.2021 | 9:24:13 | < 3   | < 0,0003        | BL              | не более 0,01                       |
|             |  | Hg                                | 24.06.2021 | 9:24:13 | < 4   | < 0,0004        | BL              | не более 0,1                        |
|             |  | Pb                                | 24.06.2021 | 9:24:13 | 636 ± 56  | 0,0636 ± 0,0056 | BL              | не более 0,1                        |
|             |  | Cr(общий)                         | 24.06.2021 | 9:24:13 | 201 ± 64  | 0,0201 ± 0,0064 | BL              | не более 0,1                        |
|             |  | Br(общий)                         | 24.06.2021 | 9:24:13 | < 25  | < 0,0025        | BL              | не более 0,1                        |

| № фрагмента | Наименование фрагмента образца                     | Наименование химического элемента | Дата       | Время   | Результат рентгено-флуоресцентной спектрометрии ГОСТ ИЕС 62321-3-1-2016 |                 | Вывод            | Норма по ТР ЕАЭС 037/2016 % весовых |
|-------------|--|-----------------------------------|------------|---------|---|-----------------|------------------|-------------------------------------|
|             |  |                                   |            |         | мг/кг (ppm)   | % весовых       |                  |                                     |
| 168.        | Серебристый металлический вывод SMD резистора 3R0  | Cd                                | 24.06.2021 | 9:25:03 | < 3   | < 0,0003        | BL               | не более 0,01                       |
|             |  | Hg                                | 24.06.2021 | 9:25:03 | < 4   | < 0,0004        | BL               | не более 0,1                        |
|             |  | Pb                                | 24.06.2021 | 9:25:03 | < 14  | < 0,0014        | BL               | не более 0,1                        |
|             |  | Cr(общий)                         | 24.06.2021 | 9:25:03 | < 16  | < 0,0016        | BL               | не более 0,1                        |
|             |  | Br(общий)                         | 24.06.2021 | 9:25:03 | < 25  | < 0,0025        | BL               | не более 0,1                        |
| 169.        | Черный SMD резистор 5600                           | Cd                                | 24.06.2021 | 9:26:01 | < 3   | < 0,0003        | BL               | не более 0,01                       |
|             |  | Hg                                | 24.06.2021 | 9:26:01 | < 4   | < 0,0004        | BL               | не более 0,1                        |
|             |  | Pb                                | 24.06.2021 | 9:26:01 | < 14  | < 0,0014        | BL               | не более 0,1                        |
|             |  | Cr(общий)                         | 24.06.2021 | 9:26:01 | 842 ± 115   | 0,0842 ± 0,0115 | BL               | не более 0,1                        |
|             |  | Br(общий)                         | 24.06.2021 | 9:26:01 | < 25  | < 0,0025        | BL               | не более 0,1                        |
| 170.        | Серебристый металлический вывод SMD резистора 5600 | Cd                                | 24.06.2021 | 9:26:37 | < 3   | < 0,0003        | BL               | не более 0,01                       |
|             |  | Hg                                | 24.06.2021 | 9:26:37 | < 4   | < 0,0004        | BL               | не более 0,1                        |
|             |  | Pb                                | 24.06.2021 | 9:26:37 | < 14  | < 0,0014        | BL               | не более 0,1                        |
|             |  | Cr(общий)                         | 24.06.2021 | 9:26:37 | < 16  | < 0,0016        | BL               | не более 0,1                        |
|             |  | Br(общий)                         | 24.06.2021 | 9:26:37 | < 25  | < 0,0025        | BL               | не более 0,1                        |
| 171.        | Черный SMD резистор 202                            | Cd                                | 24.06.2021 | 9:27:22 | < 3   | < 0,0003        | BL               | не более 0,01                       |
|             |  | Hg                                | 24.06.2021 | 9:27:22 | < 4   | < 0,0004        | BL               | не более 0,1                        |
|             |  | Pb                                | 24.06.2021 | 9:27:22 | < 14  | < 0,0014        | BL               | не более 0,1                        |
|             |  | Cr(общий)                         | 24.06.2021 | 9:27:22 | < 16  | < 0,0016        | BL               | не более 0,1                        |
|             |  | Br(общий)                         | 24.06.2021 | 9:27:22 | < 25  | < 0,0025        | BL               | не более 0,1                        |
| 172.        | Серебристый металлический вывод SMD резистора 202  | Cd                                | 24.06.2021 | 9:28:01 | > 183   | > 0,0183        | OL <sup>10</sup> | не более 0,01                       |
|             |  | Hg                                | 24.06.2021 | 9:28:01 | < 4   | < 0,0004        | BL               | не более 0,1                        |
|             |  | Pb                                | 24.06.2021 | 9:28:01 | < 14  | < 0,0014        | BL               | не более 0,1                        |
|             |  | Cr(общий)                         | 24.06.2021 | 9:28:01 | < 16  | < 0,0016        | BL               | не более 0,1                        |
|             |  | Br(общий)                         | 24.06.2021 | 9:28:01 | < 25  | < 0,0025        | BL               | не более 0,1                        |
| 173.        | Черный SMD резистор 1001                           | Cd                                | 24.06.2021 | 9:28:51 | < 3   | < 0,0003        | BL               | не более 0,01                       |
|             |  | Hg                                | 24.06.2021 | 9:28:51 | < 4   | < 0,0004        | BL               | не более 0,1                        |
|             |  | Pb                                | 24.06.2021 | 9:28:51 | 5046 ± 393  | 0,5046 ± 0,0393 | OL <sup>9</sup>  | не более 0,1                        |
|             |  | Cr(общий)                         | 24.06.2021 | 9:28:51 | < 16  | < 0,0016        | BL               | не более 0,1                        |
|             |  | Br(общий)                         | 24.06.2021 | 9:28:51 | 227 ± 33  | 0,0227 ± 0,0033 | BL               | не более 0,1                        |



| № фрагмента | Наименование фрагмента образца                     | Наименование химического элемента | Дата       | Время   | Результат рентгено-флуоресцентной спектрометрии ГОСТ ИЕС 62321-3-1-2016 |                 | Вывод | Норма по ТР ЕАЭС 037/2016 % весовых |
|-------------|--|-----------------------------------|------------|---------|---|-----------------|-------|-------------------------------------|
|             |  |                                   |            |         | мг/кг (ppm)   | % весовых       |       |                                     |
| 174.        | Серебристый металлический вывод SMD резистора 1001 | Cd                                | 24.06.2021 | 9:29:12 | < 3   | < 0,0003        | BL    | не более 0,01                       |
|             |  | Hg                                | 24.06.2021 | 9:29:12 | < 4   | < 0,0004        | BL    | не более 0,1                        |
|             |  | Pb                                | 24.06.2021 | 9:29:12 | < 14  | < 0,0014        | BL    | не более 0,1                        |
|             |  | Cr(общий)                         | 24.06.2021 | 9:29:12 | < 16  | < 0,0016        | BL    | не более 0,1                        |
|             |  | Br(общий)                         | 24.06.2021 | 9:29:12 | < 25  | < 0,0025        | BL    | не более 0,1                        |
| 175.        | Черный SMD резистор 1102                           | Cd                                | 24.06.2021 | 9:30:05 | 72 ± 16   | 0,0072 ± 0,0016 | BL    | не более 0,01                       |
|             |  | Hg                                | 24.06.2021 | 9:30:05 | < 4   | < 0,0004        | BL    | не более 0,1                        |
|             |  | Pb                                | 24.06.2021 | 9:30:05 | 954 ± 28  | 0,0954 ± 0,0028 | BL    | не более 0,1                        |
|             |  | Cr(общий)                         | 24.06.2021 | 9:30:05 | 309 ± 41  | 0,0309 ± 0,0041 | BL    | не более 0,1                        |
|             |  | Br(общий)                         | 24.06.2021 | 9:30:05 | 27 ± 3  | 0,0027 ± 0,0003 | BL    | не более 0,1                        |
| 176.        | Серебристый металлический вывод SMD резистора 1102 | Cd                                | 24.06.2021 | 9:30:42 | < 3   | < 0,0003        | BL    | не более 0,01                       |
|             |  | Hg                                | 24.06.2021 | 9:30:42 | < 4   | < 0,0004        | BL    | не более 0,1                        |
|             |  | Pb                                | 24.06.2021 | 9:30:42 | < 14  | < 0,0014        | BL    | не более 0,1                        |
|             |  | Cr(общий)                         | 24.06.2021 | 9:30:42 | < 16  | < 0,0016        | BL    | не более 0,1                        |
|             |  | Br(общий)                         | 24.06.2021 | 9:30:42 | < 25  | < 0,0025        | BL    | не более 0,1                        |
| 177.        | Белая печатная плата                               | Cd                                | 24.06.2021 | 9:31:27 | < 3   | < 0,0003        | BL    | не более 0,01                       |
|             |  | Hg                                | 24.06.2021 | 9:31:27 | < 4   | < 0,0004        | BL    | не более 0,1                        |
|             |  | Pb                                | 24.06.2021 | 9:31:27 | < 14  | < 0,0014        | BL    | не более 0,1                        |
|             |  | Cr(общий)                         | 24.06.2021 | 9:31:27 | < 16  | < 0,0016        | BL    | не более 0,1                        |
|             |  | Br(общий)                         | 24.06.2021 | 9:31:27 | < 25  | < 0,0025        | BL    | не более 0,1                        |
| 178.        | Серебристый металлический припой                   | Cd                                | 24.06.2021 | 9:32:13 | 37 ± 12   | 0,0037 ± 0,0012 | BL    | не более 0,01                       |
|             |  | Hg                                | 24.06.2021 | 9:32:13 | < 4   | < 0,0004        | BL    | не более 0,1                        |
|             |  | Pb                                | 24.06.2021 | 9:32:13 | < 14  | < 0,0014        | BL    | не более 0,1                        |
|             |  | Cr(общий)                         | 24.06.2021 | 9:32:13 | < 16  | < 0,0016        | BL    | не более 0,1                        |
|             |  | Br(общий)                         | 24.06.2021 | 9:32:13 | < 25  | < 0,0025        | BL    | не более 0,1                        |
| 179.        | Серый полимерный компаунд                          | Cd                                | 24.06.2021 | 9:32:59 | 84 ± 10   | 0,0084 ± 0,0010 | BL    | не более 0,01                       |
|             |  | Hg                                | 24.06.2021 | 9:32:59 | 6 ± 2   | 0,0006 ± 0,0002 | BL    | не более 0,1                        |
|             |  | Pb                                | 24.06.2021 | 9:32:59 | < 14  | < 0,0014        | BL    | не более 0,1                        |
|             |  | Cr(общий)                         | 24.06.2021 | 9:32:59 | < 16  | < 0,0016        | BL    | не более 0,1                        |
|             |  | Br(общий)                         | 24.06.2021 | 9:32:59 | < 25  | < 0,0025        | BL    | не более 0,1                        |

| № фрагмента | Наименование фрагмента образца            | Наименование химического элемента | Дата       | Время   | Результат рентгено-флуоресцентной спектрометрии ГОСТ ИЕС 62321-3-1-2016 |                 | Вывод | Норма по ТР ЕАЭС 037/2016 % весовых |
|-------------|---|-----------------------------------|------------|---------|---|-----------------|-------|-------------------------------------|
|             |   |                                   |            |         | мг/кг (ppm)   | % весовых       |       |                                     |
| 180.        | Серая полимерная пленка                   | Cd                                | 24.06.2021 | 9:33:44 | < 3   | < 0,0003        | BL    | не более 0,01                       |
|             |   | Hg                                | 24.06.2021 | 9:33:44 | < 4   | < 0,0004        | BL    | не более 0,1                        |
|             |   | Pb                                | 24.06.2021 | 9:33:44 | < 14  | < 0,0014        | BL    | не более 0,1                        |
|             |   | Cr(общий)                         | 24.06.2021 | 9:33:44 | < 16  | < 0,0016        | BL    | не более 0,1                        |
|             |   | Br(общий)                         | 24.06.2021 | 9:33:44 | < 25  | < 0,0025        | BL    | не более 0,1                        |
| 181.        | Серебристая металлическая подложка        | Cd                                | 24.06.2021 | 9:34:38 | < 3   | < 0,0003        | BL    | не более 0,01                       |
|             |   | Hg                                | 24.06.2021 | 9:34:38 | 23 ± 4  | 0,0023 ± 0,0004 | BL    | не более 0,1                        |
|             |   | Pb                                | 24.06.2021 | 9:34:38 | < 14  | < 0,0014        | BL    | не более 0,1                        |
|             |   | Cr(общий)                         | 24.06.2021 | 9:34:38 | < 16  | < 0,0016        | BL    | не более 0,1                        |
|             |   | Br(общий)                         | 24.06.2021 | 9:34:38 | < 25  | < 0,0025        | BL    | не более 0,1                        |
| 182.        | Прозрачная полимерная рифленая пленка     | Cd                                | 24.06.2021 | 9:35:14 | < 3   | < 0,0003        | BL    | не более 0,01                       |
|             |   | Hg                                | 24.06.2021 | 9:35:14 | < 4   | < 0,0004        | BL    | не более 0,1                        |
|             |   | Pb                                | 24.06.2021 | 9:35:14 | < 14  | < 0,0014        | BL    | не более 0,1                        |
|             |   | Cr(общий)                         | 24.06.2021 | 9:35:14 | < 16  | < 0,0016        | BL    | не более 0,1                        |
|             |   | Br(общий)                         | 24.06.2021 | 9:35:14 | < 25  | < 0,0025        | BL    | не более 0,1                        |
| 183.        | Золотистое металлическое контактное пятно | Cd                                | 24.06.2021 | 9:35:56 | < 3   | < 0,0003        | BL    | не более 0,01                       |
|             |   | Hg                                | 24.06.2021 | 9:35:56 | < 4   | < 0,0004        | BL    | не более 0,1                        |
|             |   | Pb                                | 24.06.2021 | 9:35:56 | 109 ± 35  | 0,0109 ± 0,0035 | BL    | не более 0,1                        |
|             |   | Cr(общий)                         | 24.06.2021 | 9:35:56 | < 16  | < 0,0016        | BL    | не более 0,1                        |
|             |   | Br(общий)                         | 24.06.2021 | 9:35:56 | < 25  | < 0,0025        | BL    | не более 0,1                        |
| 184.        | Белая металлическая подложка              | Cd                                | 24.06.2021 | 9:36:40 | < 3   | < 0,0003        | BL    | не более 0,01                       |
|             |   | Hg                                | 24.06.2021 | 9:36:40 | 46 ± 15   | 0,0046 ± 0,0015 | BL    | не более 0,1                        |
|             |   | Pb                                | 24.06.2021 | 9:36:40 | < 14  | < 0,0014        | BL    | не более 0,1                        |
|             |   | Cr(общий)                         | 24.06.2021 | 9:36:40 | 86 ± 18   | 0,0086 ± 0,0018 | BL    | не более 0,1                        |
|             |   | Br(общий)                         | 24.06.2021 | 9:36:40 | < 25  | < 0,0025        | BL    | не более 0,1                        |
| 185.        | Белый полимерный компаунд                 | Cd                                | 24.06.2021 | 9:37:35 | < 3   | < 0,0003        | BL    | не более 0,01                       |
|             |   | Hg                                | 24.06.2021 | 9:37:35 | 7 ± 2   | 0,0007 ± 0,0002 | BL    | не более 0,1                        |
|             |   | Pb                                | 24.06.2021 | 9:37:35 | < 14  | < 0,0014        | BL    | не более 0,1                        |
|             |   | Cr(общий)                         | 24.06.2021 | 9:37:35 | < 16  | < 0,0016        | BL    | не более 0,1                        |
|             |   | Br(общий)                         | 24.06.2021 | 9:37:35 | < 25  | < 0,0025        | BL    | не более 0,1                        |

| № фрагмента | Наименование фрагмента образца                | Наименование химического элемента | Дата       | Время   | Результат рентгено-флуоресцентной спектрометрии ГОСТ ИЕС 62321-3-1-2016 |                 | Вывод | Норма по ТР ЕАЭС 037/2016 % весовых |
|-------------|---|-----------------------------------|------------|---------|---|-----------------|-------|-------------------------------------|
|             |   |                                   |            |         | мг/кг (ppm)   | % весовых       |       |                                     |
| 186.        | Желтый светодиод                              | Cd                                | 24.06.2021 | 9:39:01 | < 3   | < 0,0003        | BL    | не более 0,01                       |
|             |   | Hg                                | 24.06.2021 | 9:39:01 | < 4   | < 0,0004        | BL    | не более 0,1                        |
|             |   | Pb                                | 24.06.2021 | 9:39:01 | < 14  | < 0,0014        | BL    | не более 0,1                        |
|             |   | Cr(общий)                         | 24.06.2021 | 9:39:01 | < 16  | < 0,0016        | BL    | не более 0,1                        |
|             |   | Br(общий)                         | 24.06.2021 | 9:39:01 | < 25  | < 0,0025        | BL    | не более 0,1                        |
| 187.        | Белый полимерный корпус                       | Cd                                | 24.06.2021 | 9:39:45 | < 3   | < 0,0003        | BL    | не более 0,01                       |
|             |   | Hg                                | 24.06.2021 | 9:39:45 | < 4   | < 0,0004        | BL    | не более 0,1                        |
|             |   | Pb                                | 24.06.2021 | 9:39:45 | 33 ± 8  | 0,0033 ± 0,0008 | BL    | не более 0,1                        |
|             |   | Cr(общий)                         | 24.06.2021 | 9:39:45 | < 16  | < 0,0016        | BL    | не более 0,1                        |
|             |   | Br(общий)                         | 24.06.2021 | 9:39:45 | < 25  | < 0,0025        | BL    | не более 0,1                        |
| 188.        | Желтый металлический контакт                  | Cd                                | 24.06.2021 | 9:40:06 | 22 ± 5  | 0,0022 ± 0,0005 | BL    | не более 0,01                       |
|             |   | Hg                                | 24.06.2021 | 9:40:06 | < 4   | < 0,0004        | BL    | не более 0,1                        |
|             |   | Pb                                | 24.06.2021 | 9:40:06 | < 14  | < 0,0014        | BL    | не более 0,1                        |
|             |   | Cr(общий)                         | 24.06.2021 | 9:40:06 | < 16  | < 0,0016        | BL    | не более 0,1                        |
|             |   | Br(общий)                         | 24.06.2021 | 9:40:06 | < 25  | < 0,0025        | BL    | не более 0,1                        |
| 189.        | Серебристый металлический обжимной наконечник | Cd                                | 24.06.2021 | 9:40:56 | 15 ± 3  | 0,0015 ± 0,0003 | BL    | не более 0,01                       |
|             |   | Hg                                | 24.06.2021 | 9:40:56 | < 4   | < 0,0004        | BL    | не более 0,1                        |
|             |   | Pb                                | 24.06.2021 | 9:40:56 | < 14  | < 0,0014        | BL    | не более 0,1                        |
|             |   | Cr(общий)                         | 24.06.2021 | 9:40:56 | < 16  | < 0,0016        | BL    | не более 0,1                        |
|             |   | Br(общий)                         | 24.06.2021 | 9:40:56 | < 25  | < 0,0025        | BL    | не более 0,1                        |
| 190.        | Желтый полимерный колпачок                    | Cd                                | 24.06.2021 | 9:41:47 | < 3   | < 0,0003        | BL    | не более 0,01                       |
|             |   | Hg                                | 24.06.2021 | 9:41:47 | < 4   | < 0,0004        | BL    | не более 0,1                        |
|             |   | Pb                                | 24.06.2021 | 9:41:47 | < 14  | < 0,0014        | BL    | не более 0,1                        |
|             |   | Cr(общий)                         | 24.06.2021 | 9:41:47 | < 16  | < 0,0016        | BL    | не более 0,1                        |
|             |   | Br(общий)                         | 24.06.2021 | 9:41:47 | < 25  | < 0,0025        | BL    | не более 0,1                        |
| 191.        | Синяя полимерная изоляция проводника          | Cd                                | 24.06.2021 | 9:43:13 | < 3   | < 0,0003        | BL    | не более 0,01                       |
|             |   | Hg                                | 24.06.2021 | 9:43:13 | < 4   | < 0,0004        | BL    | не более 0,1                        |
|             |   | Pb                                | 24.06.2021 | 9:43:13 | < 14  | < 0,0014        | BL    | не более 0,1                        |
|             |   | Cr(общий)                         | 24.06.2021 | 9:43:13 | < 16  | < 0,0016        | BL    | не более 0,1                        |
|             |   | Br(общий)                         | 24.06.2021 | 9:43:13 | < 25  | < 0,0025        | BL    | не более 0,1                        |

| № фрагмента | Наименование фрагмента образца                         | Наименование химического элемента | Дата       | Время   | Результат рентгено-флуоресцентной спектрометрии ГОСТ ИЕС 62321-3-1-2016 |                 | Вывод | Норма по ТР ЕАЭС 037/2016 % весовых |
|-------------|--|-----------------------------------|------------|---------|---|-----------------|-------|-------------------------------------|
|             |  |                                   |            |         | мг/кг (ppm)   | % весовых       |       |                                     |
| 192.        | Золотистый металлический проводник                     | Cd                                | 24.06.2021 | 9:44:54 | < 3   | < 0,0003        | BL    | не более 0,01                       |
|             |  | Hg                                | 24.06.2021 | 9:44:54 | < 4   | < 0,0004        | BL    | не более 0,1                        |
|             |  | Pb                                | 24.06.2021 | 9:44:54 | < 14  | < 0,0014        | BL    | не более 0,1                        |
|             |  | Cr(общий)                         | 24.06.2021 | 9:44:54 | < 16  | < 0,0016        | BL    | не более 0,1                        |
|             |  | Br(общий)                         | 24.06.2021 | 9:44:54 | < 25  | < 0,0025        | BL    | не более 0,1                        |
| 193.        | Серая полимерная оболочка                              | Cd                                | 24.06.2021 | 9:45:48 | < 3   | < 0,0003        | BL    | не более 0,01                       |
|             |  | Hg                                | 24.06.2021 | 9:45:48 | < 4   | < 0,0004        | BL    | не более 0,1                        |
|             |  | Pb                                | 24.06.2021 | 9:45:48 | < 14  | < 0,0014        | BL    | не более 0,1                        |
|             |  | Cr(общий)                         | 24.06.2021 | 9:45:48 | < 16  | < 0,0016        | BL    | не более 0,1                        |
|             |  | Br(общий)                         | 24.06.2021 | 9:45:48 | 22 ± 3  | 0,0022 ± 0,0003 | BL    | не более 0,1                        |
| 194.        | Белая полимерная самоклеящаяся информационная этикетка | Cd                                | 24.06.2021 | 9:46:27 | < 3   | < 0,0003        | BL    | не более 0,01                       |
|             |  | Hg                                | 24.06.2021 | 9:46:27 | < 4   | < 0,0004        | BL    | не более 0,1                        |
|             |  | Pb                                | 24.06.2021 | 9:46:27 | < 14  | < 0,0014        | BL    | не более 0,1                        |
|             |  | Cr(общий)                         | 24.06.2021 | 9:46:27 | < 16  | < 0,0016        | BL    | не более 0,1                        |
|             |  | Br(общий)                         | 24.06.2021 | 9:46:27 | < 25  | < 0,0025        | BL    | не более 0,1                        |
| 195.        | Белая полимерная термоусадочная трубка                 | Cd                                | 24.06.2021 | 9:47:00 | < 3   | < 0,0003        | BL    | не более 0,01                       |
|             |  | Hg                                | 24.06.2021 | 9:47:00 | < 4   | < 0,0004        | BL    | не более 0,1                        |
|             |  | Pb                                | 24.06.2021 | 9:47:00 | < 14  | < 0,0014        | BL    | не более 0,1                        |
|             |  | Cr(общий)                         | 24.06.2021 | 9:47:00 | < 16  | < 0,0016        | BL    | не более 0,1                        |
|             |  | Br(общий)                         | 24.06.2021 | 9:47:00 | < 25  | < 0,0025        | BL    | не более 0,1                        |
| 196.        | Красная полимерная изоляция проводника                 | Cd                                | 24.06.2021 | 9:47:36 | < 3   | < 0,0003        | BL    | не более 0,01                       |
|             |  | Hg                                | 24.06.2021 | 9:47:36 | < 4   | < 0,0004        | BL    | не более 0,1                        |
|             |  | Pb                                | 24.06.2021 | 9:47:36 | < 14  | < 0,0014        | BL    | не более 0,1                        |
|             |  | Cr(общий)                         | 24.06.2021 | 9:47:36 | < 16  | < 0,0016        | BL    | не более 0,1                        |
|             |  | Br(общий)                         | 24.06.2021 | 9:47:36 | < 25  | < 0,0025        | BL    | не более 0,1                        |
| 197.        | Серебристый металлический проводник                    | Cd                                | 24.06.2021 | 9:48:19 | < 3   | < 0,0003        | BL    | не более 0,01                       |
|             |  | Hg                                | 24.06.2021 | 9:48:19 | < 4   | < 0,0004        | BL    | не более 0,1                        |
|             |  | Pb                                | 24.06.2021 | 9:48:19 | < 14  | < 0,0014        | BL    | не более 0,1                        |
|             |  | Cr(общий)                         | 24.06.2021 | 9:48:19 | < 16  | < 0,0016        | BL    | не более 0,1                        |
|             |  | Br(общий)                         | 24.06.2021 | 9:48:19 | < 25  | < 0,0025        | BL    | не более 0,1                        |

| № фрагмента | Наименование фрагмента образца                 | Наименование химического элемента | Дата       | Время   | Результат рентгено-флуоресцентной спектрометрии ГОСТ ИЕС 62321-3-1-2016 |                 | Вывод | Норма по ТР ЕАЭС 037/2016 % весовых |
|-------------|--|-----------------------------------|------------|---------|---|-----------------|-------|-------------------------------------|
|             |  |                                   |            |         | мг/кг (ppm)   | % весовых       |       |                                     |
| 198.        | Черная полимерная изоляция проводника          | Cd                                | 24.06.2021 | 9:49:24 | < 3   | < 0,0003        | BL    | не более 0,01                       |
|             |  | Hg                                | 24.06.2021 | 9:49:24 | 36 ± 9  | 0,0036 ± 0,0009 | BL    | не более 0,1                        |
|             |  | Pb                                | 24.06.2021 | 9:49:24 | < 14  | < 0,0014        | BL    | не более 0,1                        |
|             |  | Cr(общий)                         | 24.06.2021 | 9:49:24 | 217 ± 67  | 0,0217 ± 0,0067 | BL    | не более 0,1                        |
|             |  | Br(общий)                         | 24.06.2021 | 9:49:24 | < 25  | < 0,0025        | BL    | не более 0,1                        |
| 199.        | Желто - зеленая полимерная изоляция проводника | Cd                                | 24.06.2021 | 9:50:13 | 58 ± 18   | 0,0058 ± 0,0018 | BL    | не более 0,01                       |
|             |  | Hg                                | 24.06.2021 | 9:50:13 | < 4   | < 0,0004        | BL    | не более 0,1                        |
|             |  | Pb                                | 24.06.2021 | 9:50:13 | < 14  | < 0,0014        | BL    | не более 0,1                        |
|             |  | Cr(общий)                         | 24.06.2021 | 9:50:13 | < 16  | < 0,0016        | BL    | не более 0,1                        |
|             |  | Br(общий)                         | 24.06.2021 | 9:50:13 | < 25  | < 0,0025        | BL    | не более 0,1                        |
| 200.        | Серебристый металлический проводник            | Cd                                | 24.06.2021 | 9:51:16 | < 3   | < 0,0003        | BL    | не более 0,01                       |
|             |  | Hg                                | 24.06.2021 | 9:51:16 | < 4   | < 0,0004        | BL    | не более 0,1                        |
|             |  | Pb                                | 24.06.2021 | 9:51:16 | < 14  | < 0,0014        | BL    | не более 0,1                        |
|             |  | Cr(общий)                         | 24.06.2021 | 9:51:16 | < 16  | < 0,0016        | BL    | не более 0,1                        |
|             |  | Br(общий)                         | 24.06.2021 | 9:51:16 | < 25  | < 0,0025        | BL    | не более 0,1                        |
| 201.        | Белая полимерная зажимная гайка                | Cd                                | 24.06.2021 | 9:51:59 | 31 ± 8  | 0,0031 ± 0,0008 | BL    | не более 0,01                       |
|             |  | Hg                                | 24.06.2021 | 9:51:59 | 34 ± 10   | 0,0034 ± 0,0010 | BL    | не более 0,1                        |
|             |  | Pb                                | 24.06.2021 | 9:51:59 | < 14  | < 0,0014        | BL    | не более 0,1                        |
|             |  | Cr(общий)                         | 24.06.2021 | 9:51:59 | < 16  | < 0,0016        | BL    | не более 0,1                        |
|             |  | Br(общий)                         | 24.06.2021 | 9:51:59 | < 25  | < 0,0025        | BL    | не более 0,1                        |
| 202.        | Коричневая полимерная изоляция проводника      | Cd                                | 24.06.2021 | 9:52:21 | < 3   | < 0,0003        | BL    | не более 0,01                       |
|             |  | Hg                                | 24.06.2021 | 9:52:21 | < 4   | < 0,0004        | BL    | не более 0,1                        |
|             |  | Pb                                | 24.06.2021 | 9:52:21 | 223 ± 76  | 0,0223 ± 0,0076 | BL    | не более 0,1                        |
|             |  | Cr(общий)                         | 24.06.2021 | 9:52:21 | < 16  | < 0,0016        | BL    | не более 0,1                        |
|             |  | Br(общий)                         | 24.06.2021 | 9:52:21 | 97 ± 10   | 0,0097 ± 0,0010 | BL    | не более 0,1                        |
| 203.        | Желто - зеленая полимерная изоляция проводника | Cd                                | 24.06.2021 | 9:52:40 | < 3   | < 0,0003        | BL    | не более 0,01                       |
|             |  | Hg                                | 24.06.2021 | 9:52:40 | < 4   | < 0,0004        | BL    | не более 0,1                        |
|             |  | Pb                                | 24.06.2021 | 9:52:40 | 135 ± 40  | 0,0135 ± 0,0040 | BL    | не более 0,1                        |
|             |  | Cr(общий)                         | 24.06.2021 | 9:52:40 | < 16  | < 0,0016        | BL    | не более 0,1                        |
|             |  | Br(общий)                         | 24.06.2021 | 9:52:40 | 53 ± 9  | 0,0053 ± 0,0009 | BL    | не более 0,1                        |

| № фрагмента | Наименование фрагмента образца             | Наименование химического элемента | Дата       | Время    | Результат рентгено-флуоресцентной спектрометрии ГОСТ ИЕС 62321-3-1-2016 |                 | Вывод | Норма по ТР ЕАЭС 037/2016 % весовых |
|-------------|--|-----------------------------------|------------|----------|---|-----------------|-------|-------------------------------------|
|             |  |                                   |            |          | мг/кг (ppm)   | % весовых       |       |                                     |
| 204.        | Красный полимерный колпачок                | Cd                                | 24.06.2021 | 9:53:26  | < 3   | < 0,0003        | BL    | не более 0,01                       |
|             |  | Hg                                | 24.06.2021 | 9:53:26  | < 4   | < 0,0004        | BL    | не более 0,1                        |
|             |  | Pb                                | 24.06.2021 | 9:53:26  | < 14  | < 0,0014        | BL    | не более 0,1                        |
|             |  | Cr(общий)                         | 24.06.2021 | 9:53:26  | < 16  | < 0,0016        | BL    | не более 0,1                        |
|             |  | Br(общий)                         | 24.06.2021 | 9:53:26  | < 25  | < 0,0025        | BL    | не более 0,1                        |
| 205.        | Серебристая металлическая кольцевая клемма | Cd                                | 24.06.2021 | 9:54:03  | < 3   | < 0,0003        | BL    | не более 0,01                       |
|             |  | Hg                                | 24.06.2021 | 9:54:03  | < 4   | < 0,0004        | BL    | не более 0,1                        |
|             |  | Pb                                | 24.06.2021 | 9:54:03  | < 14  | < 0,0014        | BL    | не более 0,1                        |
|             |  | Cr(общий)                         | 24.06.2021 | 9:54:03  | < 16  | < 0,0016        | BL    | не более 0,1                        |
|             |  | Br(общий)                         | 24.06.2021 | 9:54:03  | < 25  | < 0,0025        | BL    | не более 0,1                        |
| 206.        | Белая полимерная гайка                     | Cd                                | 24.06.2021 | 9:54:45  | < 3   | < 0,0003        | BL    | не более 0,01                       |
|             |  | Hg                                | 24.06.2021 | 9:54:45  | < 4   | < 0,0004        | BL    | не более 0,1                        |
|             |  | Pb                                | 24.06.2021 | 9:54:45  | < 14  | < 0,0014        | BL    | не более 0,1                        |
|             |  | Cr(общий)                         | 24.06.2021 | 9:54:45  | < 16  | < 0,0016        | BL    | не более 0,1                        |
|             |  | Br(общий)                         | 24.06.2021 | 9:54:45  | < 25  | < 0,0025        | BL    | не более 0,1                        |
| 207.        | Черная полимерная прокладка                | Cd                                | 24.06.2021 | 9:55:21  | 14 ± 3  | 0,0014 ± 0,0003 | BL    | не более 0,01                       |
|             |  | Hg                                | 24.06.2021 | 9:55:21  | < 4   | < 0,0004        | BL    | не более 0,1                        |
|             |  | Pb                                | 24.06.2021 | 9:55:21  | < 14  | < 0,0014        | BL    | не более 0,1                        |
|             |  | Cr(общий)                         | 24.06.2021 | 9:55:21  | < 16  | < 0,0016        | BL    | не более 0,1                        |
|             |  | Br(общий)                         | 24.06.2021 | 9:55:21  | 31 ± 2  | 0,0031 ± 0,0002 | BL    | не более 0,1                        |
| 208.        | Белый полимерный корпус кабельного ввода   | Cd                                | 24.06.2021 | 10:10:27 | < 3   | < 0,0003        | BL    | не более 0,01                       |
|             |  | Hg                                | 24.06.2021 | 10:10:27 | < 4   | < 0,0004        | BL    | не более 0,1                        |
|             |  | Pb                                | 24.06.2021 | 10:10:27 | < 14  | < 0,0014        | BL    | не более 0,1                        |
|             |  | Cr(общий)                         | 24.06.2021 | 10:10:27 | < 16  | < 0,0016        | BL    | не более 0,1                        |
|             |  | Br(общий)                         | 24.06.2021 | 10:10:27 | < 25  | < 0,0025        | BL    | не более 0,1                        |
| 209.        | Черная полимерная втулка                   | Cd                                | 24.06.2021 | 10:11:04 | < 3   | < 0,0003        | BL    | не более 0,01                       |
|             |  | Hg                                | 24.06.2021 | 10:11:04 | < 4   | < 0,0004        | BL    | не более 0,1                        |
|             |  | Pb                                | 24.06.2021 | 10:11:04 | < 14  | < 0,0014        | BL    | не более 0,1                        |
|             |  | Cr(общий)                         | 24.06.2021 | 10:11:04 | < 16  | < 0,0016        | BL    | не более 0,1                        |
|             |  | Br(общий)                         | 24.06.2021 | 10:11:04 | 107 ± 3   | 0,0107 ± 0,0003 | BL    | не более 0,1                        |

| № фрагмента | Наименование фрагмента образца            | Наименование химического элемента | Дата       | Время    | Результат рентгено-флуоресцентной спектрометрии ГОСТ ИЕС 62321-3-1-2016 |                 | Вывод | Норма по ТР ЕАЭС 037/2016 % весовых |
|-------------|---|-----------------------------------|------------|----------|---|-----------------|-------|-------------------------------------|
|             |   |                                   |            |          | мг/кг (ppm)   | % весовых       |       |                                     |
| 210.        | Белая полимерная зажимная гайка           | Cd                                | 24.06.2021 | 10:11:53 | 37 ± 6  | 0,0037 ± 0,0006 | BL    | не более 0,01                       |
|             |   | Hg                                | 24.06.2021 | 10:11:53 | < 4   | < 0,0004        | BL    | не более 0,1                        |
|             |   | Pb                                | 24.06.2021 | 10:11:53 | < 14  | < 0,0014        | BL    | не более 0,1                        |
|             |   | Cr(общий)                         | 24.06.2021 | 10:11:53 | < 16  | < 0,0016        | BL    | не более 0,1                        |
|             |   | Vr(общий)                         | 24.06.2021 | 10:11:53 | < 25  | < 0,0025        | BL    | не более 0,1                        |
| 211.        | Белая полимерная гайка                    | Cd                                | 24.06.2021 | 10:12:25 | < 3   | < 0,0003        | BL    | не более 0,01                       |
|             |   | Hg                                | 24.06.2021 | 10:12:25 | < 4   | < 0,0004        | BL    | не более 0,1                        |
|             |   | Pb                                | 24.06.2021 | 10:12:25 | < 14  | < 0,0014        | BL    | не более 0,1                        |
|             |   | Cr(общий)                         | 24.06.2021 | 10:12:25 | < 16  | < 0,0016        | BL    | не более 0,1                        |
|             |   | Vr(общий)                         | 24.06.2021 | 10:12:25 | < 25  | < 0,0025        | BL    | не более 0,1                        |
| 212.        | Черная полимерная прокладка               | Cd                                | 24.06.2021 | 10:13:03 | 50 ± 9  | 0,0050 ± 0,0009 | BL    | не более 0,01                       |
|             |   | Hg                                | 24.06.2021 | 10:13:03 | < 4   | < 0,0004        | BL    | не более 0,1                        |
|             |   | Pb                                | 24.06.2021 | 10:13:03 | < 14  | < 0,0014        | BL    | не более 0,1                        |
|             |   | Cr(общий)                         | 24.06.2021 | 10:13:03 | < 16  | < 0,0016        | BL    | не более 0,1                        |
|             |   | Vr(общий)                         | 24.06.2021 | 10:13:03 | 90 ± 3  | 0,0090 ± 0,0003 | BL    | не более 0,1                        |
| 213.        | Белый полимерный корпус кабельного ввода  | Cd                                | 24.06.2021 | 10:13:40 | < 3   | < 0,0003        | BL    | не более 0,01                       |
|             |   | Hg                                | 24.06.2021 | 10:13:40 | < 4   | < 0,0004        | BL    | не более 0,1                        |
|             |   | Pb                                | 24.06.2021 | 10:13:40 | < 14  | < 0,0014        | BL    | не более 0,1                        |
|             |   | Cr(общий)                         | 24.06.2021 | 10:13:40 | < 16  | < 0,0016        | BL    | не более 0,1                        |
|             |   | Vr(общий)                         | 24.06.2021 | 10:13:40 | < 25  | < 0,0025        | BL    | не более 0,1                        |
| 214.        | Черная полимерная втулка                  | Cd                                | 24.06.2021 | 10:14:17 | 40 ± 7  | 0,0040 ± 0,0007 | BL    | не более 0,01                       |
|             |   | Hg                                | 24.06.2021 | 10:14:17 | < 4   | < 0,0004        | BL    | не более 0,1                        |
|             |   | Pb                                | 24.06.2021 | 10:14:17 | < 14  | < 0,0014        | BL    | не более 0,1                        |
|             |   | Cr(общий)                         | 24.06.2021 | 10:14:17 | < 16  | < 0,0016        | BL    | не более 0,1                        |
|             |   | Vr(общий)                         | 24.06.2021 | 10:14:17 | 77 ± 3  | 0,0077 ± 0,0003 | BL    | не более 0,1                        |
| 215.        | Черная полимерная крышка кабельного ввода | Cd                                | 24.06.2021 | 10:15:04 | < 3   | < 0,0003        | BL    | не более 0,01                       |
|             |   | Hg                                | 24.06.2021 | 10:15:04 | < 4   | < 0,0004        | BL    | не более 0,1                        |
|             |   | Pb                                | 24.06.2021 | 10:15:04 | < 14  | < 0,0014        | BL    | не более 0,1                        |
|             |   | Cr(общий)                         | 24.06.2021 | 10:15:04 | < 16  | < 0,0016        | BL    | не более 0,1                        |
|             |   | Vr(общий)                         | 24.06.2021 | 10:15:04 | 97 ± 9  | 0,0097 ± 0,0009 | BL    | не более 0,1                        |

| № фрагмента | Наименование фрагмента образца                                 | Наименование химического элемента | Дата       | Время    | Результат рентгено-флуоресцентной спектрометрии ГОСТ ИЕС 62321-3-1-2016 |                 | Вывод | Норма по ТР ЕАЭС 037/2016 % весовых |
|-------------|--|-----------------------------------|------------|----------|---|-----------------|-------|-------------------------------------|
|             |  |                                   |            |          | мг/кг (ppm)   | % весовых       |       |                                     |
| 216.        | Черный полимерный корпус                                       | Cd                                | 24.06.2021 | 10:16:02 | < 3   | < 0,0003        | BL    | не более 0,01                       |
|             |  | Hg                                | 24.06.2021 | 10:16:02 | < 4   | < 0,0004        | BL    | не более 0,1                        |
|             |  | Pb                                | 24.06.2021 | 10:16:02 | < 14  | < 0,0014        | BL    | не более 0,1                        |
|             |  | Cr(общий)                         | 24.06.2021 | 10:16:02 | < 16  | < 0,0016        | BL    | не более 0,1                        |
|             |  | Br(общий)                         | 24.06.2021 | 10:16:02 | 101 ± 10  | 0,0101 ± 0,0010 | BL    | не более 0,1                        |
| 217.        | Желтая полимерная прокладка                                    | Cd                                | 24.06.2021 | 10:17:46 | 34 ± 9  | 0,0034 ± 0,0009 | BL    | не более 0,01                       |
|             |  | Hg                                | 24.06.2021 | 10:17:46 | < 4   | < 0,0004        | BL    | не более 0,1                        |
|             |  | Pb                                | 24.06.2021 | 10:17:46 | < 14  | < 0,0014        | BL    | не более 0,1                        |
|             |  | Cr(общий)                         | 24.06.2021 | 10:17:46 | < 16  | < 0,0016        | BL    | не более 0,1                        |
|             |  | Br(общий)                         | 24.06.2021 | 10:17:46 | 92 ± 3  | 0,0092 ± 0,0003 | BL    | не более 0,1                        |
| 218.        | Серебристый металлический винт с полукруглой головкой, шлиц PH | Cd                                | 24.06.2021 | 10:18:28 | < 3   | < 0,0003        | BL    | не более 0,01                       |
|             |  | Hg                                | 24.06.2021 | 10:18:28 | < 4   | < 0,0004        | BL    | не более 0,1                        |
|             |  | Pb                                | 24.06.2021 | 10:18:28 | < 14  | < 0,0014        | BL    | не более 0,1                        |
|             |  | Cr(общий)                         | 24.06.2021 | 10:18:28 | 208 ± 128   | 0,0208 ± 0,0128 | BL    | не более 0,1                        |
|             |  | Br(общий)                         | 24.06.2021 | 10:18:28 | < 25  | < 0,0025        | BL    | не более 0,1                        |
| 219.        | Серебристый металлический клеммный корпус                      | Cd                                | 24.06.2021 | 10:20:21 | < 3   | < 0,0003        | BL    | не более 0,01                       |
|             |  | Hg                                | 24.06.2021 | 10:20:21 | < 4   | < 0,0004        | BL    | не более 0,1                        |
|             |  | Pb                                | 24.06.2021 | 10:20:21 | 477 ± 45  | 0,0477 ± 0,0045 | BL    | не более 0,1                        |
|             |  | Cr(общий)                         | 24.06.2021 | 10:20:21 | 151 ± 44  | 0,0151 ± 0,0044 | BL    | не более 0,1                        |
|             |  | Br(общий)                         | 24.06.2021 | 10:20:21 | < 25  | < 0,0025        | BL    | не более 0,1                        |
| 220.        | Желтая полимерная втулка                                       | Cd                                | 24.06.2021 | 10:21:09 | 77 ± 9  | 0,0077 ± 0,0009 | BL    | не более 0,01                       |
|             |  | Hg                                | 24.06.2021 | 10:21:09 | < 4   | < 0,0004        | BL    | не более 0,1                        |
|             |  | Pb                                | 24.06.2021 | 10:21:09 | < 14  | < 0,0014        | BL    | не более 0,1                        |
|             |  | Cr(общий)                         | 24.06.2021 | 10:21:09 | < 16  | < 0,0016        | BL    | не более 0,1                        |
|             |  | Br(общий)                         | 24.06.2021 | 10:21:09 | 106 ± 4   | 0,0106 ± 0,0004 | BL    | не более 0,1                        |
| 221.        | Белый полимерный клеммный корпус                               | Cd                                | 24.06.2021 | 10:21:44 | 18 ± 12   | 0,0018 ± 0,0012 | BL    | не более 0,01                       |
|             |  | Hg                                | 24.06.2021 | 10:21:44 | < 4   | < 0,0004        | BL    | не более 0,1                        |
|             |  | Pb                                | 24.06.2021 | 10:21:44 | < 14  | < 0,0014        | BL    | не более 0,1                        |
|             |  | Cr(общий)                         | 24.06.2021 | 10:21:44 | < 16  | < 0,0016        | BL    | не более 0,1                        |
|             |  | Br(общий)                         | 24.06.2021 | 10:21:44 | < 25  | < 0,0025        | BL    | не более 0,1                        |



| № фрагмента | Наименование фрагмента образца                                 | Наименование химического элемента | Дата       | Время    | Результат рентгено-флуоресцентной спектрометрии ГОСТ ИЕС 62321-3-1-2016 |                 | Вывод | Норма по ТР ЕАЭС 037/2016 % весовых |
|-------------|--|-----------------------------------|------------|----------|---|-----------------|-------|-------------------------------------|
|             |  |                                   |            |          | мг/кг (ppm)   | % весовых       |       |                                     |
| 222.        | Серебристый металлический винт с полукруглой головкой, шлиц SL | Cd                                | 24.06.2021 | 10:22:21 | < 3   | < 0,0003        | BL    | не более 0,01                       |
|             |  | Hg                                | 24.06.2021 | 10:22:21 | < 4   | < 0,0004        | BL    | не более 0,1                        |
|             |  | Pb                                | 24.06.2021 | 10:22:21 | 546 ± 141   | 0,0546 ± 0,0141 | BL    | не более 0,1                        |
|             |  | Cr(общий)                         | 24.06.2021 | 10:22:21 | 781 ± 79  | 0,0781 ± 0,0079 | BL    | не более 0,1                        |
|             |  | Br(общий)                         | 24.06.2021 | 10:22:21 | < 25  | < 0,0025        | BL    | не более 0,1                        |
| 223.        | Серебристый металлический клеммный корпус                      | Cd                                | 24.06.2021 | 10:23:09 | < 3   | < 0,0003        | BL    | не более 0,01                       |
|             |  | Hg                                | 24.06.2021 | 10:23:09 | < 4   | < 0,0004        | BL    | не более 0,1                        |
|             |  | Pb                                | 24.06.2021 | 10:23:09 | 482 ± 98  | 0,0482 ± 0,0098 | BL    | не более 0,1                        |
|             |  | Cr(общий)                         | 24.06.2021 | 10:23:09 | < 16  | < 0,0016        | BL    | не более 0,1                        |
|             |  | Br(общий)                         | 24.06.2021 | 10:23:09 | < 25  | < 0,0025        | BL    | не более 0,1                        |
| 224.        | Белый полимерный клеммный корпус                               | Cd                                | 24.06.2021 | 10:23:55 | 32 ± 11   | 0,0032 ± 0,0011 | BL    | не более 0,01                       |
|             |  | Hg                                | 24.06.2021 | 10:23:55 | < 4   | < 0,0004        | BL    | не более 0,1                        |
|             |  | Pb                                | 24.06.2021 | 10:23:55 | 11 ± 3  | 0,0011 ± 0,0003 | BL    | не более 0,1                        |
|             |  | Cr(общий)                         | 24.06.2021 | 10:23:55 | < 16  | < 0,0016        | BL    | не более 0,1                        |
|             |  | Br(общий)                         | 24.06.2021 | 10:23:55 | < 25  | < 0,0025        | BL    | не более 0,1                        |
| 225.        | Серебристый металлический винт с полукруглой головкой, шлиц SL | Cd                                | 24.06.2021 | 10:24:29 | 26 ± 20   | 0,0026 ± 0,0020 | BL    | не более 0,01                       |
|             |  | Hg                                | 24.06.2021 | 10:24:29 | < 4   | < 0,0004        | BL    | не более 0,1                        |
|             |  | Pb                                | 24.06.2021 | 10:24:29 | < 14  | < 0,0014        | BL    | не более 0,1                        |
|             |  | Cr(общий)                         | 24.06.2021 | 10:24:29 | 310 ± 125   | 0,0310 ± 0,0125 | BL    | не более 0,1                        |
|             |  | Br(общий)                         | 24.06.2021 | 10:24:29 | < 25  | < 0,0025        | BL    | не более 0,1                        |
| 226.        | Серебристый металлический клеммный корпус                      | Cd                                | 24.06.2021 | 10:25:12 | < 3   | < 0,0003        | BL    | не более 0,01                       |
|             |  | Hg                                | 24.06.2021 | 10:25:12 | < 4   | < 0,0004        | BL    | не более 0,1                        |
|             |  | Pb                                | 24.06.2021 | 10:25:12 | 484 ± 39  | 0,0484 ± 0,0039 | BL    | не более 0,1                        |
|             |  | Cr(общий)                         | 24.06.2021 | 10:25:12 | < 16  | < 0,0016        | BL    | не более 0,1                        |
|             |  | Br(общий)                         | 24.06.2021 | 10:25:12 | < 25  | < 0,0025        | BL    | не более 0,1                        |
| 227.        | Черная полимерная заглушка                                     | Cd                                | 24.06.2021 | 10:25:58 | < 3   | < 0,0003        | BL    | не более 0,01                       |
|             |  | Hg                                | 24.06.2021 | 10:25:58 | < 4   | < 0,0004        | BL    | не более 0,1                        |
|             |  | Pb                                | 24.06.2021 | 10:25:58 | < 14  | < 0,0014        | BL    | не более 0,1                        |
|             |  | Cr(общий)                         | 24.06.2021 | 10:25:58 | < 16  | < 0,0016        | BL    | не более 0,1                        |
|             |  | Br(общий)                         | 24.06.2021 | 10:25:58 | 112 ± 4   | 0,0112 ± 0,0004 | BL    | не более 0,1                        |

| № фрагмента | Наименование фрагмента образца                                 | Наименование химического элемента | Дата       | Время    | Результат рентгено-флуоресцентной спектрометрии ГОСТ ИЕС 62321-3-1-2016 |                 | Вывод | Норма по ТР ЕАЭС 037/2016 % весовых |
|-------------|--|-----------------------------------|------------|----------|---|-----------------|-------|-------------------------------------|
|             |  |                                   |            |          | мг/кг (ppm)   | % весовых       |       |                                     |
| 228.        | Черная полимерная втулка                                       | Cd                                | 24.06.2021 | 10:26:49 | < 3   | < 0,0003        | BL    | не более 0,01                       |
|             |  | Hg                                | 24.06.2021 | 10:26:49 | < 4   | < 0,0004        | BL    | не более 0,1                        |
|             |  | Pb                                | 24.06.2021 | 10:26:49 | < 14  | < 0,0014        | BL    | не более 0,1                        |
|             |  | Cr(общий)                         | 24.06.2021 | 10:26:49 | < 16  | < 0,0016        | BL    | не более 0,1                        |
|             |  | Vr(общий)                         | 24.06.2021 | 10:26:49 | 108 ± 4   | 0,0108 ± 0,0004 | BL    | не более 0,1                        |
| 229.        | Серебристая металлическая клепка                               | Cd                                | 24.06.2021 | 10:27:30 | < 3   | < 0,0003        | BL    | не более 0,01                       |
|             |  | Hg                                | 24.06.2021 | 10:27:30 | < 4   | < 0,0004        | BL    | не более 0,1                        |
|             |  | Pb                                | 24.06.2021 | 10:27:30 | < 14  | < 0,0014        | BL    | не более 0,1                        |
|             |  | Cr(общий)                         | 24.06.2021 | 10:27:30 | 71 ± 20   | 0,0071 ± 0,0020 | BL    | не более 0,1                        |
|             |  | Vr(общий)                         | 24.06.2021 | 10:27:30 | < 25  | < 0,0025        | BL    | не более 0,1                        |
| 230.        | Серебристый металлический корпус                               | Cd                                | 24.06.2021 | 10:28:12 | < 3   | < 0,0003        | BL    | не более 0,01                       |
|             |  | Hg                                | 24.06.2021 | 10:28:12 | < 4   | < 0,0004        | BL    | не более 0,1                        |
|             |  | Pb                                | 24.06.2021 | 10:28:12 | < 14  | < 0,0014        | BL    | не более 0,1                        |
|             |  | Cr(общий)                         | 24.06.2021 | 10:28:12 | < 16  | < 0,0016        | BL    | не более 0,1                        |
|             |  | Vr(общий)                         | 24.06.2021 | 10:28:12 | < 25  | < 0,0025        | BL    | не более 0,1                        |
| 231.        | Черная металлическая пластина                                  | Cd                                | 24.06.2021 | 10:28:47 | < 3   | < 0,0003        | BL    | не более 0,01                       |
|             |  | Hg                                | 24.06.2021 | 10:28:47 | < 4   | < 0,0004        | BL    | не более 0,1                        |
|             |  | Pb                                | 24.06.2021 | 10:28:47 | < 14  | < 0,0014        | BL    | не более 0,1                        |
|             |  | Cr(общий)                         | 24.06.2021 | 10:28:47 | < 16  | < 0,0016        | BL    | не более 0,1                        |
|             |  | Vr(общий)                         | 24.06.2021 | 10:28:47 | < 25  | < 0,0025        | BL    | не более 0,1                        |
| 232.        | Серебристый металлический винт с полукруглой головкой, шлиц PH | Cd                                | 24.06.2021 | 10:29:29 | 49 ± 32   | 0,0049 ± 0,0032 | BL    | не более 0,01                       |
|             |  | Hg                                | 24.06.2021 | 10:29:29 | < 4   | < 0,0004        | BL    | не более 0,1                        |
|             |  | Pb                                | 24.06.2021 | 10:29:29 | < 14  | < 0,0014        | BL    | не более 0,1                        |
|             |  | Cr(общий)                         | 24.06.2021 | 10:29:29 | 365 ± 85  | 0,0365 ± 0,0085 | BL    | не более 0,1                        |
|             |  | Vr(общий)                         | 24.06.2021 | 10:29:29 | < 25  | < 0,0025        | BL    | не более 0,1                        |
| 233.        | Серая полимерная крышка  | Cd                                | 24.06.2021 | 10:30:43 | 38 ± 12   | 0,0038 ± 0,0012 | BL    | не более 0,01                       |
|             |  | Hg                                | 24.06.2021 | 10:30:43 | < 4   | < 0,0004        | BL    | не более 0,1                        |
|             |  | Pb                                | 24.06.2021 | 10:30:43 | < 14  | < 0,0014        | BL    | не более 0,1                        |
|             |  | Cr(общий)                         | 24.06.2021 | 10:30:43 | < 16  | < 0,0016        | BL    | не более 0,1                        |
|             |  | Vr(общий)                         | 24.06.2021 | 10:30:43 | < 25  | < 0,0025        | BL    | не более 0,1                        |

| № фрагмента | Наименование фрагмента образца                                 | Наименование химического элемента | Дата       | Время    | Результат рентгено-флуоресцентной спектрометрии ГОСТ ИЕС 62321-3-1-2016 |                 | Вывод | Норма по ТР ЕАЭС 037/2016 % весовых |
|-------------|--|-----------------------------------|------------|----------|---|-----------------|-------|-------------------------------------|
|             |  |                                   |            |          | мг/кг (ppm)   | % весовых       |       |                                     |
| 234.        | Серый полимерный корпус  | Cd                                | 24.06.2021 | 10:31:24 | < 3   | < 0,0003        | BL    | не более 0,01                       |
|             |  | Hg                                | 24.06.2021 | 10:31:24 | < 4   | < 0,0004        | BL    | не более 0,1                        |
|             |  | Pb                                | 24.06.2021 | 10:31:24 | < 14  | < 0,0014        | BL    | не более 0,1                        |
|             |  | Cr(общий)                         | 24.06.2021 | 10:31:24 | < 16  | < 0,0016        | BL    | не более 0,1                        |
|             |  | Br(общий)                         | 24.06.2021 | 10:31:24 | 24 ± 3  | 0,0024 ± 0,0003 | BL    | не более 0,1                        |
| 235.        | Серебристая металлическая крышка                               | Cd                                | 24.06.2021 | 10:32:09 | < 3   | < 0,0003        | BL    | не более 0,01                       |
|             |  | Hg                                | 24.06.2021 | 10:32:09 | < 4   | < 0,0004        | BL    | не более 0,1                        |
|             |  | Pb                                | 24.06.2021 | 10:32:09 | < 14  | < 0,0014        | BL    | не более 0,1                        |
|             |  | Cr(общий)                         | 24.06.2021 | 10:32:09 | 391 ± 64  | 0,0391 ± 0,0064 | BL    | не более 0,1                        |
|             |  | Br(общий)                         | 24.06.2021 | 10:32:09 | < 25  | < 0,0025        | BL    | не более 0,1                        |
| 236.        | Серебристый металлический винт с шестигранной головкой         | Cd                                | 24.06.2021 | 10:32:59 | < 3   | < 0,0003        | BL    | не более 0,01                       |
|             |  | Hg                                | 24.06.2021 | 10:32:59 | < 4   | < 0,0004        | BL    | не более 0,1                        |
|             |  | Pb                                | 24.06.2021 | 10:32:59 | < 14  | < 0,0014        | BL    | не более 0,1                        |
|             |  | Cr(общий)                         | 24.06.2021 | 10:32:59 | < 16  | < 0,0016        | BL    | не более 0,1                        |
|             |  | Br(общий)                         | 24.06.2021 | 10:32:59 | < 25  | < 0,0025        | BL    | не более 0,1                        |
| 237.        | Серебристый металлический винт с полукруглой головкой, шлиц PH | Cd                                | 24.06.2021 | 10:33:37 | 69 ± 7  | 0,0069 ± 0,0007 | BL    | не более 0,01                       |
|             |  | Hg                                | 24.06.2021 | 10:33:37 | < 4   | < 0,0004        | BL    | не более 0,1                        |
|             |  | Pb                                | 24.06.2021 | 10:33:37 | < 14  | < 0,0014        | BL    | не более 0,1                        |
|             |  | Cr(общий)                         | 24.06.2021 | 10:33:37 | 586 ± 78  | 0,0586 ± 0,0078 | BL    | не более 0,1                        |
|             |  | Br(общий)                         | 24.06.2021 | 10:33:37 | < 25  | < 0,0025        | BL    | не более 0,1                        |
| 238.        | Серебристый металлический винт с полукруглой головкой, шлиц PH | Cd                                | 24.06.2021 | 10:34:25 | < 3   | < 0,0003        | BL    | не более 0,01                       |
|             |  | Hg                                | 24.06.2021 | 10:34:25 | < 4   | < 0,0004        | BL    | не более 0,1                        |
|             |  | Pb                                | 24.06.2021 | 10:34:25 | < 14  | < 0,0014        | BL    | не более 0,1                        |
|             |  | Cr(общий)                         | 24.06.2021 | 10:34:25 | < 16  | < 0,0016        | BL    | не более 0,1                        |
|             |  | Br(общий)                         | 24.06.2021 | 10:34:25 | < 25  | < 0,0025        | BL    | не более 0,1                        |
| 239.        | Серебристый металлический винт с полукруглой головкой, шлиц PH | Cd                                | 24.06.2021 | 10:35:04 | < 3   | < 0,0003        | BL    | не более 0,01                       |
|             |  | Hg                                | 24.06.2021 | 10:35:04 | < 4   | < 0,0004        | BL    | не более 0,1                        |
|             |  | Pb                                | 24.06.2021 | 10:35:04 | < 14  | < 0,0014        | BL    | не более 0,1                        |
|             |  | Cr(общий)                         | 24.06.2021 | 10:35:04 | < 16  | < 0,0016        | BL    | не более 0,1                        |
|             |  | Br(общий)                         | 24.06.2021 | 10:35:04 | < 25  | < 0,0025        | BL    | не более 0,1                        |

| № фрагмента | Наименование фрагмента образца                                 | Наименование химического элемента | Дата       | Время    | Результат рентгено-флуоресцентной спектрометрии ГОСТ ИЕС 62321-3-1-2016 |                 | Вывод | Норма по ТР ЕАЭС 037/2016 % весовых |
|-------------|--|-----------------------------------|------------|----------|---|-----------------|-------|-------------------------------------|
|             |  |                                   |            |          | мг/кг (ppm)   | % весовых       |       |                                     |
| 240.        | Серебристая металлическая шайба                                | Cd                                | 24.06.2021 | 10:35:43 | < 3   | < 0,0003        | BL    | не более 0,01                       |
|             |  | Hg                                | 24.06.2021 | 10:35:43 | < 4   | < 0,0004        | BL    | не более 0,1                        |
|             |  | Pb                                | 24.06.2021 | 10:35:43 | < 14  | < 0,0014        | BL    | не более 0,1                        |
|             |  | Cr(общий)                         | 24.06.2021 | 10:35:43 | < 16  | < 0,0016        | BL    | не более 0,1                        |
|             |  | Br(общий)                         | 24.06.2021 | 10:35:43 | < 25  | < 0,0025        | BL    | не более 0,1                        |
| 241.        | Серебристый металлический винт с полукруглой головкой, шлиц PH | Cd                                | 24.06.2021 | 10:36:31 | < 3   | < 0,0003        | BL    | не более 0,01                       |
|             |  | Hg                                | 24.06.2021 | 10:36:31 | < 4   | < 0,0004        | BL    | не более 0,1                        |
|             |  | Pb                                | 24.06.2021 | 10:36:31 | 103 ± 15  | 0,0103 ± 0,0015 | BL    | не более 0,1                        |
|             |  | Cr(общий)                         | 24.06.2021 | 10:36:31 | < 16  | < 0,0016        | BL    | не более 0,1                        |
|             |  | Br(общий)                         | 24.06.2021 | 10:36:31 | < 25  | < 0,0025        | BL    | не более 0,1                        |
| 242.        | Серебристая металлическая контршайба                           | Cd                                | 24.06.2021 | 10:37:02 | 47 ± 18   | 0,0047 ± 0,0018 | BL    | не более 0,01                       |
|             |  | Hg                                | 24.06.2021 | 10:37:02 | < 4   | < 0,0004        | BL    | не более 0,1                        |
|             |  | Pb                                | 24.06.2021 | 10:37:02 | < 14  | < 0,0014        | BL    | не более 0,1                        |
|             |  | Cr(общий)                         | 24.06.2021 | 10:37:02 | 242 ± 70  | 0,0242 ± 0,0070 | BL    | не более 0,1                        |
|             |  | Br(общий)                         | 24.06.2021 | 10:37:02 | < 25  | < 0,0025        | BL    | не более 0,1                        |
| 243.        | Серебристый металлический винт с потайной головкой, шлиц PH    | Cd                                | 24.06.2021 | 10:37:44 | 18 ± 4  | 0,0018 ± 0,0004 | BL    | не более 0,01                       |
|             |  | Hg                                | 24.06.2021 | 10:37:44 | < 4   | < 0,0004        | BL    | не более 0,1                        |
|             |  | Pb                                | 24.06.2021 | 10:37:44 | < 14  | < 0,0014        | BL    | не более 0,1                        |
|             |  | Cr(общий)                         | 24.06.2021 | 10:37:44 | < 16  | < 0,0016        | BL    | не более 0,1                        |
|             |  | Br(общий)                         | 24.06.2021 | 10:37:44 | < 25  | < 0,0025        | BL    | не более 0,1                        |
| 244.        | Серебристый металлический винт с потайной головкой, шлиц PH    | Cd                                | 24.06.2021 | 10:38:22 | < 3   | < 0,0003        | BL    | не более 0,01                       |
|             |  | Hg                                | 24.06.2021 | 10:38:22 | < 4   | < 0,0004        | BL    | не более 0,1                        |
|             |  | Pb                                | 24.06.2021 | 10:38:22 | < 14  | < 0,0014        | BL    | не более 0,1                        |
|             |  | Cr(общий)                         | 24.06.2021 | 10:38:22 | < 16  | < 0,0016        | BL    | не более 0,1                        |
|             |  | Br(общий)                         | 24.06.2021 | 10:38:22 | < 25  | < 0,0025        | BL    | не более 0,1                        |
| 245.        | Серебристая металлическая шайба с зубьями                      | Cd                                | 24.06.2021 | 10:39:01 | 39 ± 26   | 0,0039 ± 0,0026 | BL    | не более 0,01                       |
|             |  | Hg                                | 24.06.2021 | 10:39:01 | < 4   | < 0,0004        | BL    | не более 0,1                        |
|             |  | Pb                                | 24.06.2021 | 10:39:01 | < 14  | < 0,0014        | BL    | не более 0,1                        |
|             |  | Cr(общий)                         | 24.06.2021 | 10:39:01 | < 16  | < 0,0016        | BL    | не более 0,1                        |
|             |  | Br(общий)                         | 24.06.2021 | 10:39:01 | < 25  | < 0,0025        | BL    | не более 0,1                        |

| № фрагмента | Наименование фрагмента образца            | Наименование химического элемента | Дата       | Время    | Результат рентгено-флуоресцентной спектрометрии ГОСТ ИЕС 62321-3-1-2016 |                 | Вывод | Норма по ТР ЕАЭС 037/2016 % весовых |
|-------------|---|-----------------------------------|------------|----------|---|-----------------|-------|-------------------------------------|
|             |   |                                   |            |          | мг/кг (ppm)   | % весовых       |       |                                     |
| 246.        | Серебристая металлическая шайба           | Cd                                | 24.06.2021 | 10:39:40 | < 3   | < 0,0003        | BL    | не более 0,01                       |
|             |   | Hg                                | 24.06.2021 | 10:39:40 | < 4   | < 0,0004        | BL    | не более 0,1                        |
|             |   | Pb                                | 24.06.2021 | 10:39:40 | < 14  | < 0,0014        | BL    | не более 0,1                        |
|             |   | Cr(общий)                         | 24.06.2021 | 10:39:40 | < 16  | < 0,0016        | BL    | не более 0,1                        |
|             |   | Br(общий)                         | 24.06.2021 | 10:39:40 | < 25  | < 0,0025        | BL    | не более 0,1                        |
| 247.        | Серебристая металлическая контршайба      | Cd                                | 24.06.2021 | 10:40:21 | < 3   | < 0,0003        | BL    | не более 0,01                       |
|             |   | Hg                                | 24.06.2021 | 10:40:21 | < 4   | < 0,0004        | BL    | не более 0,1                        |
|             |   | Pb                                | 24.06.2021 | 10:40:21 | < 14  | < 0,0014        | BL    | не более 0,1                        |
|             |   | Cr(общий)                         | 24.06.2021 | 10:40:21 | < 16  | < 0,0016        | BL    | не более 0,1                        |
|             |   | Br(общий)                         | 24.06.2021 | 10:40:21 | < 25  | < 0,0025        | BL    | не более 0,1                        |
| 248.        | Серебристая металлическая гайка           | Cd                                | 24.06.2021 | 10:41:02 | < 3   | < 0,0003        | BL    | не более 0,01                       |
|             |   | Hg                                | 24.06.2021 | 10:41:02 | < 4   | < 0,0004        | BL    | не более 0,1                        |
|             |   | Pb                                | 24.06.2021 | 10:41:02 | < 14  | < 0,0014        | BL    | не более 0,1                        |
|             |   | Cr(общий)                         | 24.06.2021 | 10:41:02 | 420 ± 80  | 0,0420 ± 0,0080 | BL    | не более 0,1                        |
|             |   | Br(общий)                         | 24.06.2021 | 10:41:02 | < 25  | < 0,0025        | BL    | не более 0,1                        |
| 249.        | Серебристая металлическая гайка           | Cd                                | 24.06.2021 | 10:41:42 | 10 ± 2  | 0,0010 ± 0,0002 | BL    | не более 0,01                       |
|             |   | Hg                                | 24.06.2021 | 10:41:42 | < 4   | < 0,0004        | BL    | не более 0,1                        |
|             |   | Pb                                | 24.06.2021 | 10:41:42 | < 14  | < 0,0014        | BL    | не более 0,1                        |
|             |   | Cr(общий)                         | 24.06.2021 | 10:41:42 | < 16  | < 0,0016        | BL    | не более 0,1                        |
|             |   | Br(общий)                         | 24.06.2021 | 10:41:42 | < 25  | < 0,0025        | BL    | не более 0,1                        |
| 250.        | Серебристая металлическая шайба с зубьями | Cd                                | 24.06.2021 | 10:42:21 | < 3   | < 0,0003        | BL    | не более 0,01                       |
|             |   | Hg                                | 24.06.2021 | 10:42:21 | < 4   | < 0,0004        | BL    | не более 0,1                        |
|             |   | Pb                                | 24.06.2021 | 10:42:21 | 649 ± 156   | 0,0649 ± 0,0156 | BL    | не более 0,1                        |
|             |   | Cr(общий)                         | 24.06.2021 | 10:42:21 | < 16  | < 0,0016        | BL    | не более 0,1                        |
|             |   | Br(общий)                         | 24.06.2021 | 10:42:21 | < 25  | < 0,0025        | BL    | не более 0,1                        |

**Фотографии исследуемых фрагментов:**

Рисунок 2.

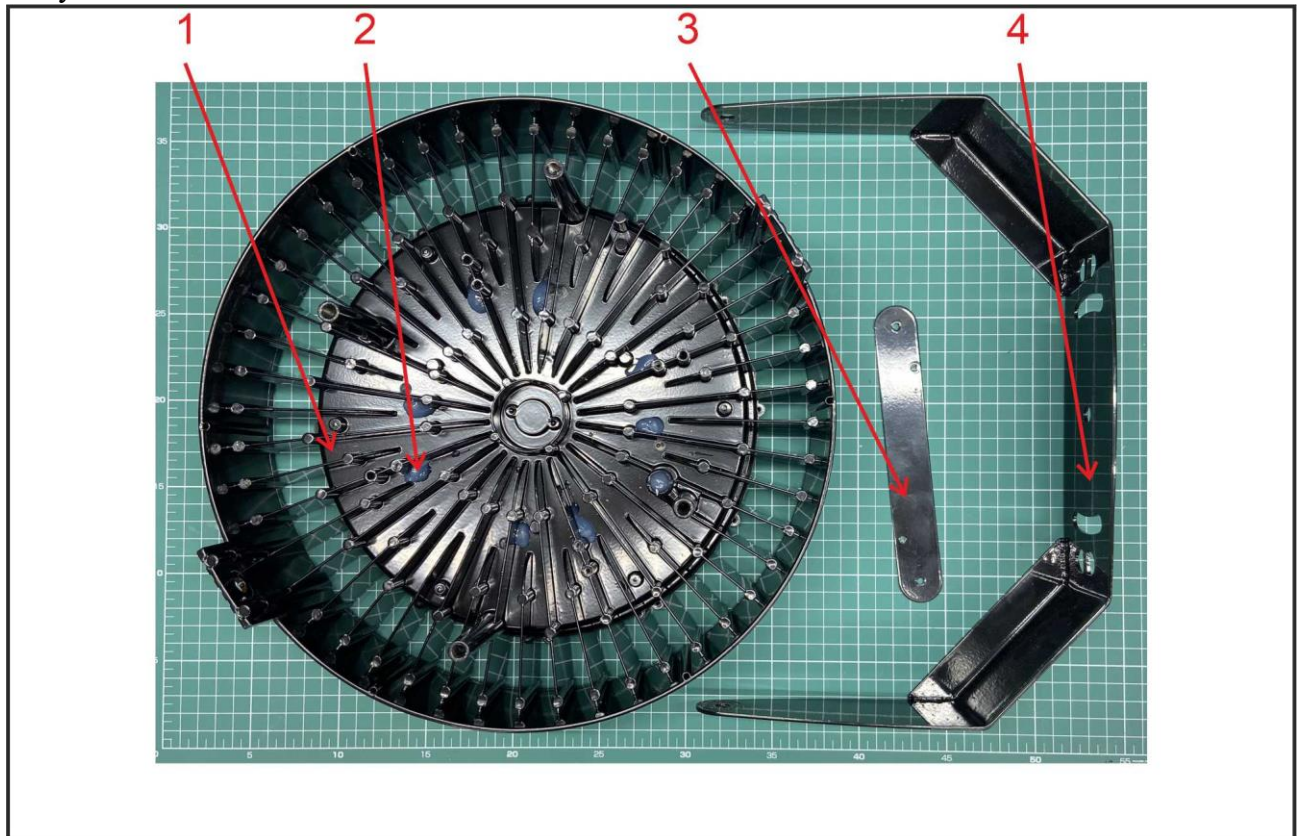


Рисунок 3.

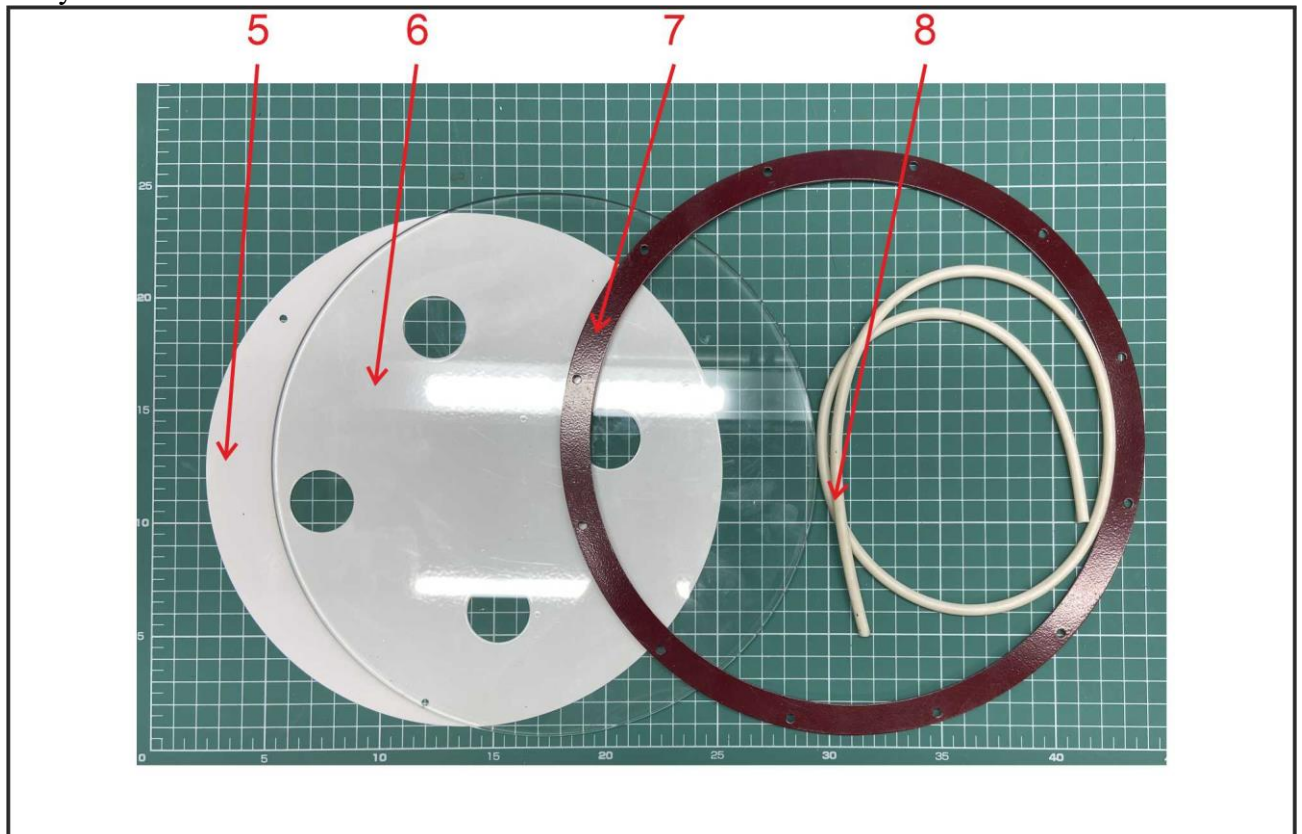




Рисунок 4.

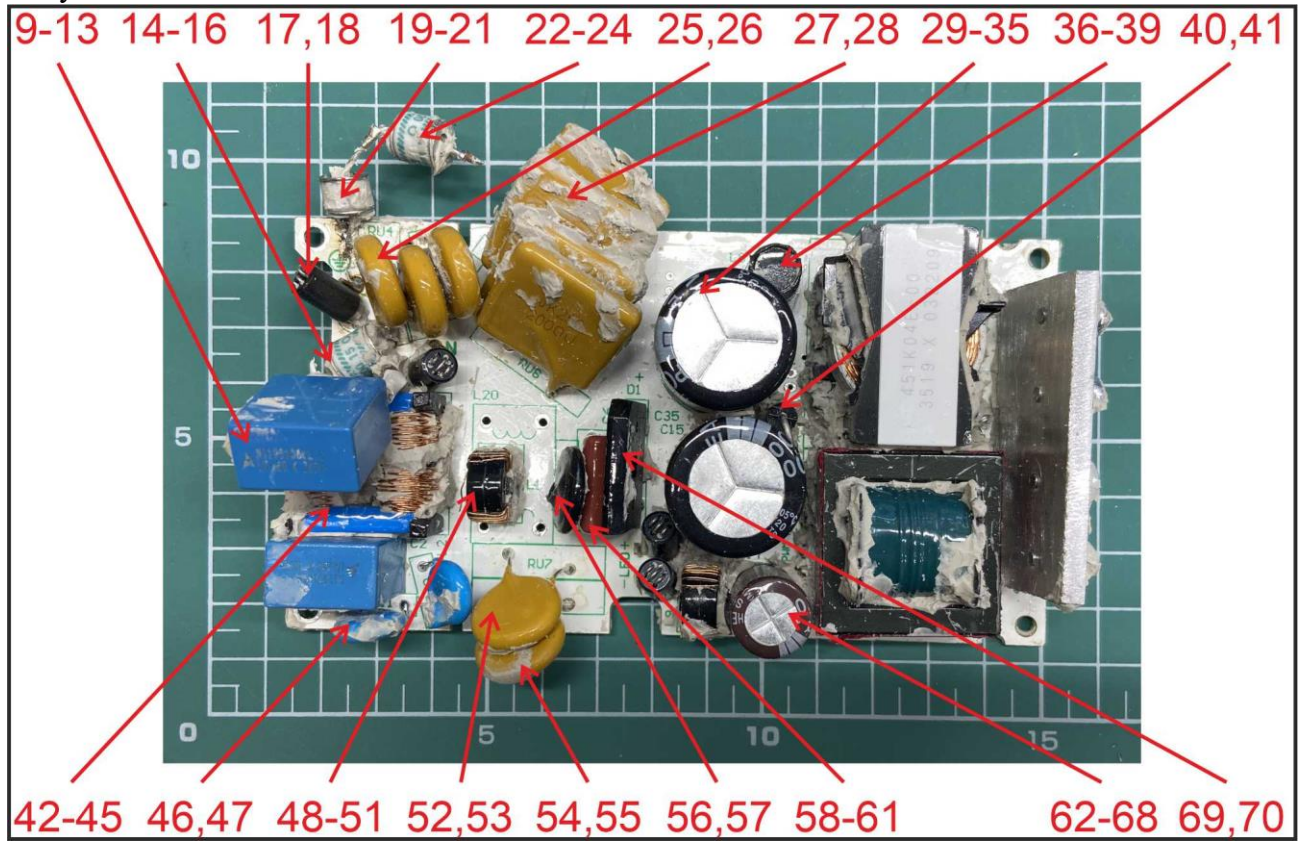


Рисунок 5.

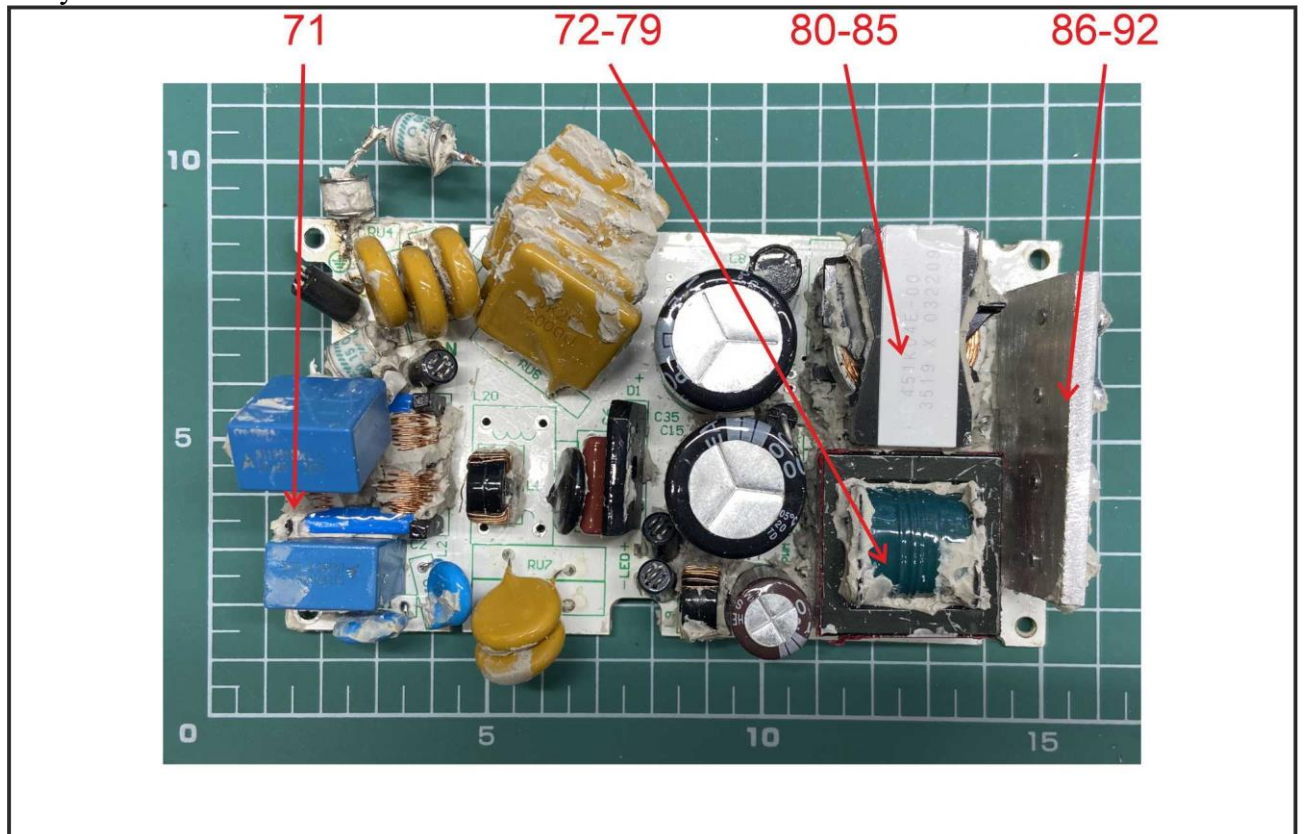




Рисунок 6.

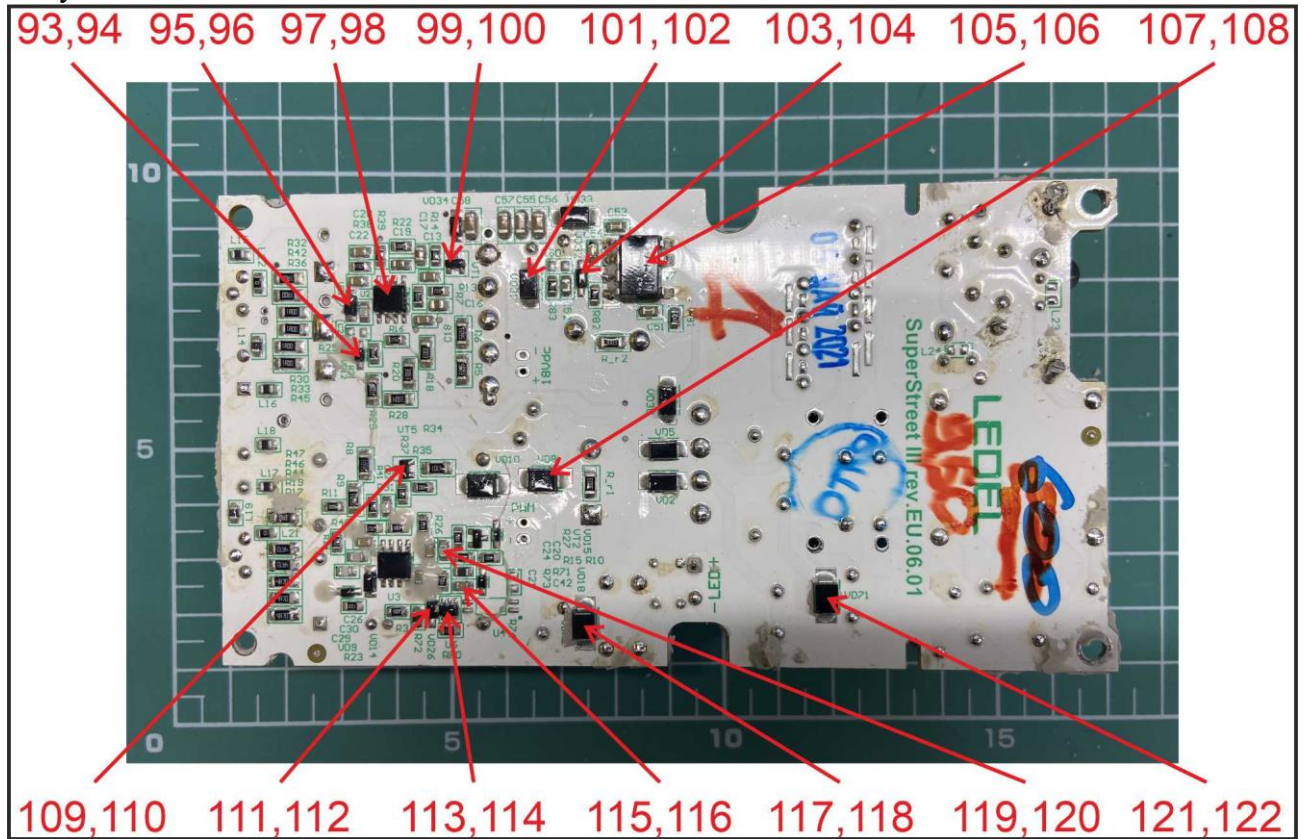


Рисунок 7.

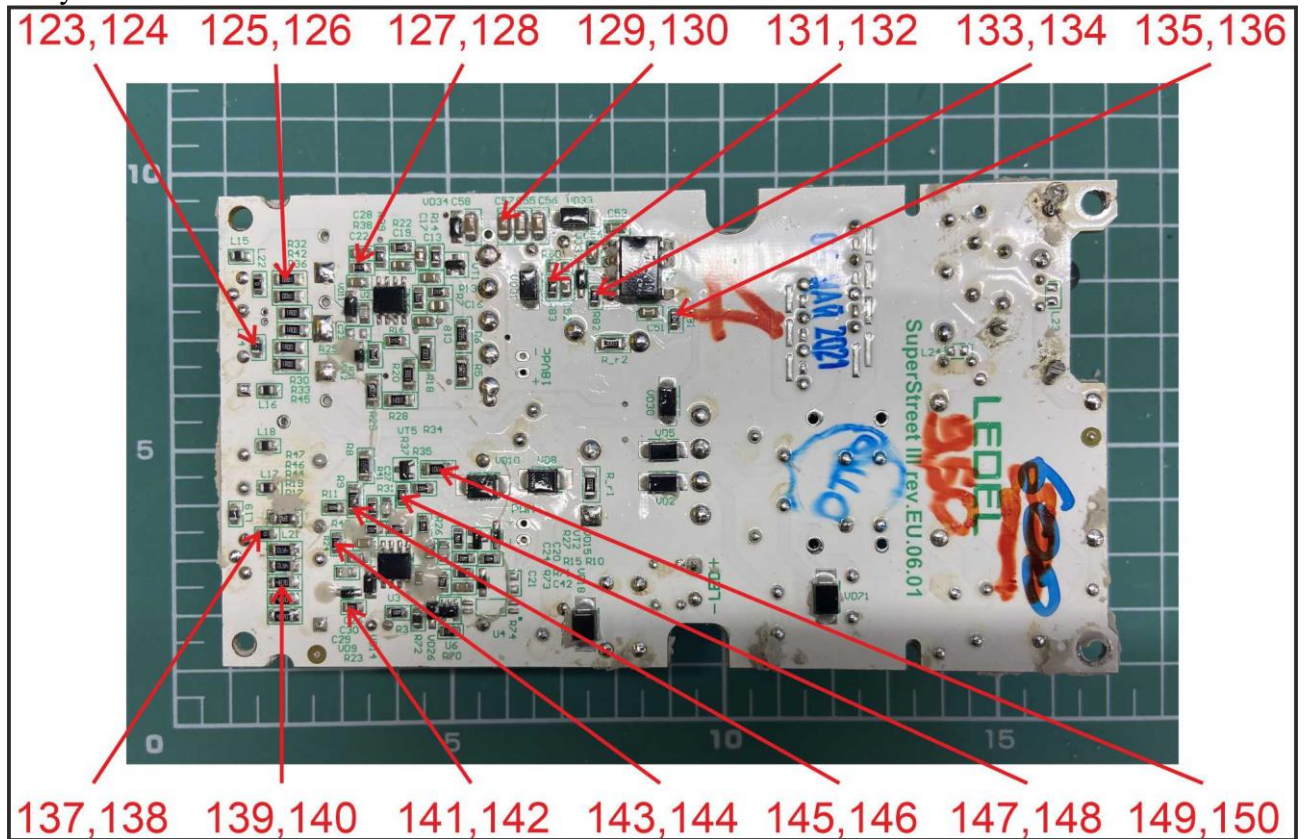




Рисунок 8.

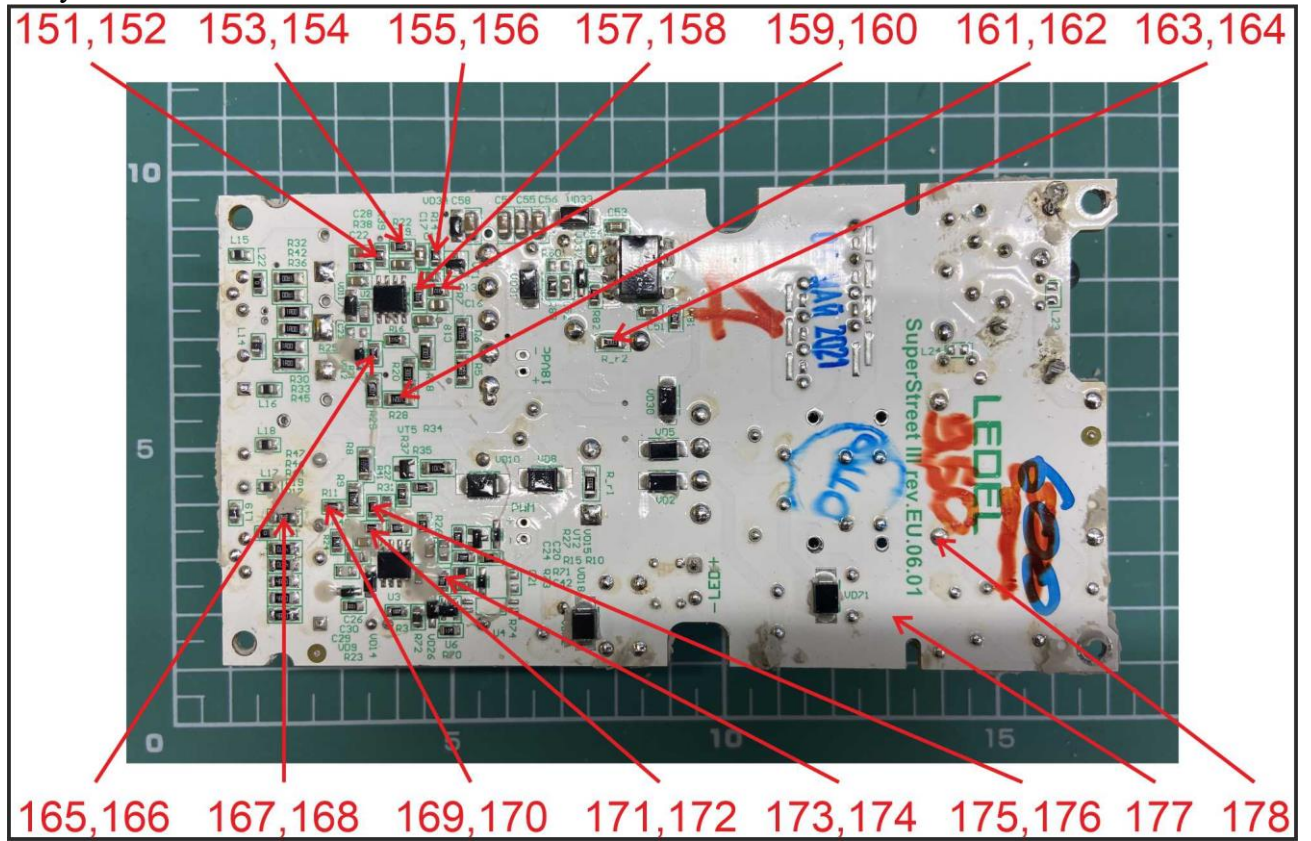


Рисунок 9.

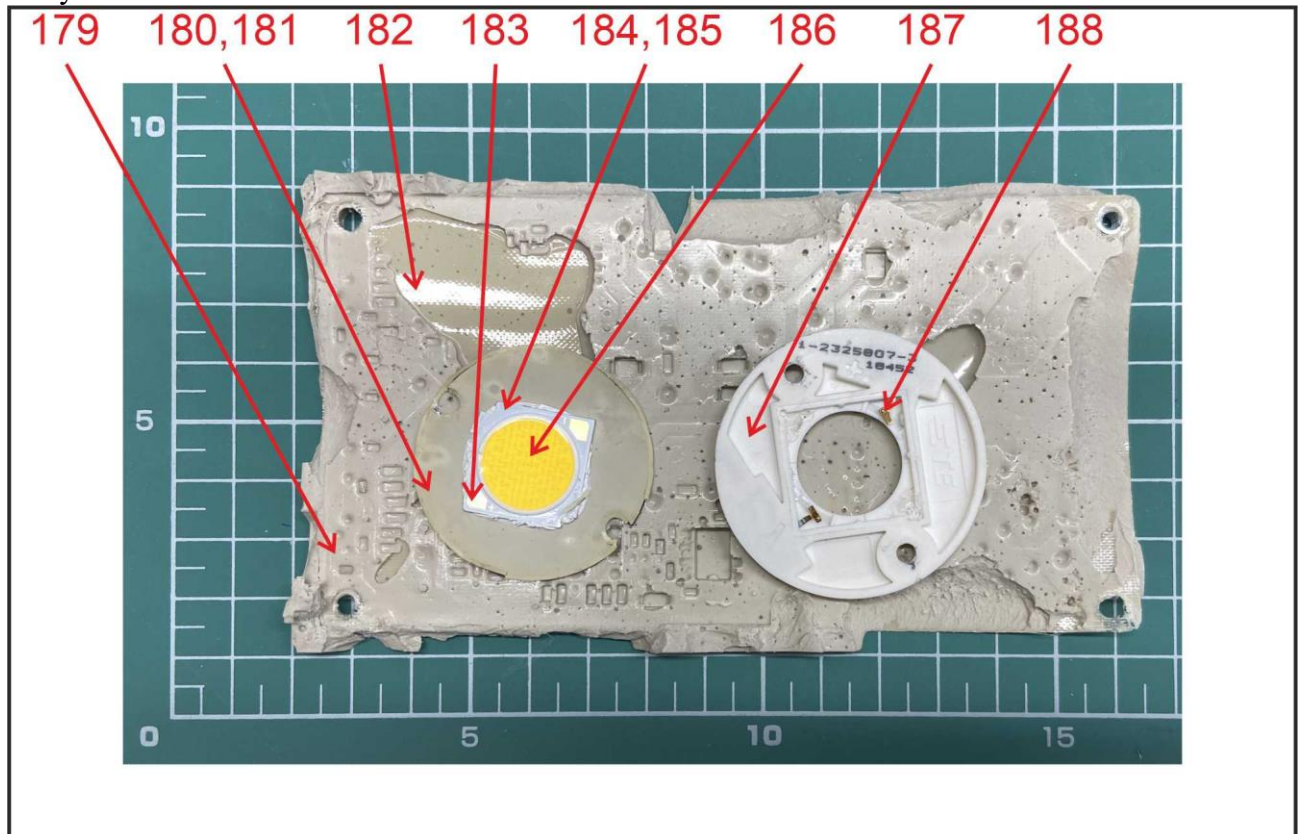




Рисунок 10.

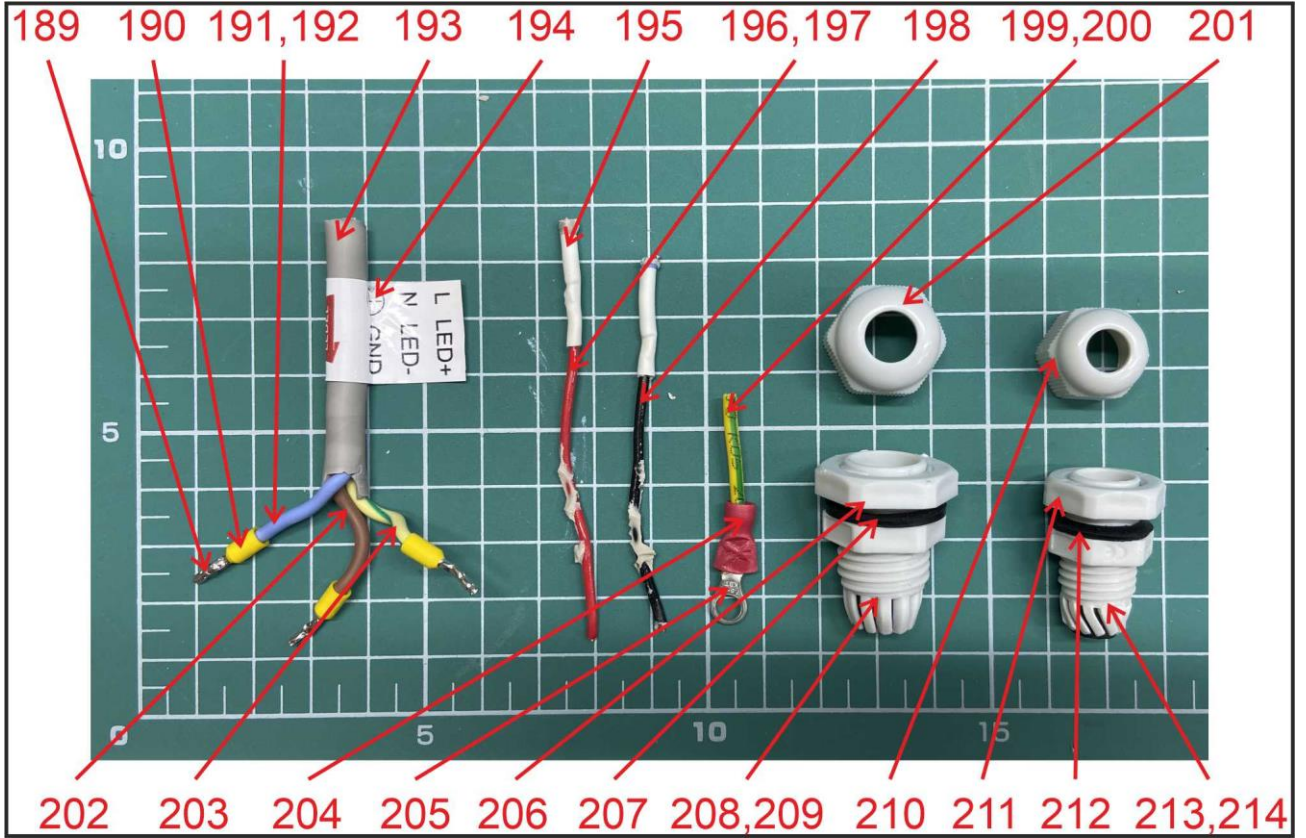


Рисунок 11.

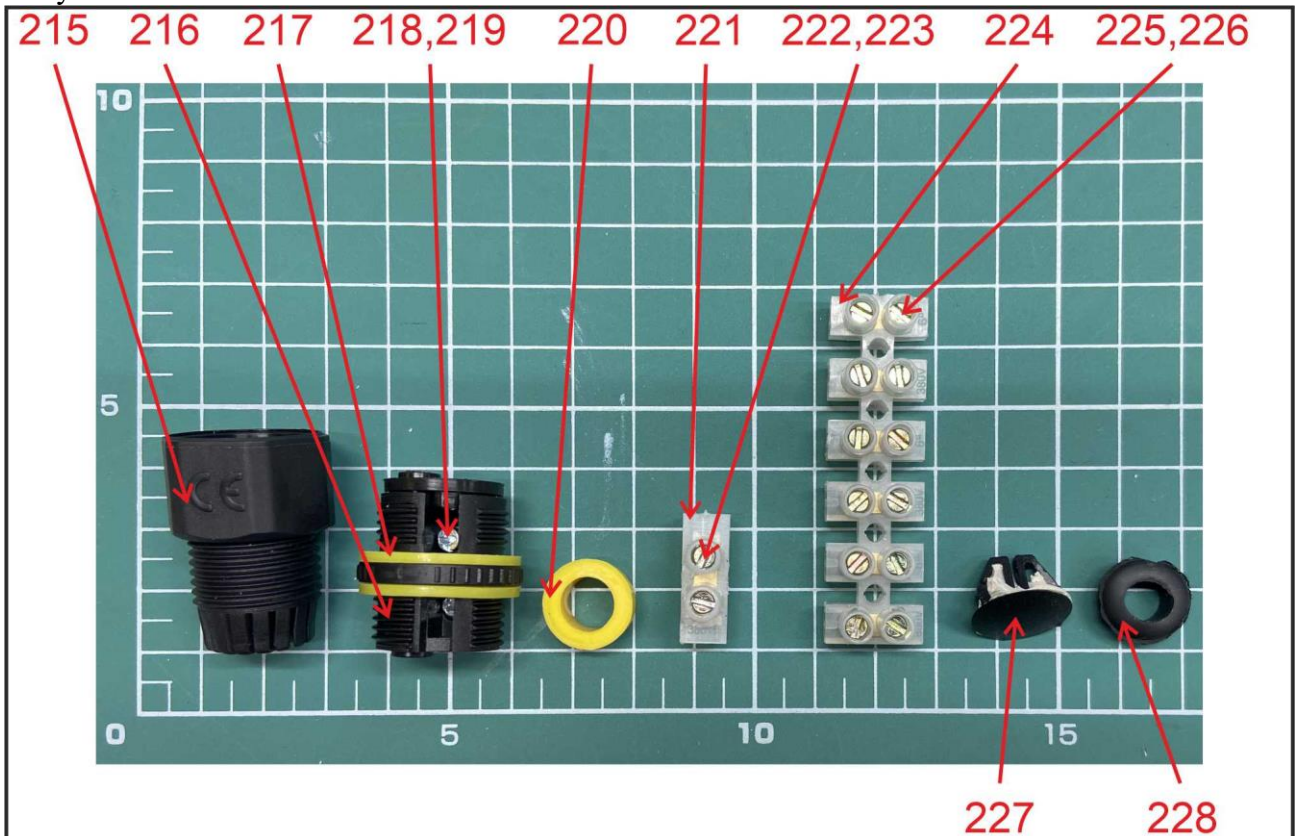


Рисунок 12.

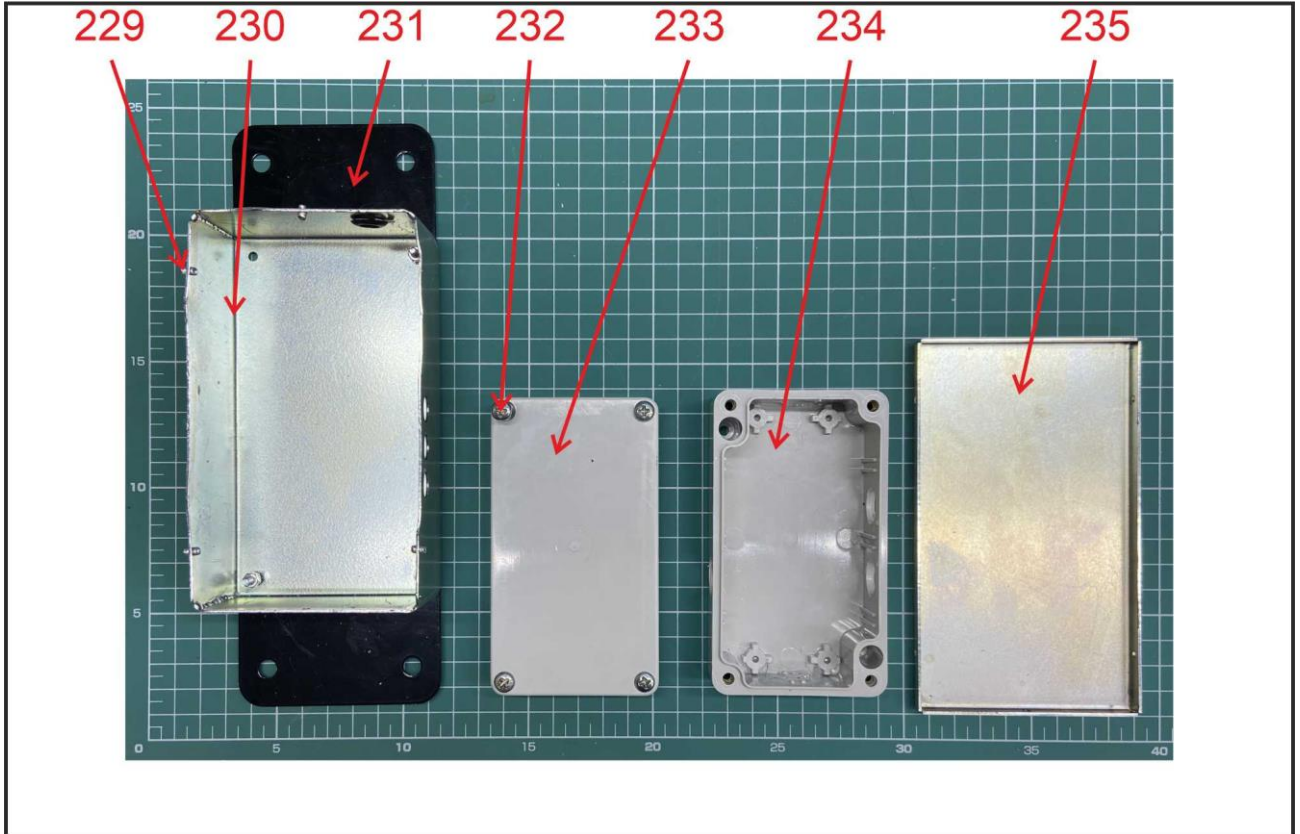


Рисунок 13.

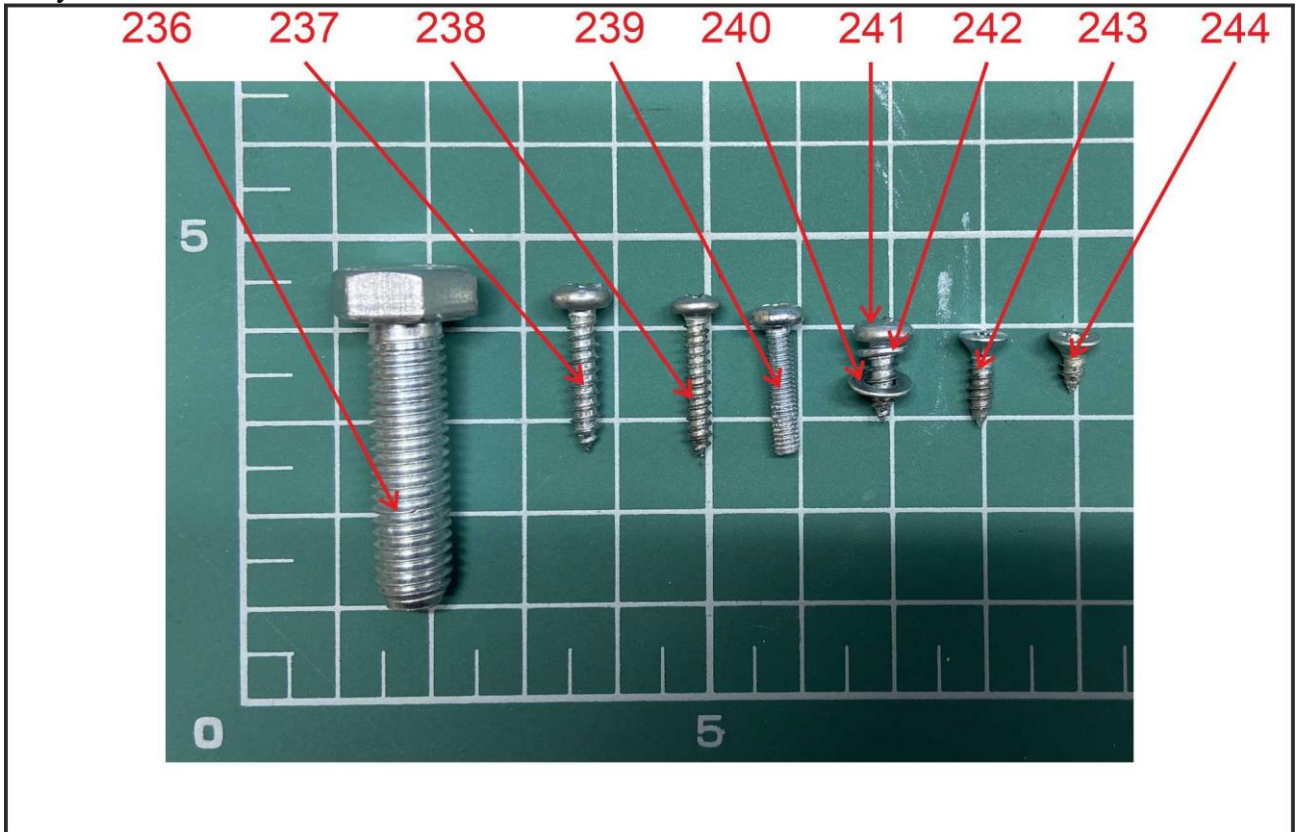
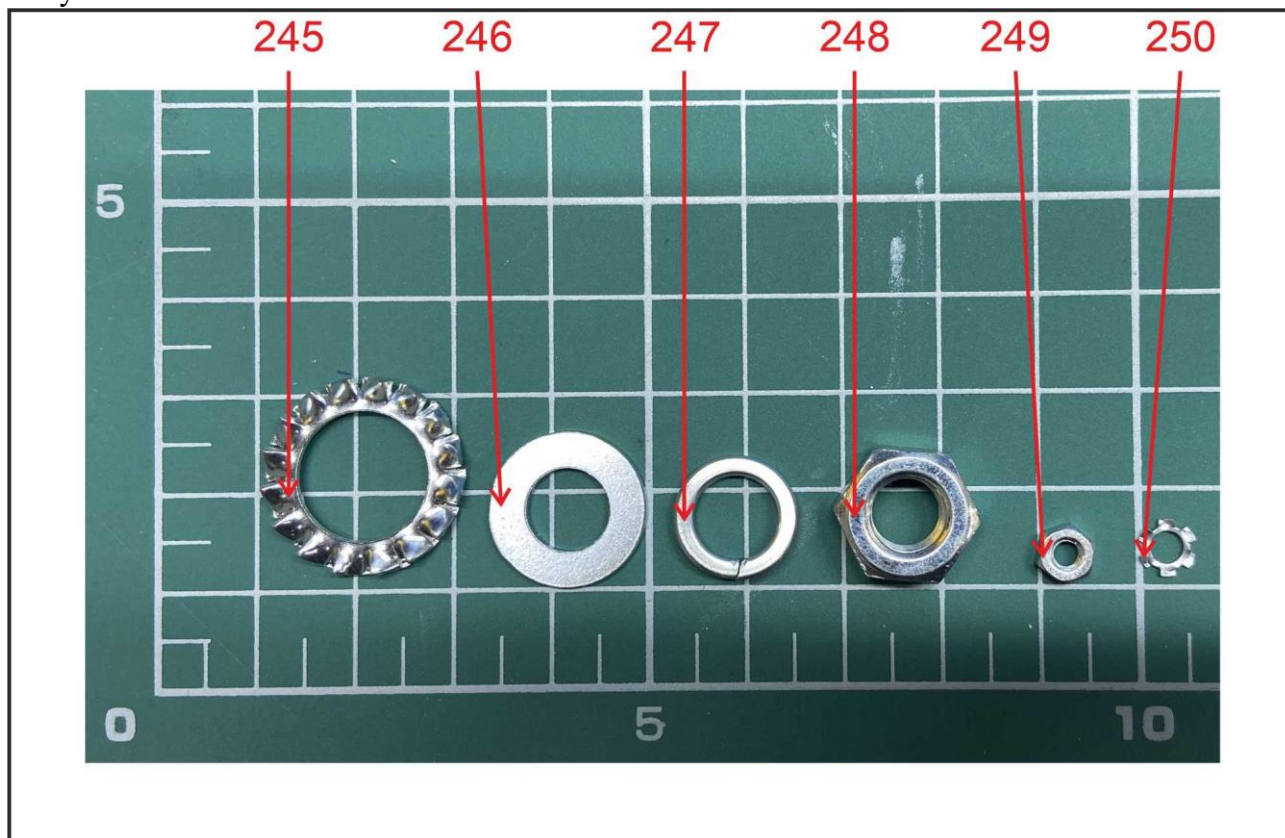




Рисунок 14.



**Примечание:**

1. Результаты получены методом рентгено-флуоресцентной спектрометрии для первичного исследования, а дальнейшие химические исследования методом оптико-эмиссионной спектрометрии с индуктивно связанной (ICP-OES) (для Cd, Pb, Hg, Cr), рекомендуется проводить, если концентрация превышает нижнее предельное значение согласно ГОСТ ИЕС 62321-3-1-2016 (единица измерения: мг/кг (ppm)).

| Элемент | Полимер  | Металл   | Композитные материалы                                |
|---------|--|--|--|
| Cd      | $BL \leq (70-3\sigma) < X < (130+3\sigma) \leq OL$   | $BL \leq (70-3\sigma) < X < (130+3\sigma) \leq OL$   | $LOD < X < (150+3\sigma) \leq OL$                    |
| Pb      | $BL \leq (700-3\sigma) < X < (1300+3\sigma) \leq OL$ | $BL \leq (700-3\sigma) < X < (1300+3\sigma) \leq OL$ | $BL \leq (500-3\sigma) < X < (1500+3\sigma) \leq OL$ |
| Hg      | $BL \leq (700-3\sigma) < X < (1300+3\sigma) \leq OL$ | $BL \leq (700-3\sigma) < X < (1300+3\sigma) \leq OL$ | $BL \leq (500-3\sigma) < X < (1500+3\sigma) \leq OL$ |
| Br      | $BL \leq (300-3\sigma) < X$                          | -  | $BL \leq (250-3\sigma) < X$                          |
| Cr      | $BL \leq (700-3\sigma) < X$                          | $BL \leq (700-3\sigma) < X$                          | $BL \leq (500-3\sigma) < X$                          |

“BL” - «Ниже предельного значения»;

“OL” - «Выше предельного значения»;

“X” - «Неубедительная область», требуются дальнейшие химические исследования для подтверждения соответствия требованиям ТР ЕАЭС 037/2016.

“LOD” - «Предел обнаружения»;

“ - ” - «Не регулируется».

2. Исследование методом рентгено-флуоресцентной спектрометрии для элементов ТР ЕАЭС 037/2016, показатель может отличаться от фактического содержания в образце с несоответствующим составом.

3. “мг/кг” - миллиграмм на килограмм (ppm), на основании сухого веса исследуемого образца.
4. “ND” - «Не обнаружен», показатель меньше предела обнаружения метода.
5. “NA” - «Не применимо», поскольку результат анализа методом рентгено-флуоресцентной спектрометрии был ниже предельного значения, не было необходимости проводить испытание методом мокрой химии.
6. 0,01% весовых соответствует 100 мг/кг (ppm).
7. 0,1% весовых соответствует 1000 мг/кг (ppm).
8. Согласно пункту 16 приложения 3 «Специальные требования по ограничению применения опасных веществ в изделиях электротехники и радиоэлектроники» ТР ЕАЭС 037/2016 допускается содержание свинца в латуни и других сплавах на основе меди - не более 4%.
9. Согласно пункту 19 приложения 3 «Специальные требования по ограничению применения опасных веществ в изделиях электротехники и радиоэлектроники» ТР ЕАЭС 037/2016 содержание свинца в электрических и электронных компонентах, кроме изоляционной керамики конденсаторов (например, в пьезоэлектрических приборах, в компаундах керамических или стеклянных подложках) - не ограничивается.
10. Согласно пункту 22 приложения 3 «Специальные требования по ограничению применения опасных веществ в изделиях электротехники и радиоэлектроники» ТР ЕАЭС 037/2016 содержание кадмия и его соединений в электрических контактах - не ограничивается.


**Дополнения, отклонения или исключения из метода:** отсутствуют.

**Мнения и интерпретации:** отсутствуют.

**4. Сведения о применяемых средствах измерений и испытательном оборудовании.**

Таблица 4.

| п/п | Наименование  | Инвентарный номер | Аттестован/<br>поверен до даты |
|-----|---|-------------------|--------------------------------|
| 1.  | Анализатор портативный рентгенофлуоресцентный Vanta VCR с программным обеспечением версии 3.22.41 | ИЛФХП-СИ007       | 24.02.2022                     |
| 2.  | Прибор комбинированный, Testo 622   | ИЛФХП-СИ041       | 26.07.2021                     |

| ФИО лиц, проводивших испытания | Подписи   |
|--------------------------------|---|
| Петров Павел Андреевич         |  |